



KOCAELİ ÜNİVERSİTESİ

**HRT305**  
**TEMEL KOORDİNAT SİSTEMLERİ**  
**(Fundamental Coordinate Systems)**

**DERS NOTLARI**

**(Lecture Notes)**

**Yrd.Doç.Dr. Orhan KURT**

**KOCAELİ ÜNİVERSİTESİ - Mühendislik Fakültesi**

**Harita Mühendisliği Bölümü**

**(Kocaeli University – Engineering Faculty**

**Department of Geomatic Engineering)**

**KOCAELİ**

**2007**

# ÖNSÖZ

**Yrd. Doç. Dr. Orhan KURT**  
**2007**

# İçindekiler

|   |    |
|---|----|
| ÖNSÖZ.....  | 2  |
| İçindekiler.....  | 3  |
| Kısaltmalar.....  | 4  |
| 1. YERİN HAREKETLERİ.....   | 6  |
| 1.1. Yerin dönme eksenin hareketleri .....  | 7  |
| Presesyon (Precession): .....   | 7  |
| Nutasyon (Nutation): .....  | 7  |
| Kutup Gezinmezi (Hareketleri) (Polar Motion):.....  | 8  |
| 2. KOORDİNAT SİSTEMLERİ.....  | 11 |
| 2.1. Kutuplar (Poles), Planes (Düzlemler) ve Eksenler (Axes) : .....  | 11 |
| 3. YERSEL KOORDİNAT SİSTEMLERİ.....   | 13 |
| 3.1. Doğal Koordinat Sistemleri .....   | 13 |
| 3.1.1 Yermerkezli (Jeosentrik) Yersel Sistem (CT:Conventional Terrestrial) .....                                      | 13 |
| 3.1.2 İstasyon Merkezli (Toposentrik) Yersel Sistem (LA:Local Astronomic) .....                                       | 13 |
| 3.1.3. Yeryüzümerkezli Kutupsal Koordinatlardan $\leftrightarrow$ Yeryüzümerkezli Dik Koordinatlara Dönüşüm .....     | 14 |
| 3.1.4. Yeryüzümerkezli Dik Koordinatlardan $\leftrightarrow$ Yermerkezli Dikkoordinatlara Dönüşüm.....                | 14 |
| 3.2. Referans Koordinat Sistemleri.....   | 15 |
| 3.2.1. Yermerkezli Jeodezik Koordinat Sistemi (G:Geodetic).....   | 15 |
| 3.2.2. İstasyon merkezli (Toposentrik) Yersel Sistem (LG:Local Geodetic) .....  | 15 |
| 3.2.3. İstasyon Merkezli Kutupsal Koordinatlardan $\leftrightarrow$ İstasyon Merkezli Dik Koordinatlara Dönüşüm ..... | 16 |
| 3.2.4 İstasyon Merkezli Koordinatlardan $\leftrightarrow$ Yer Merkezli Dik Koordinatlara Dönüşüm.....                 | 16 |
| 3.2.4. Elipsoit üzerinde bulunan $Q_i$ noktasının koordinatları ( $R_{i0}$ ).....                                     | 16 |
| 3.2.5. Elipsoit dışında bulunan $P_i$ noktasının koordinatları ( $R_i$ ).....   | 18 |
| 3.3. Doğal ve Referans (Yapay) Koordinat Sistemleri Arasındaki İlişki .....   | 21 |
| 3.3.2. Doğal İstasyonmerkezli Koordinatlar ile Referans İstasyonmerkezli Koordinatlar Arasındaki Dönüşüm.....         | 23 |
| 3.4. YERSEL SİSTEMLER ARASINDAKİ DÖNÜŞÜMLER.....  | 26 |
| 4. Uluslararası Yer Dönme ve Referans Sistemleri Servisi, IERS .....  | 33 |
| 4.1. Prehistory of the IERS, up to 1986 .....   | 33 |
| 4.2. History of the IERS, 1988 to 2003 .....  | 34 |
| 4.3. International Celestial Reference Frame (ICRF).....  | 35 |
| 5. GÖKSEL KOORDİNAT SİSTEMLERİ (H) .....  | 37 |
| 5.1. Göksel Epliktik Sistemi (E) .....  | 37 |
| 5.2. Göksel Açılım Sistemi (RA) (II. Ekvator Sistemi).....  | 38 |
| 5.3. Göksel Saat Açısı Sistemi (HA) (I. Ekvator Sistemi) .....  | 39 |
| 5.4. Göksel Ufuk Sistemi (H).....   | 40 |
| 5.5. Göksel Koordinat Sistemleri Arasındaki İlişkiler .....   | 41 |
| 5.5.1. Rektasezyon (RA),Ortalama Yersel (CT) ve Saat Açısı (HA) Sistemleri Arasındaki İlişki.....                     | 41 |
| 5.5.2. Ufuk (H) ve Saat Açısı (HA) Sistemleri Arasındaki İlişki .....   | 42 |
| 5.5.3. Rektasezyon (RA) Sistemindeki Değişimler.....  | 42 |
| 5.5.4. Ortalama Göksel Sistemler MRA(T) .....   | 44 |
| 5.5.5. Gerçek Ortalama Göksel Sistem MRA(T) .....   | 45 |
| 5.5.6. Görünen Yer Sistemi (Apperent Place System, AP(T) ) .....  | 46 |
| 5.5.7. Gözlem Yeri Sistemi (The Observed Place System).....   | 47 |
| 5.5.8. AP ile CT Sistemleri Arasındaki Dönüşüm .....  | 48 |
| 5.5.9. Göksel Sistemler Arasındaki Dönüşümler .....   | 49 |
| 6. YÖRÜNGESEL KOORDİNAT SİSTEMLERİ (OR) .....   | 50 |
| 6.1. Kepler Elemanları.....   | 50 |
| 6.2. Yörüngenin Elipsi.....   | 51 |
| 6.2. Yörüngeyel Koordinat Sisteminden (OR) Görünen Yer Sistemine (AP) Dönüşüm.....                                    | 52 |
| 7. POLİNOMSA DÖNÜŞÜM.....   | 62 |
| 7.1. 1B Dönüşüm (Yükseklik Dönüşümü, GNSS Nivelmanı) .....  | 67 |
| 7.2. 2B Benzerlik (Helmert) Dönüşümü .....  | 70 |
| 7.4. 3B Benzerlik (Helmert) Dönüşümü .....  | 72 |
| 7.4. Hız Dönüşüm (4B. Boyutta Dönüşüm) .....  | 75 |
| 8. ZAMAN.....   | 85 |
| 9. KAYNAKLAR .....  | 86 |
| EK-1 Lineer Cebir .....   | 88 |
| EK-2. Elipsoit Geometrisi.....  | 89 |
| Ek-3. Yansıma ve Dönüklük Matrisleri .....  | 91 |
| Ek-4. Bazı Dönüşüm Bağtıtlarının C++ Programları.....   | 92 |

## Kısaltmalar

|           |  |
|-----------|--|
| RINEX     | Receiver INdependent EXchange format   |
| rms       | RMS Root Mean Square   |
| ROB       | Royal Observatory of Belgium   |
| RRFID     | USNO Radio Reference Frame Image Database  |
| SAA       | South Atlantic Anomaly   |
| SB        | Special Bureau   |
| SBA       | Special Bureau for the Atmosphere  |
| SBC       | Special Bureau for the Core  |
| SBGG      | Special Bureau for Gravity/Geocenter   |
| SBH       | Special Bureau for Hydrology   |
| SBIR      | Small Business Innovation in Research  |
| SBL       | Special Bureau for Loading   |
| SBM       | Special Bureau for Mantle  |
| SBO       | Special Bureau for the Oceans  |
| SBT       | Special Bureau for Tides   |
| SHAO      | Shanghai Observatory   |
| SIM       | NASA's Space Interferometry Mission  |
| SINEX     | Solution (Software/technique) INdependent EXchange Format                          |
| SIO       | Scripps Institution of Oceanography  |
| SLR       | Satellite Laser Ranging  |
| SOC       | Scientific Organizing Committee  |
| SOD       | CNES Service d'Orbitographie DORIS   |
| SPBU      | St Petersburg University   |
| SRIF      | Square Root Information Filter array   |
| SSALTO    | Segment Sol multi-mission d'ALTimétrie, d'Orbitographie et de localisation précise |
| SSCPP     | Site Survey and Co-location Pilot Project  |
| STA       | Semiconductor Technology Associates  |
| SYRTE     | (Laboratoire) Systèmes de Référence Temps-Espace                                   |
| TAI       | Temps Atomique International (International Atomic Time)                           |
| TC        | Technique Centre   |
| TEMPO     | Time and Earth Motion Precision Observations                                       |
| TIGO      | Transportable Integrated Geodetic Observatory                                      |
| TN IERS   | Technical Note   |
| ToR       | Terms of Reference   |
| TRF       | Terrestrial Reference Frame  |
| TT        | Terrestrial Time   |
| TU        | Technical University   |
| TUM       | Technical University of Munich   |
| UCAC      | USNO CCD Astrograph Catalog  |
| UCLA      | University of California, Los Angeles  |
| UCSD      | University of California, San Diego  |
| UNESCO    | United Nations Educational, Scientific and Cultural Organization Univ. University  |
| URAT      | USNO Robotic Astrometric Telescope   |
| URL       | Uniform Resource Locator   |
| URSI      | Union Radio-Scientifique Internationale / International Union of Radio Science     |
| USGS      | U.S. Geological Survey   |
| USNO      | United States Naval Observatory  |
| UT, UT0   | Universal Time   |
| UT1, UT1R | Universal Time   |
| UTAAM     | NCEP AAM analysis and forecast data  |
| UTC       | Coordinated Universal Time   |
| VLA       | Very Large Array   |
| VLBA      | Very Long Baseline Array, NRAO   |
| VLBI      | Very Long Baseline Interferometry  |
| VMF       | Vienna Mapping Function  |
| VSI-E     | VLBI Standard Interface for E-VLBI   |
| VUGTK     | Research Institute of Geodesy, Topography and Cartography, Czech Republic          |

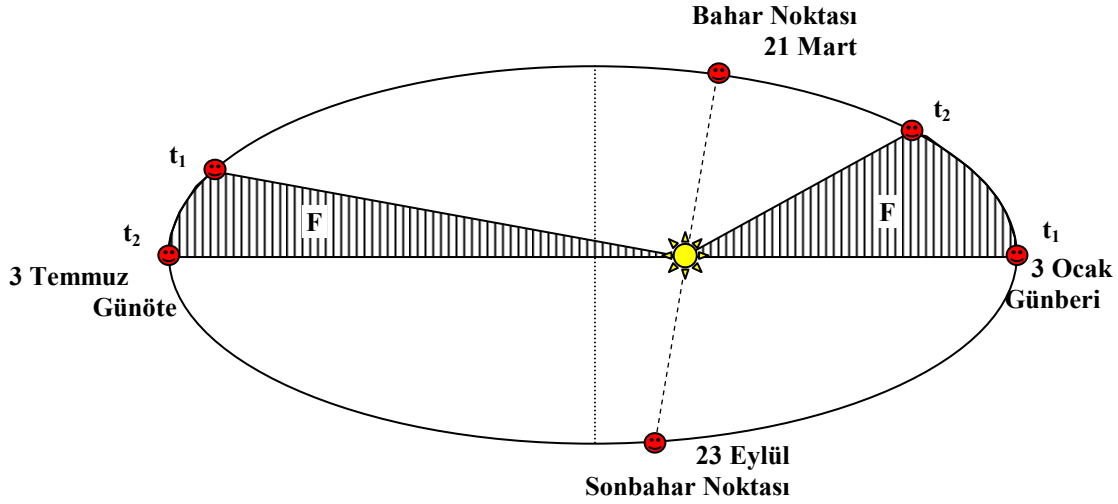
|         |  |
|---------|--|
| WG      | working group  |
| WRMS    | Weighted Root Mean Square  |
| XML     | eXtensible Markup Language   |
| Yr      | year   |
| ZTD     | zenith total delay   |
| ZWD     | zenith wet delay(s)  |
| CIO     | Conventional International Origin. (1900-1905) yılları arasında gözlenen kutup hareketlerinin ortalamasıdır. Diğer yıllardaki kutup hareketleri bu başlangıca göre verilir. (Coventional Intemadiate Origin, Sofa,2007)  |
| CT (AT) | Conventional Terrestrial (Average Terrestrial) System. Dönme eksenini CIO ile çakışık, merkezi yerin Gravite merkezi, birinci eksenini ortalama Greenwich düzlemi olan ve sağ el sistemini sağlayan koordinat çatısıdır. |
| IT      | Instantaneous Terrestrial System. Ölçme anındaki yersel sistemdir. CT (AT) ye dönüşümü kutup hareketleri parametreleri ile verilir.  |

# 1. YERİN HAREKETLERİ

Yerin hareketleri,

1. Kendi eksenini etrafında döner
2. Güneş etrafında döner.
3. Güneşle birlikte bulunduğu galakside döner.
4. Bulunduğu galaksi ile birlikte diğer galaksilere göre hareket eder.

İlk iki hareket jeodeziciler için önemli olup son iki hareket ile astro fizikçiler yada astronomlar ilgilenir.



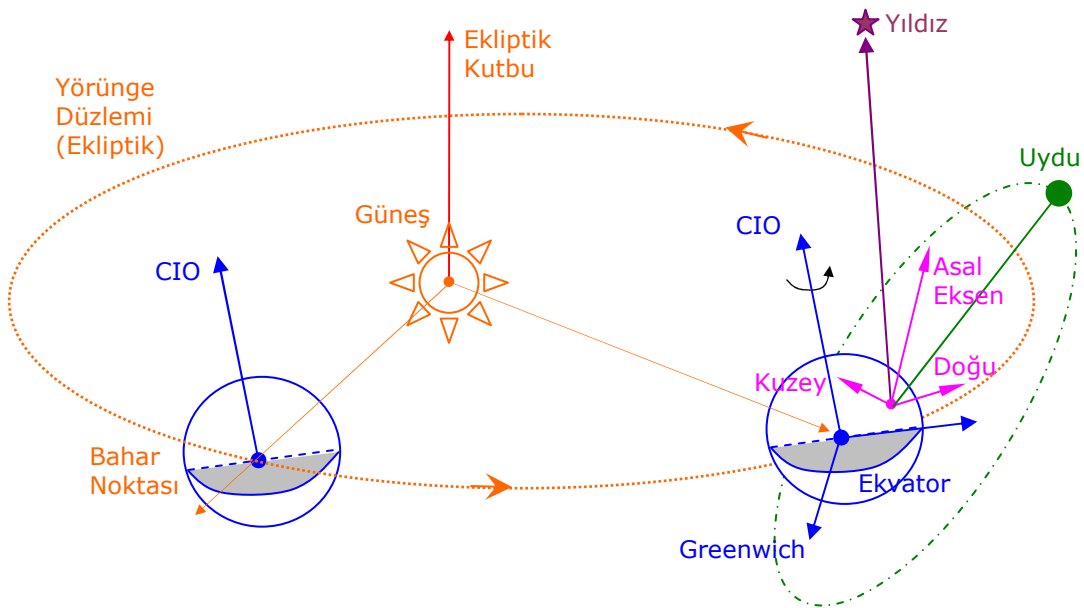
**Günberi (Perihelion):** Gezegenlerin güneşe en yakın olduğu an.

**Günüte (Aphelion):** Gezegenlerin güneşe en uzak olduğu an.

**Ekliptik:** Yerin güneş etrafında hareketinde izlediği yörüngedir. Bu yörüngenin oluşturduğu düzlemde *ekliptik düzlemi* denir. Ekliptike dik alan eksen ekliptik kutuplarını oluştururken, kuzeye yönelen eksen kuzey ekliptik kutbu (North Ecliptic Pole, NEP) olarak adlandırılır. Yerin Dönme eksenini ile ekliptik kutbu arasındaki açı yaklaşık **23°27'** (bazı kaynaklarda **23°30'**) dir.

Koordinat Sistemleri Üç Ana gruba Ayrılır (Şekil-1)

1. Yersel Koordinat Sistemleri (Terrestrial Coordinate Systems)
2. Göksel Koordinat Sistemleri (Celestial Coordinate Systems)
3. Yörüngesel Koordinat Sistemleri (Orbital Coordinate Systems)



**Şekil 1.** Koordinat sistemlerinin başlangıç doğrultuları.

## 1.1. Yerin dönme ekseninin hareketleri

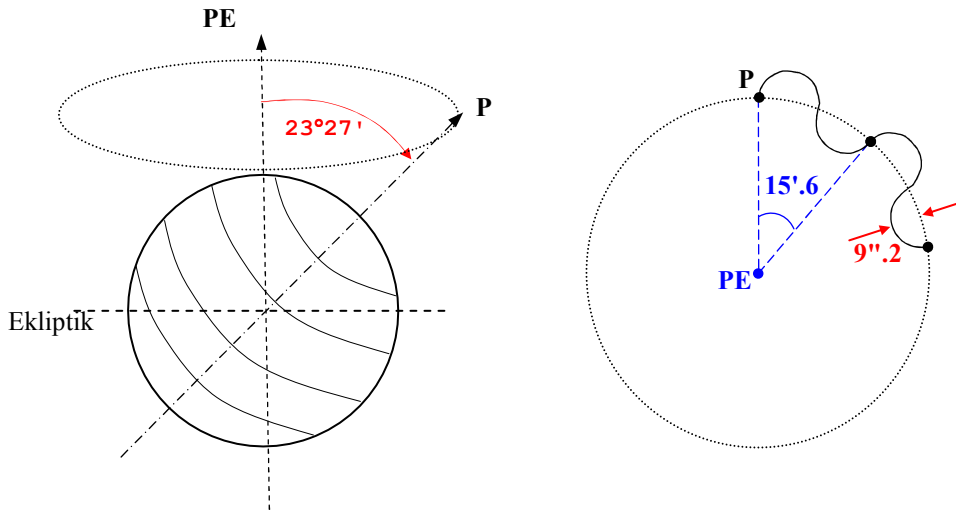
### Presesyon (Precession):

Güneşin çekim etkisi Yerin ekvatorunu ekliptiğe çakırtmaya çalışır. Bu etki sonucu yerin dönme eksenini bir topaç hareketi yapar ve tepe noktası yerin ağırlık merkezinde olduğu varsayılan dairesel bir konu oluşturur. Bu dairesel konu etrafında hareket eden yeri dönme ekseninin doğrultusu **25765** yılda aynı konuma gelir. Bazı kaynaklarda bu değer 25800 yada 26000 yıl olarak alınır. Bahar noktası yada yerin dönme eksenini yılda  $360 \cdot 60 \cdot 60 / 25765 = \mathbf{50.3008''}$  lik yer değiştirir (Şekil-2).

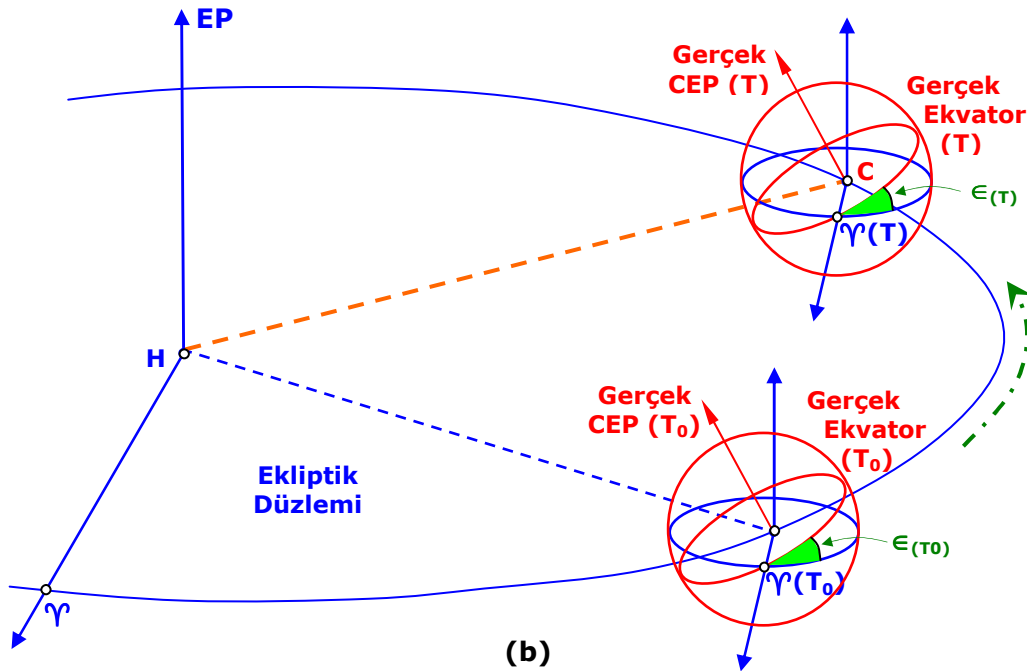
### Nutasyon (Nutation):

Ay yer etrafında ekliptik (yerin yörünge) düzlemine göre **5°11'** bir eğimle dönmektedir. Ayın yörünge düzlemini kestiği nokta düğüm (nodal) noktası olarak adlandırılır. Ayın düğüm noktası aynı konumuna **18.6** yılda gelir. Bu periyodik değişimler dünyanın yıllık yörüngesini bozduğu gibi presisyonunda olumsuz etkiler (Şekil-2). **9.21''** yarıçaplı konu oluşur.

Presisyon ve nutasyon bileşik hareketi (Şekil-2-a) görülmektedir.



(a)

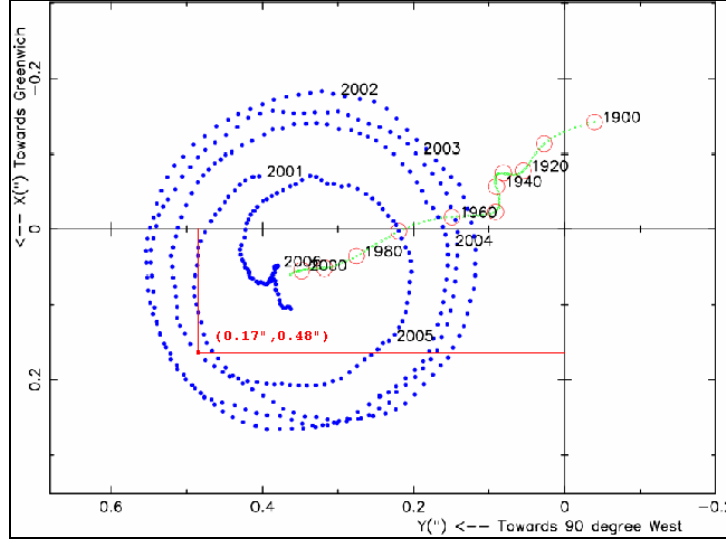


(b)

Şekil-2. Presesyonun ve nutasyonun etkisi.

### Kutup Gezinmezi (Hareketleri) (Polar Motion):

Yerin kitlesel dağılımının düzensiz ve dinamik olması, mevsimsel meteorolojik değişimler ...vb. Fiziksel etkiler sonucu yerin dönme eksenini yer değiştirir. Yaklaşık olarak 430 günlük bir periyot olan ve Chandler periyodu olarak tanımlanan kutup hareketleri IPMS (International Polar Motion Servis) Tarafından Belirlenerek yayınlanır (Şekil-3).

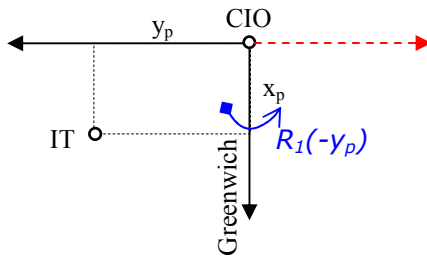


**Şekil-3** Ortalama kutup gezinmesi {Mean polar motion (1900–2010)} ve IERS C04 polhody over (2002 – 2006).

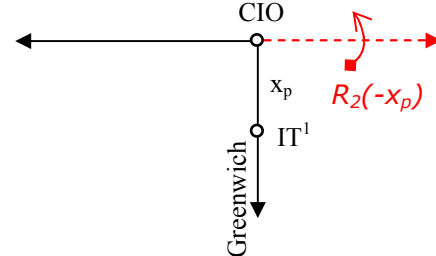
**Table-5** EOP(IERS) C 02 : Evolution of the mean uncertainty of the normal point solution given at five-day intervals.

| Yıllar<br>Birim | (X)<br>0.001 | (Y)<br>0.001 | (UT1)<br>0.0001s | 0.001( | $\sigma_{\text{de}}$<br><b>0.001''</b> |
|-----------------|--------------|--------------|------------------|--------|--|
| 1962-1967       | 30           | 30           | 20               | —      | —                                      |
| 1968-1971       | 25           | 25           | 17               | —      | —                                      |
| 1972-1979       | 11           | 11           | 10               | —      | —                                      |
| 1980-1983       | 2            | 2            | 3                | 2      | 1                                      |
| 1984-1989       | 0.4          | 0.4          | 0.2              | 0.5    | 0.2                                    |
| 1990-2000       | 0.2          | 0.2          | 0.2              | 0.3    | 0.1                                    |
| 2001-2006       | 0.06         | 0.06         | 0.11             | 0.09   | 0.07                                   |

Eklere verilen dönüklük matrisleri sağ-el kordinat sistemine göre verildiğinden, dönüklük matrisleri buna göre oluşturulmalıdır (Şekil-4 ve 5).



Ölçme Anındaki Durum



$\underline{R}_{IT}^1 = R_1(-y_p) \underline{R}_{IT}$  dönüşümünden sonra

**Şekil-4.** Ortalama dönme eksenini (CIO) ile Anlık Dönme Eksenini (IT) ve kutup gezinmesi parametreleri ( $x_p, y_p$ ).



$$R_1(-y_p) = \begin{bmatrix} 1 & 0 & 0 \\ 0 & \cos y_p & -\sin y_p \\ 0 & \sin y_p & \cos y_p \end{bmatrix}$$

$$R_2(-x_p) = \begin{bmatrix} \cos x_p & 0 & \sin x_p \\ 0 & 1 & 0 \\ -\sin x_p & 0 & \cos x_p \end{bmatrix}$$

$x_p \approx y_p \approx 0$  olduğundan  $\sin x_p \approx x_p$  radyan,  $\sin y_p \approx y_p$  radyan,  $\cos x_p \approx 1$  ve  $\cos y_p \approx 1$  olur. Matrisler

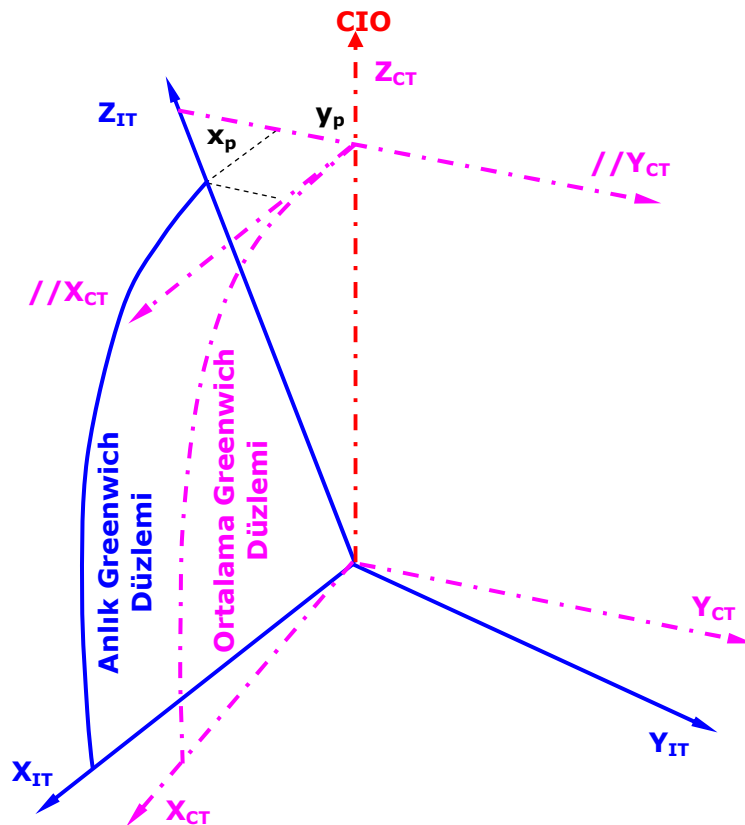
$$R_1(-y_p) = \begin{bmatrix} 1 & 0 & 0 \\ 0 & 1 & -y_p \\ 0 & y_p & 1 \end{bmatrix}$$

$$R_2(-x_p) = \begin{bmatrix} 1 & 0 & x_p \\ 0 & 1 & 0 \\ -x_p & 0 & 1 \end{bmatrix}$$

haline dönüşür. Bu iki matrisin çarpımı sonucu oluşan bazı terimler  $x_p y_p \approx 0$  alınarak, bütünleşik dönüklük matrisi (**A**) elde edilmiş olur.

$$\mathbf{A} = R_2(-x_p) R_1(-y_p) \approx \begin{bmatrix} 1 & 0 & x_p \\ 0 & 1 & -y_p \\ -x_p & y_p & 1 \end{bmatrix}$$

$$\mathbf{A}^{-1} = \mathbf{A}^T = R_1(y_p) R_2(x_p) \approx \begin{bmatrix} 1 & 0 & -x_p \\ 0 & 1 & y_p \\ x_p & -y_p & 1 \end{bmatrix}$$



**Şekil-5.** Ortalama dönme eksen (CIO) ile Anlık Dönme Eksen (IT) ve kutup gezinmesi parametreleri ( $x_p$ ,  $y_p$ ).

**Ödev:** Bir sabit istasonda 6/7/2005 tarihinde ölçülen GPS ölçülerinin değerlendirilmesi sonucunda elde edilen koordinatlar aşağıda verildiğine göre; bu istasyonun ortalama koordinat (IT) sistemindeki soordinatlarını hesaplayınız ( $x_p=0.17''$  ve  $y_p=0.48''$ , Şelil-3 den).

**ULUSLAR ARASI KURULUŞLAR**

IAG (International Association of Geodesy)  
IUGG (International Union of Geodesy and Geophysics)  
IAU (International Astronomical Union)  
BIH (Bureau International de L'Heure)  
IERS (International Earth Rotation Service)  
BGI (Bureau Gravimetrique International)  
IGS (International GPS Service for Geodynamics)  
IGeS (International Geoid Service)  
FIG

**INTERNET ADRESLERİ**

IAG <http://www.gfy.ku.dk/~iag>  
IUGG <http://www.obs-mip.fr/uggi>  
IAU <http://www.lsw.uni-heidelberg.de/iau.html>  
IERS <http://hpi.uni-heidelberg.de/iers/ierscb.html>  
IGS <http://www.igs.org/igs.html>  
FIG <http://www.fig.net>

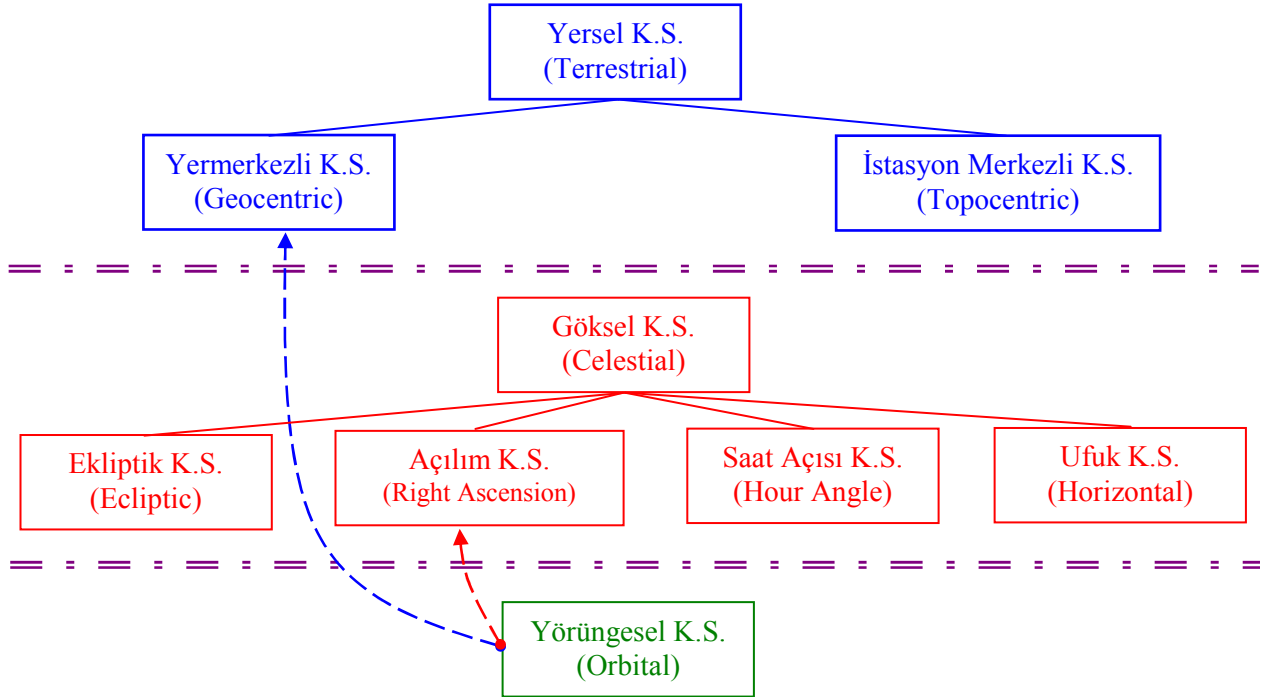
## 2. KOORDİNAT SİSTEMLERİ

Bir koordinat sisteminin tanımlanabilmesi için;

1. Başlangıç yerinin,
2. Üç ekseninin dönüklüklerinin,
3. İlgili koordinat sisteminde temsil edilen noktanın konumunu tanımlayacak parametrelerin (kartezyen, eğrisel)

belirlenmesi gerekmektedir.

Yerin kendi eksenini etrafında ve güneş etrafında periyodik olarak yaptığı dönüş hareketleri koordinat sistemlerin ve zaman sistemlerini tanımlamanın temelini oluştururlar.



**Şekil-4.** Koordinat Sistemleri.

Yersel koordinat sistemleri yer sabittir ve yer ile birlikte hareket ederler. Yermerkezli (Jeosentrik) ve yeryüzü merkezli (toposentrik) olmak üzere iki çeşittir.

Göksel koordinat sistemleri güneş etrafında dönmezler yer etrafında dönerler. Ekliptik (ecliptic), açılım (right ascension), saat açısı (hour angle) ve ufuk (horizon) koordinat sistemleri olmak üzere 4 çeşittir.

Yörüngesel koordinat sistemleri yer etrafında dönmezler. Yer ile birlikte güneş etrafında dönerler. Bu koordinat sistemleri yer etrafında dönen yapay uyduların yerini tanımlamak için kullanılırlar.

### 2.1. Kutuplar (Poles), Planes (Düzlemler) ve Eksenler (Axes) :

Koordinat sistemlerinin eksenlerinin yönlendirilmesi birinci (primary) ve ikincil (secondary) kutuplar (poles), birincil ve ikincil düzlemler (planes) ve birinci, ikinci ve üçüncü (tertiary) eksen (axes) terimleri ile tanımlanabilirler.

**Birinci kutup** : Koordinat sisteminin simetri eksenidir. Örnek: Yerin dönme eksen.

**Birinci düzlem** : Birinci kutba dik düzlemdir. Örnek: Yerin ekvator düzlemi.

**İkinci düzlem** : Birinci düzleme dik ve birinci kutbu içinde bulunduran düzlemdir. Bazen keyfi olarak seçilebilir. Örneğin: Greenwich meridyen düzlemi, bahar noktasından geçen düzlem (ekinoksal düzlem, equinoctial plane).

**İkinci Kutup** : Birinci ve ikinci düzlemlerin arakesitidir.

**Birinci Eksen** : İkinci kutup.

**Üçüncü Eksen** : Birinci kutup.

**İkinci Eksen** : Her iki eksene diktir ve pozitif yönü sağ el yada sol el olmasına göre değişiklik gösterir.

### 3. YERSEL KOORDİNAT SİSTEMLERİ

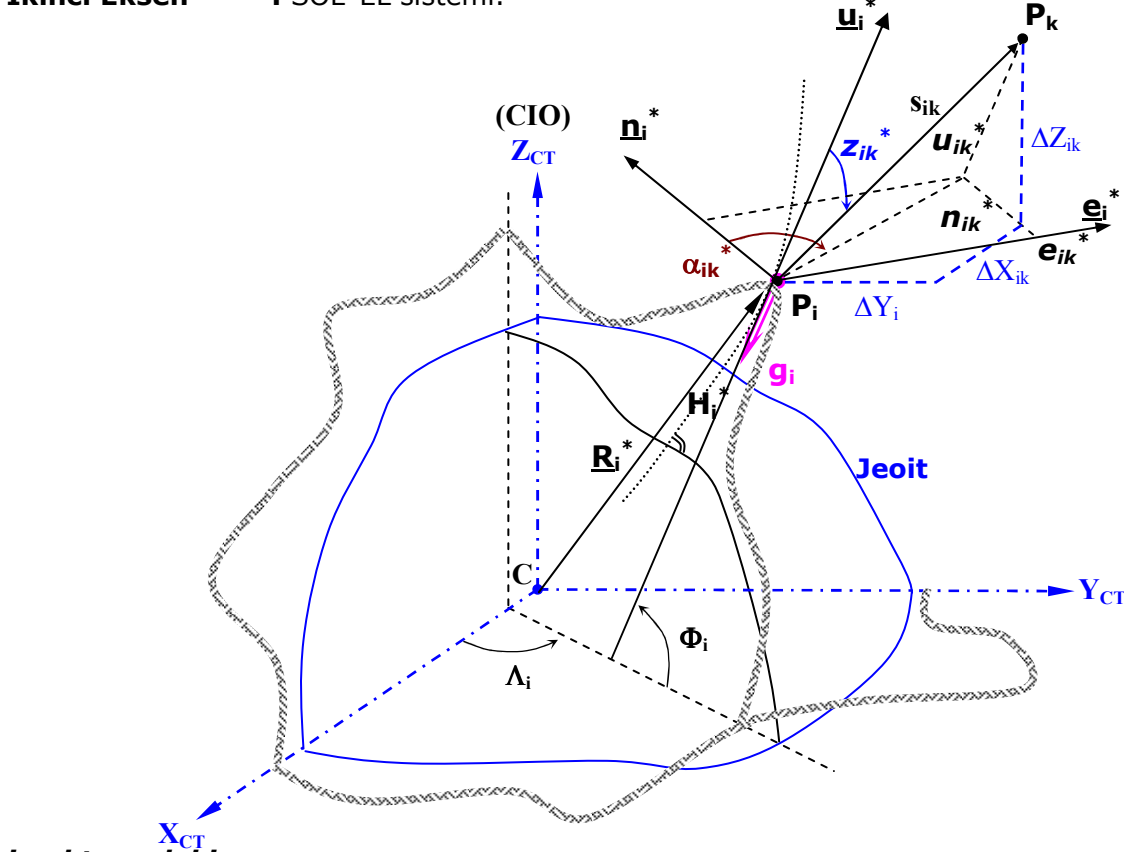
#### 3.1. Doğal Koordinat Sistemleri

##### 3.1.1 Yermerkezli (Jeosentrik) Yersel Sistem (CT:Conventional Terrestrial)

- Başlangıcı** : Yerin ağırlık merkezine yakın ( C ).  
**Birinci kutup** : Yerin dönme eksenini doğrultusu ( //CIO: ).  
**Birinci düzlem** : Ekvator düzlemi.  
**İkinci düzlem** : Greenwich meridyeni.  
**İkinci Kutup** : Greenwich ve ekvator düzlemlerinin arakesiti.  
**Birinci Eksen** : Greenwich ve ekvator düzlemlerinin arakesitinin doğrultusu ( $X_{CT}$ ).  
**Üçüncü Eksen** : Yerin dönme eksenini doğrultusu ( $Z_{CT}$ ) ( //CIO )  
**İkinci Eksen** : SAĞ-EL sistemi ( $Y_{CT}$ ).

##### 3.1.2 İstasyon Merkezli (Toposentrik) Yersel Sistem (LA:Local Astronomic)

- Başlangıcı** : Yerin yüzeyindeki bir nokta (  $P_i$  ).  
**Birinci kutup** :  $P_i$  noktasındaki Çekül doğrultusu (  $g_i$  ).  
**Birinci düzlem** : Başlangıç noktasında yer yüzüne teğet olan düzlem.  
**İkinci düzlem** : Meridyen düzlemi;  $P_i$  noktasını çekül doğrultusunu ve yerin dönme eksenini içinde bulunduran düzlem.  
**İkinci Kutup** : Teğet ve meridyen düzlemlerinin arakesiti.  
**Birinci Eksen** : Teğet ve meridyen düzlemlerinin arakesitinin doğrultusu.  
**Üçüncü Eksen** : Çekül doğrultusu (  $g_i$  ).  
**İkinci Eksen** : SOL-EL sistemi.



**$i$  noktasındaki;**

- $g_i$  Yerçekimi ivmesi  
 $\Phi_i, \Lambda_i$  Astronomik Enlem, Boylam ( $i$  noktasında çekül eğrisine teğet doğrultu)  
 $H_i^*$  Ortometrik Yükseklik (Geoitten olan yükseklik)  
 $n_{ik}^*, e_{ik}^*, u_{ik}^*$  Astronomik yerel dik koordinatlar (kuzey, doğu ve düşey bileşen) ( $\underline{r}_{ik}^*$ )  
 $\alpha_{ik}^*, z_{ik}^*, s_{ik}^*$  Astronomik kutupsal koordinatlar (azimut, düşey açı, eğik uzunluk)  
 $(X_i, Y_i, Z_i)_{CT}$  Ortalama Dik Koordinatlar ( $\underline{R}_{CT}$  yada  $\underline{R}^*$ )

$$(\underline{R}_i^*)^T = [X_i \ Y_i \ Z_i]$$

$$(\underline{R}_k^*)^T = [X_k \ Y_k \ Z_k]$$

$$(\underline{R}_{ik}^*)^T = (\underline{R}_k^*)^T - (\underline{R}_i^*)^T = [\Delta X_{ik} \ \Delta Y_{ik} \ \Delta Z_{ik}] \quad (\underline{r}_{ik}^*)^T = [n_{ik}^* \ e_{ik}^* \ u_{ik}^*]$$

$$s_{ik} = |\underline{R}_{ik}^*| = |\underline{r}_{ik}^*|$$

### 3.1.3. Yeryüzümerkezli Kutupsal Koordinatlardan ↔ Yeryüzümerkezli Dik Koordinatlara Dönüşüm

$$(\underline{r}_{ik}^*)^T = [n_{ik}^* \ e_{ik}^* \ u_{ik}^*]$$

$$n_{ik}^* = s_{ik} \sin(z_{ik}^*) \cos(\alpha_{ik}^*)$$

$$e_{ik}^* = s_{ik} \sin(z_{ik}^*) \sin(\alpha_{ik}^*)$$

$$u_{ik}^* = s_{ik} \cos(z_{ik}^*)$$

$$s_{ik} = \{(n_{ik}^*)^2 + (e_{ik}^*)^2 + (u_{ik}^*)^2\}^{1/2}$$

$$\alpha_{ik}^* = \arctg\{e_{ik}^* / n_{ik}^*\}$$

$$z_{ik}^* = \arctg[\{(n_{ik}^*)^2 + (e_{ik}^*)^2\}^{1/2} / u_{ik}^*]$$

### 3.1.4. Yeryüzümerkezli Dik Koordinatlardan ↔ Yermerkezli Dikkoordinatlara Dönüşüm

$$\underline{R}_k^* = \underline{R}_i^* + \underline{R}_{ik}^*$$

$$\underline{R}_{ik}^* = R_3(\pi - \Lambda_i) R_2(\pi/2 - \Phi_i) P_2 \underline{r}_{ik}^*$$

$$\underline{C}^* = R_3(\pi - \Lambda_i) R_2(\pi/2 - \Phi_i) P_2$$

$$\underline{R}_{ik} = \underline{C}^* \underline{r}_{ik}^*$$

$$\underline{r}_{ik}^* = (\underline{C}^*)^T \underline{R}_{ik} \quad ((\underline{C}^*)^{-1} = (\underline{C}^*)^T \text{ ortogonal matris özelliğinden})$$

$\underline{C}^*$  matrisi aşağıdaki iki yoldan biri ile elde edilebilir. Her iki yolda da farklı dönüklük matrisleri kullanılmasına rağmen aynı sonuca ulaşılır.

$$\underline{C}^* = R_3(\pi - \Lambda_i) R_2(\pi/2 - \Phi_i) P_2 = \begin{bmatrix} -\cos \Lambda_i & \sin \Lambda_i & 0 \\ -\sin \Lambda_i & -\cos \Lambda_i & 0 \\ 0 & 0 & 1 \end{bmatrix} \begin{bmatrix} \sin \Phi_i & 0 & -\cos \Phi_i \\ 0 & 1 & 0 \\ \cos \Phi_i & 0 & \sin \Phi_i \end{bmatrix} \begin{bmatrix} 1 & 0 & 0 \\ 0 & -1 & 0 \\ 0 & 0 & 1 \end{bmatrix}$$

$$\underline{C}^* = \begin{bmatrix} -\sin \Phi_i \cos \Lambda_i & -\sin \Lambda_i & \cos \Phi_i \cos \Lambda_i \\ -\sin \Phi_i \sin \Lambda_i & \cos \Lambda_i & \cos \Phi_i \sin \Lambda_i \\ \cos \Phi_i & 0 & \sin \Phi_i \end{bmatrix}$$

ya da

$$\underline{C}^* = R_3(-\Lambda_i) R_2(-(\pi/2 - \Phi_i)) P_1 = \begin{bmatrix} \cos \Lambda_i & -\sin \Lambda_i & 0 \\ \sin \Lambda_i & \cos \Lambda_i & 0 \\ 0 & 0 & 1 \end{bmatrix} \begin{bmatrix} \sin \Phi_i & 0 & \cos \Phi_i \\ 0 & 1 & 0 \\ -\cos \Phi_i & 0 & \sin \Phi_i \end{bmatrix} \begin{bmatrix} -1 & 0 & 0 \\ 0 & 1 & 0 \\ 0 & 0 & 1 \end{bmatrix}$$

yararlanarak da aynı sonuca ulaşılır.

Yeryüzümerkezli (Yerel) astronomik koordinat sisteminin (LA) birim vektörlerini ortalama (CT) sistemindeki doğrultuları aşağıdaki şekilde bulunur.

e

$$\underline{\ell}_{n_i}^* = \underline{C}^* \begin{bmatrix} 1 \\ 0 \\ 0 \end{bmatrix} = \begin{bmatrix} -\sin \Phi_i \cos \Lambda_i \\ -\sin \Phi_i \sin \Lambda_i \\ \cos \Phi_i \end{bmatrix} \quad \underline{\ell}_{e_i}^* = \underline{C}^* \begin{bmatrix} 0 \\ 1 \\ 0 \end{bmatrix} = \begin{bmatrix} -\sin \Lambda_i \\ \cos \Lambda_i \\ 0 \end{bmatrix} \quad \underline{\ell}_{u_i}^* = \underline{C}^* \begin{bmatrix} 0 \\ 0 \\ 1 \end{bmatrix} = \begin{bmatrix} \cos \Phi_i \cos \Lambda_i \\ \cos \Phi_i \sin \Lambda_i \\ \sin \Phi_i \end{bmatrix}$$

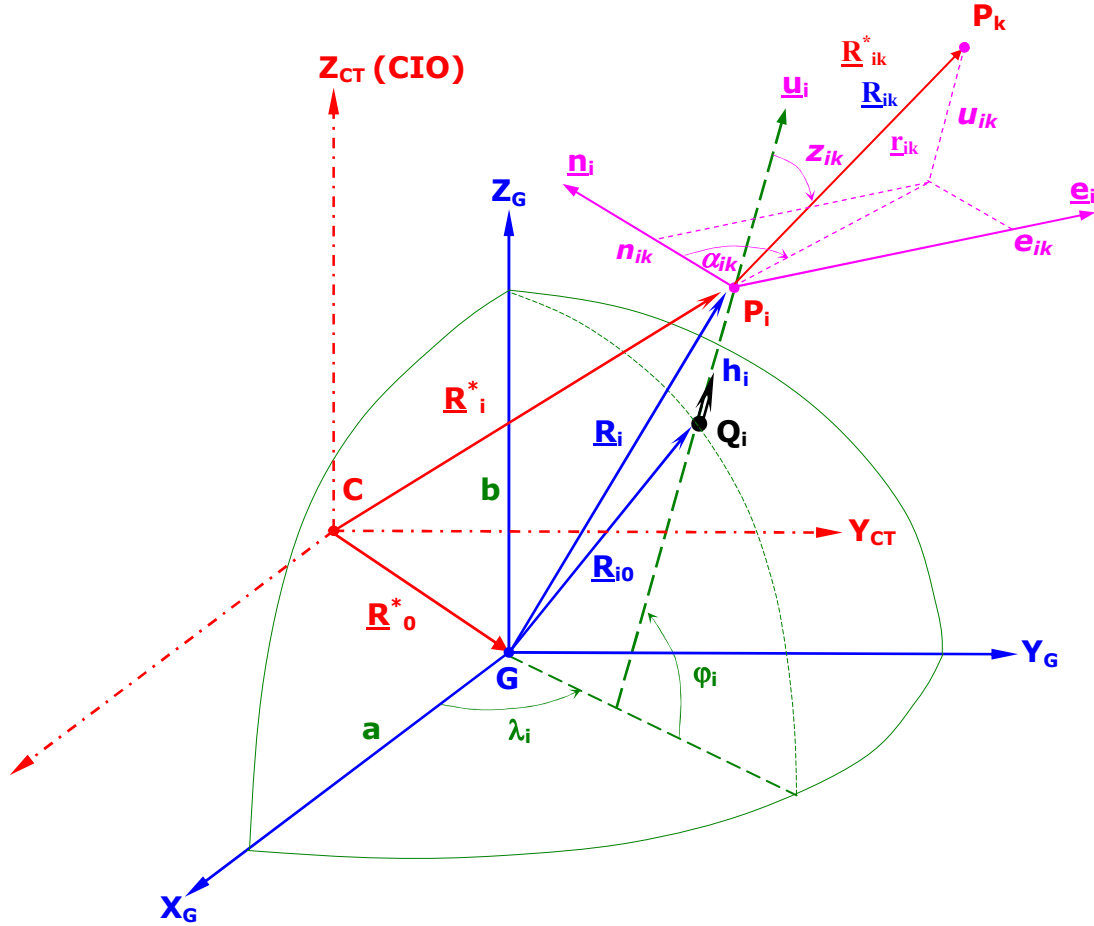
## 3.2. Referans Koordinat Sistemleri

### 3.2.1. Yermerkezli Jeodezik Koordinat Sistemi (G:Geodetic)

|                       |   |
|-----------------------|---|
| <b>Başlangıcı</b>     | : Referans elipsoidinin ağırlık merkezine yakın ( G ).              |
| <b>Birinci kutup</b>  | : Dönel elipsoidin küçük yarı eksenini doğrultusu ( //CIO ).        |
| <b>Birinci düzlem</b> | : Elipsoidin ağırlık merkezini içinde bulunduran ekvator dairesi.   |
| <b>İkinci düzlem</b>  | : Greenwich meridyen elipsi.  |
| <b>İkinci Kutup</b>   | : Greenwich meridyen elipsi ile ve ekvator düzlemlerinin arakesiti. |
| <b>Birinci Eksen</b>  | : Greenwich meridyen elipsi ile ve ekvator düzlemlerinin arakesiti. |
| <b>Üçüncü Eksen</b>   | : Dönel elipsoidin küçük yarı eksenini doğrultusu ( //CIO ).        |
| <b>İkinci Eksen</b>   | : SAĞ-EL sistemi.   |

### 3.2.2. İstasyon merkezli (Toposentrik) Yersel Sistem (LG:Local Geodetic)

|                       |  |
|-----------------------|--|
| <b>Başlangıcı</b>     | : Yerin yüzeyindeki bir nokta ( $P_i$ ).                                     |
| <b>Birinci kutup</b>  | : $P_i$ noktasındaki elipsoid normalinin doğrultusu.                         |
| <b>Birinci düzlem</b> | : $P_i$ noktasında elipsoit normaline dik düzlem.                            |
| <b>İkinci düzlem</b>  | : $P_i$ noktasındaki meridyen elipsi.  |
| <b>İkinci Kutup</b>   | : $P_i$ noktasındaki teğet ve meridyen elipsi düzlemlerinin arakesiti .      |
| <b>Birinci Eksen</b>  | : $P_i$ noktasındaki teğet ve meridyen elipsi düzlemlerinin arakesiti ( n ). |
| <b>Üçüncü Eksen</b>   | : $P_i$ noktasındaki elipsoid normalinin doğrultusu ( u ) .                  |
| <b>İkinci Eksen</b>   | : SOL-EL sistemi ( e ) .   |



*i noktasındaki;*

|                               |  |
|-------------------------------|--|
| $(X_i, Y_i, Z_i)_G$           | Jeodezik Dik Koordinatlar ( $\underline{r}_G$ )          |
| $\phi_i, \lambda_i$           | Jeodezik Enlem, Boylam                                   |
| $h_i$                         | Elipsoit Yüksekliği                                      |
| $n_{ik}, e_{ik}, u_{ik}$      | Jeodezik yerel dik koordinatlar ( $\underline{r}_{ik}$ ) |
| $\alpha_{ik}, z_{ik}, s_{ik}$ | Jeodezik kutupsal koordinatlar                           |





$$\frac{S^2}{a^2} + \frac{Z^2}{b^2} = 1$$

burada  $S = \sqrt{X^2 + Y^2} = N \cos \varphi$  dir. Meriyen elipsine Q noktasında teğetin eğimi meridyen elipsi denkleminde yararlanılarak aşağıdaki şekilde elde edilir.

$$b^2 S^2 + a^2 Z^2 = a^2 b^2$$

$$2b^2 S dS + 2a^2 Z dZ = 0$$

$$\frac{dZ}{dS} = -\frac{b^2 S}{a^2 Z}$$

Elde edilen teğetin eğim açısının şekilden  $-(\pi/2 - \varphi)$  olduğu kolayca görülmektedir. Teğetin eğimi birde bu eğim açısından hesaplanır ve yukarıdaki eşitlikle ilişkilendirilirse, aşağıdaki bağıntıya ulaşılır.

$$\frac{dZ}{dS} = -\frac{b^2 S}{a^2 Z} = -\tan(\pi/2 - \varphi)$$

$$\frac{b^2 S}{a^2 Z} = \cot \varphi = \frac{\cos \varphi}{\sin \varphi}$$

$$Z = S \frac{b^2 \sin \varphi}{a^2 \cos \varphi}$$

$$Z = N \frac{b^2}{a^2} \sin \varphi$$

$$X = S \cos \lambda$$

$$X = N \cos \varphi \cos \lambda$$

$$Y = S \sin \lambda$$

$$Y = N \cos \varphi \sin \lambda$$

Genel bağıntılar yerine i noktasına göre aşağıdaki şekilde düzenlenir.

$$\underline{R}_{i0} = \begin{bmatrix} X_{i0} \\ Y_{i0} \\ Z_{i0} \end{bmatrix}_G = N_i \begin{bmatrix} \cos \varphi_i \cos \lambda_i \\ \cos \varphi_i \sin \lambda_i \\ b^2 / a^2 \sin \varphi_i \end{bmatrix} = N_i \begin{bmatrix} 1 & 0 & 0 \\ 0 & 1 & 0 \\ 0 & 0 & \frac{b^2}{a^2} \end{bmatrix} \begin{bmatrix} \cos \varphi_i \cos \lambda_i \\ \cos \varphi_i \sin \lambda_i \\ \sin \varphi_i \end{bmatrix}$$

### 3.2.5. Elipsoit dışında bulunan $P_i$ noktasının koordinatları ( $R_i$ )

a)  $(\varphi, \lambda, h)_G \rightarrow (X, Y, Z)_G$

$$\underline{R}_i = \begin{bmatrix} X_i \\ Y_i \\ Z_i \end{bmatrix}_G = \underline{R}_{i0} + h_i \underline{\ell}_{u_i} = N_i \begin{bmatrix} 1 & 0 & 0 \\ 0 & 1 & 0 \\ 0 & 0 & \frac{b^2}{a^2} \end{bmatrix} \begin{bmatrix} \cos \varphi_i \cos \lambda_i \\ \cos \varphi_i \sin \lambda_i \\ \sin \varphi_i \end{bmatrix} + h_i \begin{bmatrix} \cos \varphi_i \cos \lambda_i \\ \cos \varphi_i \sin \lambda_i \\ \sin \varphi_i \end{bmatrix}$$

$$\underline{R}_i = \begin{bmatrix} X_i \\ Y_i \\ Z_i \end{bmatrix}_G = \begin{bmatrix} N_i + h_i & 0 & 0 \\ 0 & N_i + h_i & 0 \\ 0 & 0 & \frac{b^2}{a^2} N_i + h_i \end{bmatrix} \begin{bmatrix} \cos \varphi_i \cos \lambda_i \\ \cos \varphi_i \sin \lambda_i \\ \sin \varphi_i \end{bmatrix} = \begin{bmatrix} (N_i + h_i) \cos \varphi_i \cos \lambda_i \\ (N_i + h_i) \cos \varphi_i \sin \lambda_i \\ (\frac{b^2}{a^2} N_i + h_i) \sin \varphi_i \end{bmatrix}$$

b)  $(X, Y, Z)_G \rightarrow (\varphi, \lambda, h)_G$

Doğrudan (direkt) çözüm yada iteratif çözüm olmak üzere iki tür çözüm kullanılır. Doğrudan çözüm yeryüzündeki herhangi bir nokta ( $-10\text{km} < h < 10\text{km}$ ) için yeterlidir (Hofman-Welenhof vd. 1999).

$$e^2 = 1 - (b/a)^2, \quad e'^2 = (a/b)^2 - 1$$

$$p_j = \sqrt{X_j^2 + Y_j^2}, \quad t_j = \arctan\{a Z_j / b p_j\}$$

$$\varphi_j = \arctan\{(Z_j + e'^2 b \sin^3 t_j) / (p_j - e^2 a \cos^3 t_j)\}$$

$$\lambda_j = \arctan\{Y_j / X_j\}$$

$$h_j = p_j / \cos \varphi_j - N_j$$

Yapay uydular yada yeryüzü dışındaki noktalar için iteratif bağıntılar.

$$(1) \varphi_{j0} = \arctan\left\{\frac{Z_j}{p_j(1-e^2)}\right\}$$

$$(2) N_j = \frac{a}{\sqrt{1-e^2 \sin^2 \varphi_{j0}}}, \quad h_j = \frac{p_j}{\cos \varphi_{j0}} - N_j, \quad \varphi_j = \arctan\left\{\frac{Z_j / p_j}{1 - e^2 N_j / (N_j + h_j)}\right\}$$

$$(3) |\varphi_j - \varphi_{j0}| > 1e-14 \text{ ise } \varphi_{j0} = \varphi_j \text{ ve (2)'e git}$$

$$(4) \lambda_j = \arctan\left\{\frac{Y_j}{X_j}\right\}$$

(Krakiwsky ve Wells, 1971; Hofman-Welenhof vd. 1999).

### c) Jeodezik Eğri Koordinatlar ( $\varphi, \lambda$ ) ile Gauss-Kruger Projeksiyon Koordinatları ( $x, y$ ) Arasındaki Dönüşümler

**Verilenler :**  $a, b$  (Elipsoit)  $\lambda_0$  (Dilim Orta Meridyeni),  $\varphi$  ve  $\lambda$  (Enlem ve Boylam)

**İsteneler :**  $x, y$  (Açı Koruyan Harita Koordinatları)

$$L = \lambda - \lambda_0, \quad t = \tan \varphi, \quad \eta = (a^2 - b^2) (\cos \varphi / b)^2, \quad N = a^2 / b / (1 + \eta)^{1/2}, \quad n = (a - b) / (a + b)$$

$$b_1 = (a + b) (1/2 + n^2/8 + n^4/128)$$

$$b_2 = -3n / 2 + 9n^3/16 - 3n^5/32$$

$$b_3 = 15n^2 / 16 - 15n^4 / 32$$

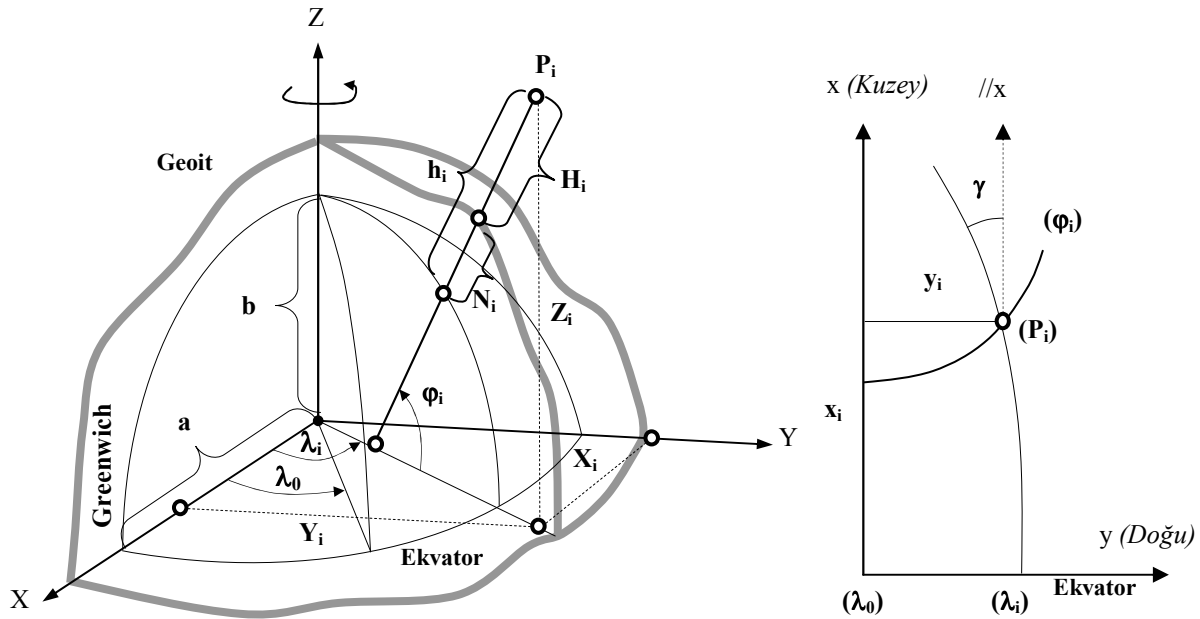
$$b_4 = -35n^3 / 48 + 105n^5 / 256$$

$$b_5 = 315n^4 / 512$$

$$\begin{aligned} x &= b_1 (\varphi + b_2 \sin(2\varphi) + b_3 \sin(4\varphi) + b_4 \sin(6\varphi) + b_5 \sin(8\varphi)) \\ &+ (L \cos \varphi)^2 t N / 2 \\ &+ (L \cos \varphi)^4 (5 - t^2 + 9\eta + 4\eta^2) / 24 \\ &+ (L \cos \varphi)^6 (61 - 58t^2 + t^4 + 270\eta - 330t^2\eta) / 720 \\ &+ (L \cos \varphi)^8 (1385 - 3111t^2 + 543t^4 - t^6) / 40320 \\ &+ \dots \end{aligned}$$

$$\begin{aligned} y &= N L \cos \varphi \\ &+ (L \cos \varphi)^3 (1 - t^2 + \eta) / 6 \\ &+ (L \cos \varphi)^5 (5 - 18t^2 + t^4 + 14\eta - 58t^2\eta) / 120 \\ &+ (L \cos \varphi)^7 (61 - 479t^2 + 179t^4 - t^6) / 5040 \\ &+ \dots \end{aligned}$$

(Hofman-Welenhof vd. 1994)



**Şekil-1.** Kartezyen koordinatlar ( $X, Y, Z$ ) ile elipsoidal koordinatlar ( $\varphi, \lambda, h$ ) ve UTM projeksiyon koordinatları ( $x, y$ ) arasındaki ilişki. "(\*)" ; \*'ın projeksiyonu anlamında kullanılmıştır.

**Verilenler :**  $a$  ,  $b$  (Elipsoit),  $\lambda_0$ (Dilim Orta Meridyeni),  $x$  ve  $y$  (Açı Koruyan Harita Koord.)

**İsteneler :**  $\varphi$  ve  $\lambda$  (Enlem ve Boylam)

$$n = (a - b) / (a + b)$$

$$b_1 = (a+b) ( 1/2 + n^2/8 + n^4/128 )$$

$$b_2 = 3/2 \eta - 27/32 \eta^3 + 269/512 \eta^5$$

$$b_3 = 21/16 \eta^2 - 55/32 \eta^4$$

$$b_4 = 151/96 n^3 + 417/128 \eta^5$$

$$b_5 = 1097/512 \eta^4$$

$$\varphi_0 = x/b_1 + b_2 \sin(2x/b_1) + b_3 \sin(4x/b_1) + b_4 \sin(6x/b_1) + b_5 \sin(8x/b_1)$$

$$t = \tan \varphi_0 , \eta = (a^2 - b^2) (\cos \varphi_0 / b)^2 , N = a^2 / b / (1 + \eta)^{1/2}$$

$$\varphi = \varphi_0$$

$$+ t (y/N)^2 ( -1 - \eta ) / 2$$

$$+ t (y/N)^4 ( 5 + 3t^2 + 6\eta - 6t^2\eta - 3\eta^2 - 9t^2\eta^2 ) / 24$$

$$+ t (y/N)^6 ( -61 - 90t^2 - 45t^4 - 107\eta + 162t^2\eta + 45t^4\eta ) / 720$$

$$+ t (y/N)^8 ( 1385 + 3633t^2 + 4095t^4 + 1575t^6 ) / 40320$$

$$+ \dots$$

$$\lambda = \lambda_0$$

$$+ y / (N \cos \varphi_0 )$$

$$+ (y/N)^3 ( -1 - 2t^2 - \eta ) / (6 \cos \varphi_0)$$

$$+ (y/N)^5 ( 5 + 28t^2 + 24t^4 + 6\eta + 8t^2\eta ) / (120 \cos \varphi_0)$$

$$+ (y/N)^7 ( -61 - 662t^2 - 1320t^4 - 720t^6 ) / (5040 \cos \varphi_0)$$

$$+ \dots$$

(Hofman-Welenhof vd. 1994)

Bu başlık altında işlenen koordinat dönüşümlerinin C++ dilinde yazılmış alt programları Ek-4'de verilmiştir. Ek-4 de yer alan alt programlarda;

$$\{\lambda(L)\} \rightarrow \{3^\circ(6^\circ), \lambda_0(L_0)\}$$

Dilim Orta Meridyeni hesabı,

$$\{X, Y, Z\} \rightarrow \{a, b, \varphi(B), \lambda(L), h\}$$

Jeodezik Dik Koordinatlardan Jeodezik eğri koordinatlarına, dönüşüm

$$\{a, b, \varphi(B), \lambda(L), h\} \rightarrow \{X, Y, Z\}$$

Jeodezik Eğri Koordinatlardan Jeodezik dik koordinatlarına dönüşüm,

$$\{a, b, \lambda_0(L_0), \varphi(B), \lambda(L)\} \rightarrow \{a, b, \lambda_0(L_0), y, x\}$$

Jeodezik Eğri Koordinatlardan Gauss Kruger Koordinatlarına dönüşüm,

$$\{a, b, \lambda_0(L_0), y, x\} \rightarrow \{a, b, \lambda_0(L_0), \varphi(B), \lambda(L)\}$$

Gauss Kruger Koordinatlarından dönüşüm Jeodezik Eğri Koordinatlara dönüşüm,

yer almaktadır (Ek-4). Parantez içlerindeki değişkenler alt programlarda kullanılan değişkenlerdir.



**3.3.1. 3B Doğal ile 3B Yapay Koordinatlar Arasındaki Dönüşüm (X,Y,Z)<sub>CT</sub>↔(X,Y,Z)<sub>G</sub>**

$$\underline{R}_{CT} = \underline{R}_0 + \underline{R}_1(\omega_1) \underline{R}_2(\omega_2) \underline{R}_3(\omega_3) \underline{R}_G$$

$$\underline{B} = \underline{R}_1(\omega_1) \underline{R}_2(\omega_2) \underline{R}_3(\omega_3) = \begin{bmatrix} 1 & \omega_3 & -\omega_2 \\ -\omega_3 & 1 & \omega_1 \\ \omega_2 & -\omega_1 & 1 \end{bmatrix}$$

$$\underline{R}_G = \underline{R}_3(-\omega_3) \underline{R}_2(-\omega_2) \underline{R}_1(-\omega_1) \{ \underline{R}_{CT} - \underline{R}_0 \}$$

$$\underline{B}^T = \underline{R}_3(-\omega_3) \underline{R}_2(-\omega_2) \underline{R}_1(-\omega_1) = \begin{bmatrix} 1 & -\omega_3 & \omega_2 \\ \omega_3 & 1 & -\omega_1 \\ -\omega_2 & \omega_1 & 1 \end{bmatrix}$$

$\omega_1 = \omega_2 = \omega_3 = 0$  ise

$$\underline{R}_{CT} = \underline{R}_0 + \underline{R}_G$$

$$\underline{R}_G = \underline{R}_{CT} - \underline{R}_0$$

**ÖDEV**

**1)** ED50 datumundan WGS84 datumuna dönüşüm bağıntılarından yararlanarak, ters dönüşüm bağıntılarını hesaplayınız.

$$\begin{bmatrix} X \\ Y \\ Z \end{bmatrix}_{WGS84} = \begin{bmatrix} -89.5002 \\ -93.8000 \\ -123.1002 \end{bmatrix}^{[m]} + \mathbf{k} \begin{bmatrix} 1 & \alpha & 0 \\ -\alpha & 1 & 0 \\ 0 & 0 & 1 \end{bmatrix} \begin{bmatrix} X \\ Y \\ Z \end{bmatrix}_{ED50} \quad \alpha = 0.156'' \quad k = 1 + 1.2e-6$$

**2)** WGS84 ile NAD27 arasındaki dönüşüm de aşağıda verildiğine göre, NAD27 ile ED50 arasındaki dönüşüm bağıntılarını çıkarınız.

$$\begin{bmatrix} X \\ Y \\ Z \end{bmatrix}_{WGS84} = \begin{bmatrix} X \\ Y \\ Z \end{bmatrix}_{NAD27} + \begin{bmatrix} 9 \\ -161 \\ -179 \end{bmatrix}^{[m]}$$

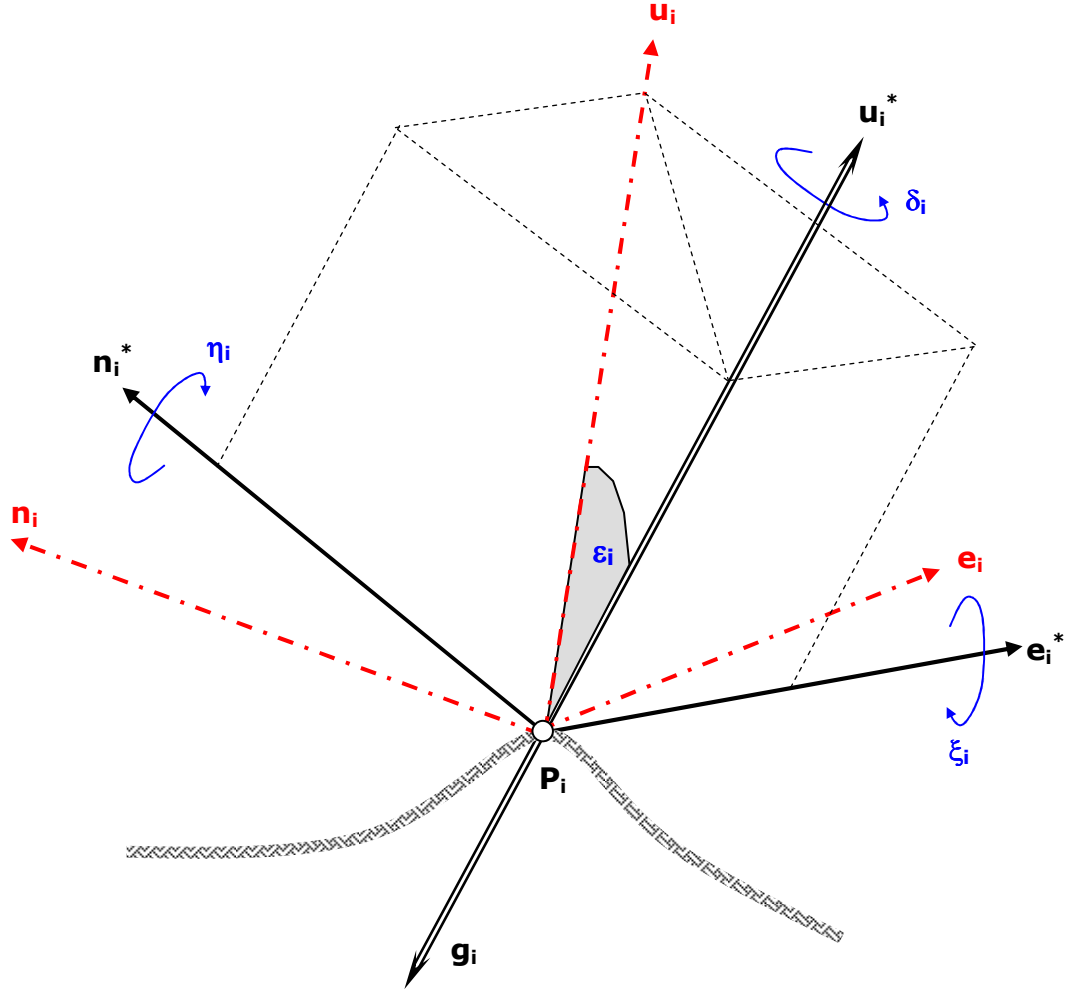
**3)** ED50 ile NAD27 arasındaki datum dönüşüm bağıntılarını bulunuz.

**4)** WGS84'deki jeodezik koordinatları  $\varphi = 40^\circ 07' 04.60''$ ,  $\lambda = 277^\circ 01' 04.60''$ ,  $h = 231.562\text{m}$  olarak verilen noktanın ED50 ve NAD27'deki jeodezik ve jeodezik dik koordinatlarını hesaplayınız

### 3.3.2. Doğal İstasyonmerkezli Koordinatlar ile Referans İstasyonmerkezli Koordinatlar Arasındaki Dönüşüm

#### a) Çekül Sapması ve Bileşenleri

Doğal ve referans istasyon merkezli dik koordinat sistemleri arasındaki dönüşümler çekül sapması bileşenleri ( $\xi_i, \eta_i$ ) ile birlikte doğal ve referans azimut farkları ( $\delta_i$ ) kullanılarak gerçekleştirilir.



Şekil. ( $n_i^*, e_i^*, u_i^*$ )<sub>LA</sub> ↔ ( $n_i, e_i, u_i$ )<sub>LG</sub> arasındaki dönüşüm.

#### Durulan nokta i'deki;

|  |  |
|--|--|
| $\varepsilon_i$                          | Çekül sapması ( $z_{ik} = z_{ik}^* + \varepsilon_i$ , $\varepsilon_i = \xi_i \cos \alpha_{ik} + \eta_i \sin \alpha_{ik}$ ) |
| $\delta_i = \alpha_{ik}^* - \alpha_{ik}$ | Astronomik ve jeodezik meridyen düzlemleri arasındaki açı  |
| $\xi_i$                                  | $\varepsilon_i$ nun kuzey-güney yönündeki bileşeni   |
| $\eta_i$                                 | $\varepsilon_i$ nun Doğu-Batı yönündeki bileşeni   |

Global yada local datum oluşturulurken jeodezik koordinat sisteminin dönme eksenini CIO paralel yapılmaya çalışılır ( $\omega_1 = \omega_2 = \omega_3 = 0$  olur). Bu koşul altında

$$\xi_i = \Phi_i - \varphi_i$$

$$\eta_i = (\Lambda_i - \lambda_i) \cos \Phi_i$$

$$\delta_i \approx (\Lambda_i - \lambda_i) \sin \Phi_i = \eta_i \tan \Phi_i \quad \text{Laplace azimuth koşulu}$$

$$\delta_i = (\Lambda_i - \lambda_i) \sin \Phi_i + \{(\Phi_i - \varphi_i) \sin \alpha_{ik} - (\Lambda_i - \lambda_i) \cos \Phi_i \cos \alpha_{ik}\} / \tan z_{ik} = \eta_i \tan \Phi_i + (\xi_i \sin \alpha_{ik} - \eta_i \cos \alpha_{ik}) / \tan z_{ik}$$

olur.

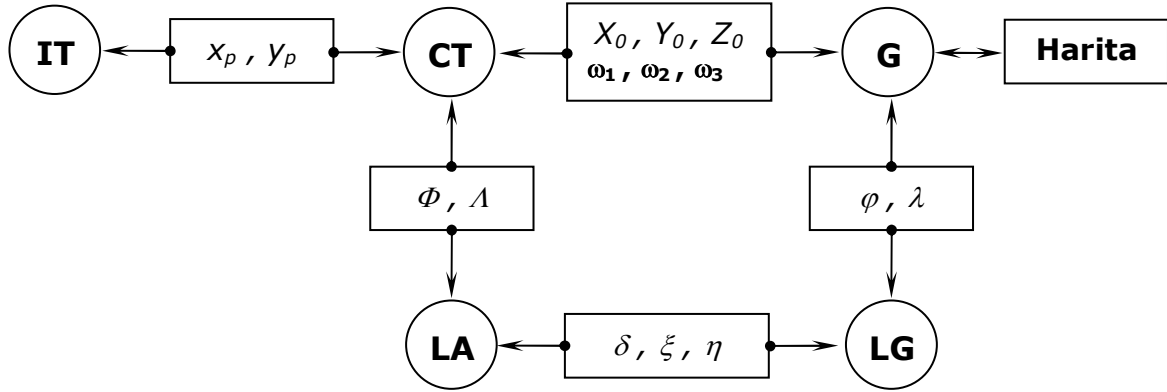
Astronomik istasyon merkezli koordinatlardan, jeodezik istasyon merkezli koordinatlara dönüşüm.

$$\underline{r}_{ik} = \underline{R}_3(\delta_i) \underline{R}_2(-\xi_i) \underline{R}_1(\eta_i) \underline{r}_{ik}^* = \underline{D} \underline{r}_{ik}^*$$

$$s_{ik} \begin{bmatrix} \cos \alpha \sin z \\ \sin \alpha \sin z \\ \cos z \end{bmatrix} = \begin{bmatrix} \cos \delta_i & \sin \delta_i & 0 \\ -\sin \delta_i & \cos \delta_i & 0 \\ 0 & 0 & 1 \end{bmatrix} \begin{bmatrix} \cos \xi_i & 0 & \sin \xi_i \\ 0 & 1 & 0 \\ -\sin \xi_i & 0 & \cos \xi_i \end{bmatrix} \begin{bmatrix} 1 & 0 & 0 \\ 0 & \cos \eta_i & \sin \eta_i \\ 0 & -\sin \eta_i & \cos \eta_i \end{bmatrix} s_{ik} \begin{bmatrix} \cos \alpha^* \sin z^* \\ \sin \alpha^* \sin z^* \\ \cos z^* \end{bmatrix}$$

$$\begin{bmatrix} \cos \alpha \sin z \\ \sin \alpha \sin z \\ \cos z \end{bmatrix} = \begin{bmatrix} 1 & \delta_i & \xi_i \\ -\delta_i & 1 & \eta_i \\ -\xi_i & -\eta_i & 1 \end{bmatrix} \begin{bmatrix} \cos \alpha^* \sin z^* \\ \sin \alpha^* \sin z^* \\ \cos z^* \end{bmatrix} \quad \underline{D} = \begin{bmatrix} 1 & \delta_i & \xi_i \\ -\delta_i & 1 & \eta_i \\ -\xi_i & -\eta_i & 1 \end{bmatrix}$$

Yersel koordinat sistemleri arasındaki dönüşümler şematik olarak aşağıdaki gösterilmiştir.

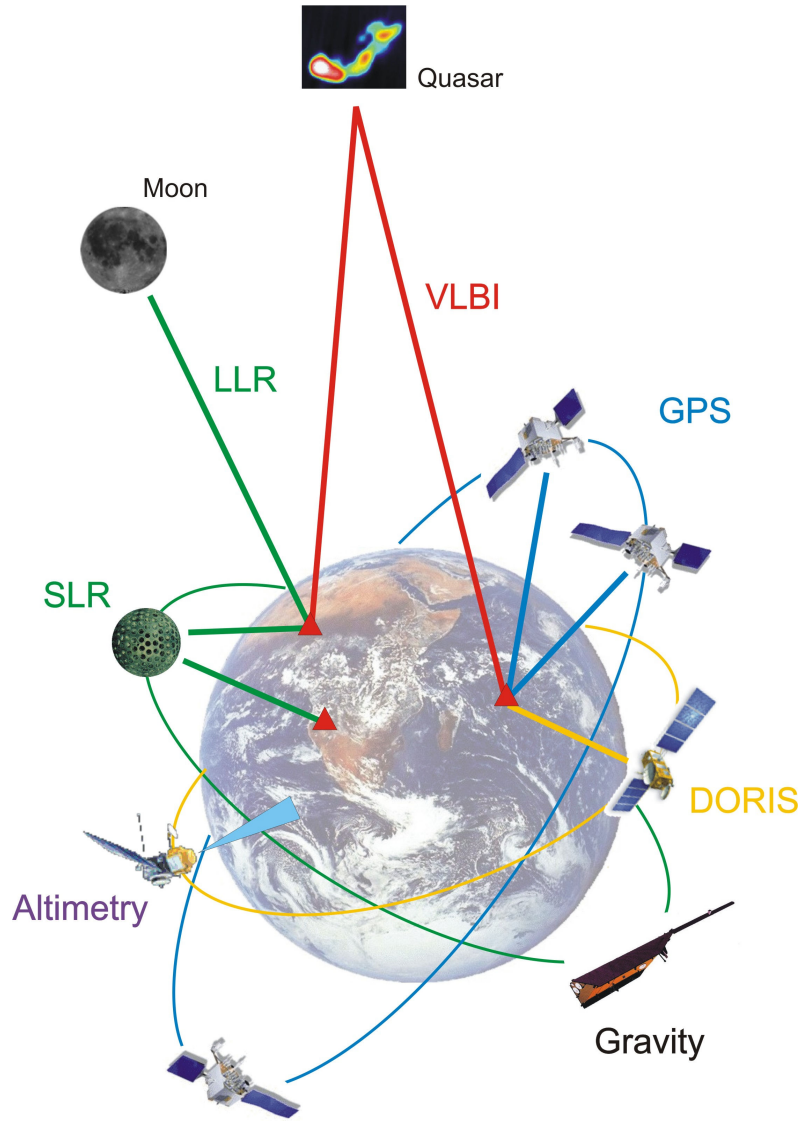


**Şekil** Yererkezli Sistemler Arasındaki Dönüşüm Parametreleri

Günümüze kadar CIO (Conventional International Origin) genellikle CTP (Conventional Terrestrial Pole) olarak seçilmiş ve 1900-1905 yılları arasındaki dönme eksenlerinin ortalaması alınarak belirlenmiştir. Ortalama Greenwich Meridyeni de, Greenwich Ortalama Gözlemci (GMO, Greenwich Mean Observatory) eskiden zaman ölçme kuruluşu olan BIH'e (Bureau International de l'Heure) katkı sağlayan gözlem evlerinin boylamlarının sayısal değerlerinin ortalaması olarak tanımlanır. Son yıllarda yeni uydu gözlem tekniklerinin ve kutup/zaman ölçümde kullanılan ek istasyonların sayılarının artması nedeniyle, yukarıdaki tanımlar kesin bir anlam taşımazlar. Günümüzde kutup ve zaman belirleme işlemlerini gerçekleştiren IERS (International Earth Rotation Service) VLBI (Very Long Base Interferometry), SLR (Satellite Laser Ranging) ve LLR (Lunar Laser Ranging), GPS (Global Positioning System) ve DORIS (Doppler Orbitography and Radio Positioning Integrated by Satellite) ölçme teknikleri kullanarak BIH ölçülerine dayalı olarak belirlenmiş olan convensiyonal referans sistemlerinin kontrolüne devam etmektedir.

Günümüzde CTS, en duyarlı gözlem teknikleri ile koordinatları belirlenen ana istasyonlardan oluşan global bir ağ ile tanımlanmaktadır. Bu global ağda kabuk hareketlerinin neden olduğu koordinat değişiklikleride göz önüne alınmaktadır. 1984 de BIH buna benzer referans sistemi tanımlamış ve bu sistemi BTS (BIH Terrestrial System) olarak isimlendirmiştir. IERS'nin günümüzde bakımını devam ettirdiği BTS'nin devamı olan yersel sistem ITRF (IERS Terrestrial Reference Frame) olarak adlandırmaktadır (Seeber, 1993, page:17 and page:470-473).





**Şekil** IERS'nin Global Ağ Ölçmelerinde Kullandığı Ölçme Teknikleri  
[http://www.gfz-potsdam.de/pb1/IERS/iersAC\\_index.html](http://www.gfz-potsdam.de/pb1/IERS/iersAC_index.html)

### 3.4. YERSEL SİSTEMLER ARASINDAKİ DÖNÜŞÜMLER

|                |   | Dönüştürülen Sistem   |   |   |  |   |
|----------------|---|---|---|---|--|---|
|                |   | Ortalama Yersel ( $\underline{R}_{CT}$ )                        | Anlık Yersel ( $\underline{R}_{IT}$ )   | Jeodezik ( $\underline{R}_G$ )                            | Yerel Astronomik ( $\underline{r}_{LA}$ )              | Yerel Jeodezik ( $\underline{r}_{LG}$ )   |
| Dönüşen Sistem | Ortalama Yersel ( $\underline{R}_{CT}$ )  | $\underline{I}$   | $\underline{A}$   | $\underline{B} \underline{R}_G + \underline{R}_0$         | $\underline{C}^* \underline{r}_{LA} + \underline{R}_j$ | $\underline{R}_G \Rightarrow \underline{R}_{CT}$                                |
|                | Anlık Yersel ( $\underline{R}_{IT}$ )     | $\underline{A}^T$   | $\underline{I}$   | $\underline{R}_{CT} \Rightarrow \underline{R}_{IT}$       | $\underline{R}_{CT} \Rightarrow \underline{R}_{IT}$    | $\underline{R}_G \Rightarrow \underline{R}_{CT} \Rightarrow \underline{R}_{IT}$ |
|                | Jeodezik ( $\underline{R}_G$ )            | $\underline{B}^T \{ \underline{R}_{CT} - \underline{R}_0 \}$    | $\underline{R}_{CT} \Rightarrow \underline{R}_G$                                | $\underline{I}$   | $\underline{r}_{LG} \Rightarrow \underline{R}_G$       | $\underline{C} \underline{r}_{LG} + \underline{R}_j$                            |
|                | Yerel Astronomik ( $\underline{r}_{LA}$ ) | $\underline{C}^{*T} \{ \underline{R}_{CT} - \underline{R}_j \}$ | $\underline{R}_{CT} \Rightarrow \underline{r}_{LA}$                             | $\underline{r}_{LG} \Rightarrow \underline{r}_{LA}$       | $\underline{I}$  | $\underline{D}^T$   |
|                | Yerel Jeodezik ( $\underline{r}_{LG}$ )   | $\underline{R}_G \Rightarrow \underline{r}_{LG}$                | $\underline{R}_{CT} \Rightarrow \underline{R}_G \Rightarrow \underline{r}_{LG}$ | $\underline{C}^T \{ \underline{R}_G - \underline{R}_j \}$ | $\underline{D}$  | $\underline{I}$   |

$$\underline{A} = \begin{bmatrix} 1 & 0 & x_p \\ 0 & 1 & -y_p \\ -x_p & y_p & 1 \end{bmatrix}$$

$$\underline{B} = \begin{bmatrix} 1 & \omega_3 & -\omega_2 \\ -\omega_3 & 1 & \omega_1 \\ \omega_2 & -\omega_1 & 1 \end{bmatrix}$$

$$\underline{C} = \begin{bmatrix} -\sin \varphi_i \cos \lambda_i & -\sin \lambda_i & \cos \varphi_i \cos \lambda_i \\ -\sin \varphi_i \sin \lambda_i & \cos \lambda_i & \cos \varphi_i \sin \lambda_i \\ \cos \varphi_i & 0 & \sin \varphi_i \end{bmatrix}$$

$$\underline{D} = \begin{bmatrix} 1 & \delta_i & \xi_i \\ -\delta_i & 1 & \eta_i \\ -\xi_i & -\eta_i & 1 \end{bmatrix}$$

$$\underline{C}^* = \begin{bmatrix} -\sin \Phi_i \cos \Lambda_i & -\sin \Lambda_i & \cos \Phi_i \cos \Lambda_i \\ -\sin \Phi_i \sin \Lambda_i & \cos \Lambda_i & \cos \Phi_i \sin \Lambda_i \\ \cos \Phi_i & 0 & \sin \Phi_i \end{bmatrix}$$

$$e^2 = \frac{a^2 - b^2}{a^2}$$

$$\hat{e}^2 = \frac{a^2 - b^2}{b^2}$$

$$p_i = \sqrt{X_i^2 + Y_i^2}$$

$$t_i = \arctan \left\{ \frac{a Z_i}{b p_i} \right\}$$

$$N_i = \frac{a}{\sqrt{1 - e^2 \sin^2 \varphi_i}}$$

$$X_i = (N_i + h_i) \cos \varphi_i \cos \lambda_i$$

$$Y_i = (N_i + h_i) \cos \varphi_i \sin \lambda_i$$

$$Z_i = \left( \frac{b^2}{a^2} N_i + h_i \right) \sin \varphi_i$$

$$\varphi_i = \arctan \left\{ \frac{Z_i + \hat{e}^2 b \sin^3 t_i}{p_i - e^2 a \cos^3 t_i} \right\}$$

$$\lambda_i = \arctan \left\{ \frac{Y_i}{X_i} \right\}$$

$$h_i = \frac{p_i}{\cos \varphi_i} - N_i$$

**Uygulama 1:** N50 nirengi noktasının mutlak koordinatlarını belirlemek için, aşağıda numaraları ve o andaki koordinatları verilen GPS uydularından (***k=4,14,15,16,18,25***) yapılan kod (uzunluk) ölçüleri alınmıştır. Bu ölçülerin değerlendirilmesi sonunda ***i=N50*** nirengi noktasının elde edilen koordinatları da aşağıdaki tabloda verilmiştir.

| i   | X <sub>i</sub> [m] | Y <sub>i</sub> [m] | Z <sub>i</sub> [m] |
|-----|--------------------|--------------------|--------------------|
| N50 | 4104000            | 2560800            | 4144900            |

| k  | X <sub>k</sub> [m] | Y <sub>k</sub> [m] | Z <sub>k</sub> [m] |
|----|--------------------|--------------------|--------------------|
| 4  | 6681900            | -13478050          | 21984000           |
| 14 | 11869200           | 13054000           | 19823500           |
| 15 | 20828600           | 16472900           | 67400              |
| 16 | 15289550           | -3304400           | 21421100           |
| 18 | 24621050           | -6721450           | 7224450            |
| 25 | -4505750           | 15603450           | 21197400           |

1. Uyduların dağılımını gösteren Gözlem Penceresini Çiziniz.
2. N50 Noktasının ED50 ve NAD27 koordinatlarını hesaplayınız.
3. N50 noktasındaki Jeoit yüksekliği  $N_{N50}^* = 36.125\text{m}$  olduğuna göre, N50 noktasının ortometrik yüksekliğini hesaplayınız.

**1.a)** N50 noktasının jeodezik koordinatlarının ve **C** dönüşüm matrisinin hesaplanması

| NN  | $\phi$ [°] | $\lambda$ [°] | h [m]    |
|-----|------------|---------------|----------|
| N50 | 40.781607  | 31.963199     | 1241.642 |

$$\underline{C} = \begin{bmatrix} -0.55414819 & -0.52937445 & 0.64240367 \\ -0.34577551 & 0.84838829 & 0.40084486 \\ 0.75720478 & 0.00000000 & 0.65317756 \end{bmatrix}$$

**1.b)**  $\underline{R}_{ik} = \underline{R}_k - \underline{R}_i$  : Uyduların N50 noktasına göre 3D Kartezyen Koordinatlarının hesaplanması

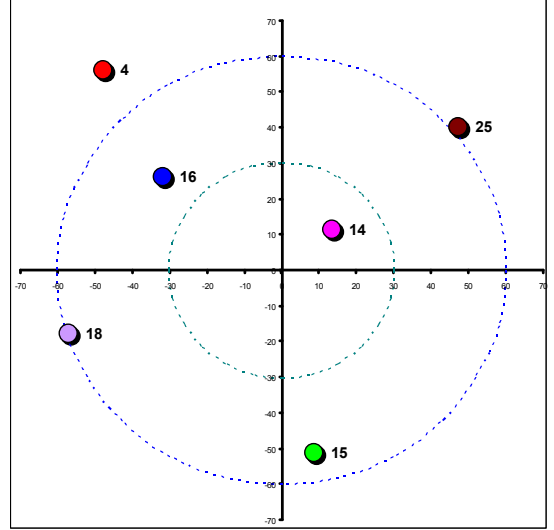
| i   | k  | $\Delta X_{ik}$ [m] | $\Delta Y_{ik}$ [m] | $\Delta Z_{ik}$ [m] |
|-----|----|---------------------|---------------------|---------------------|
| N50 | 4  | 2577900             | -16038850           | 17839100            |
|     | 14 | 7765200             | 10493200            | 15678600            |
|     | 15 | 16724600            | 13912100            | -4077500            |
|     | 16 | 11185550            | -5865200            | 17276200            |
|     | 18 | 20517050            | -9282250            | 3079550             |
|     | 25 | -8609750            | 13042650            | 17052500            |

**1.c)**  $\underline{r}_{ik} = \underline{C}^T \underline{R}_{ik}$  : Uyduların N50 noktasına göre Yerel Jeodezik Dik Koordinatlarının Hesaplanması

| i   | k  | $n_{ik}$ [m] | $e_{ik}$ [m] | $u_{ik}$ [m] |
|-----|----|--------------|--------------|--------------|
| N50 | 4  | 17625154.71  | -14971846.92 | 6879061.65   |
|     | 14 | 3940547.76   | 4791609.53   | 19435447.96  |
|     | 15 | -17165872.78 | 2949286.80   | 13657206.70  |
|     | 16 | 8911211.45   | -10897311.38 | 16119029.26  |
|     | 18 | -5828061.41  | -18736154.26 | 11470978.97  |
|     | 25 | 13173482.93  | 15623013.20  | 10835454.56  |

**1.d)  $(n, e, u)_{ik} \Rightarrow (\alpha, z, s)_{ik}$  :** Uyduların N50 noktasına göre yerel kutupsal koordinatlarının hesaplanması ve gözlem penceresinin çizilmesi.

| i   | k  | $\alpha_{ik}$ [°] | $z_{ik}$ [°] | $s_{ik}$ [m] |
|-----|----|-------------------|--------------|--------------|
| N50 | 4  | 319.653462        | 73.434220    | 24127241.20  |
|     | 14 | 50.566634         | 17.703162    | 20401570.42  |
|     | 15 | 170.251133        | 51.899535    | 22133340.82  |
|     | 16 | 309.274379        | 41.131160    | 21400565.16  |
|     | 18 | 252.721190        | 59.689111    | 22728685.29  |
|     | 25 | 49.862074         | 62.066526    | 23130634.87  |



**2) N50 noktasının ED50 koordinatlarının Hesaplanması**

$$\begin{bmatrix} X \\ Y \\ Z \end{bmatrix}_{NAD27} = \begin{bmatrix} X \\ Y \\ Z \end{bmatrix}_{WGS84} + \begin{bmatrix} -9 \\ 161 \\ 179 \end{bmatrix} [m]$$

$$\begin{bmatrix} X \\ Y \\ Z \end{bmatrix}_{ED50} = \begin{bmatrix} 0.9999988 & -7.56308e-7 & 0 \\ 7.56308e-7 & 0.9999988 & 0 \\ 0 & 0 & 0.9999988 \end{bmatrix} \left\{ \begin{bmatrix} X \\ Y \\ Z \end{bmatrix}_{WGS84} + \begin{bmatrix} 89.5002 \\ 93.8000 \\ 123.1002 \end{bmatrix} [m] \right\}$$

| NN  | $X_i$ [m]  | $Y_i$ [m]  | $Z_i$ [m]  | DATUM |
|-----|------------|------------|------------|-------|
| N50 | 4104000.00 | 2560800.00 | 4144900.00 | WGS84 |
| N50 | 4103991.00 | 2560961.00 | 4145079.00 | NAD23 |
| N50 | 4104082.64 | 2560893.83 | 4145018.13 | ED50  |

**3) N50 noktasının Ortometrik Yüksekliği**

| NN  | $\varphi$ [°] | $\lambda$ [°] | $h$ [m]  | $N^*$ [m] | $H^* = h - N^*$ [m] |
|-----|---------------|---------------|----------|-----------|---------------------|
| N50 | 40.781607     | 31.963199     | 1241.642 | 36.125    | 1205.517            |

### ÖDEV:

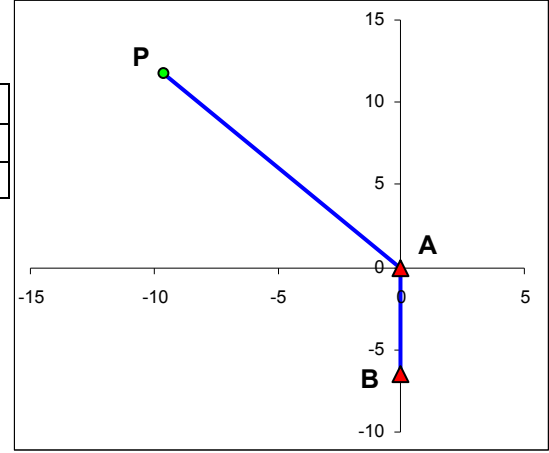
N50 noktasının; **a)** NAD23 ve ED50 datumundaki jeodezik koordinatlarını ( $\varphi, \lambda, h$ ), **b)** bütün datumlardaki jeodezik koordinatlardan ( $\varphi, \lambda, h$ ) dikkoordinatları (X,Y,Z) hesaplayarak sonuçları kontrol ediniz.

**Uygulama 2:** P noktasının ITRF koordinatlarını hesaplayabilmek için ITRF koordinatları bilinen A ve B noktalarına dayalı olarak yersel ölçüler yapılmıştır. A ve B noktalarının ITRF koordinatları ve A noktasında yapılan yatay doğrultu ( $r_{ik}$ ), refraksiyon etkisi giderilmiş ve zemine indirgenmiş düşey açı ( $z_{ik}$ ) ve bütün düzeltmeleri yapılmış eğik uzunluk ( $s_{ik}$ ) ölçüleri aşağıda verilmiştir. Verilen koordinatlar ve yersel ölçülerden yararlanarak P noktasının ITRF' deki 3B-Kartezyen koordinatlarını hesaplayınız (Referans Elipsoidi WGS84:  $a=6378137m$  ve  $b=6356752.31425m$ ).

**VERİLENLER:**

| NN | X[m]        | Y[m]        | Z[m]        |
|----|-------------|-------------|-------------|
| A  | 4189806.305 | 2412798.427 | 4146371.313 |
| B  | 4193340.253 | 2414784.805 | 4141288.477 |

| DN | BN | $r_{ik}[g]$ | $z_{ik}[g]$ | $s_{ik}[m]$ |
|----|----|-------------|-------------|-------------|
| A  | B  | 0.0000      |             |             |
|    | P  | 156.2346    | 92.6785     | 15245.674   |



**İSTENELER:**

P noktasının ITRF koordinatları

**ÇÖZÜM:**

1) A dan B ye olan koordinat farklarının hesaplanması.

$$\underline{\Delta R}_{AB} = \begin{vmatrix} \Delta X_{AB} \\ \Delta Y_{AB} \\ \Delta Z_{AB} \end{vmatrix} = \begin{vmatrix} 3533.948 \\ 1986.378 \\ -5082.836 \end{vmatrix}$$

2) A noktasının enlem ve boylamının hesaplanması.

| NN | $\phi[o]$ | $\lambda[o]$ | $h[m]$  |
|----|-----------|--------------|---------|
| A  | 40.8065   | 29.9365      | 290.000 |
| B  | 40.7480   | 29.9360      | 40.000  |

3)  $\underline{C}$  matrisinin oluşturulması.

$$\underline{C} = \begin{vmatrix} -0.5663 & -0.4990 & 0.6559 \\ -0.3261 & 0.8666 & 0.3777 \\ 0.7569 & 0.0000 & 0.6535 \end{vmatrix}$$

4) Kartezyen dik koordinatlardan başlangıcı A olan yeryüzü merkezli koordinatlara geçiş.

$$\underline{\Delta r}_{AB} = \underline{C}^T \underline{\Delta R}_{AB} = \begin{vmatrix} \Delta n_{AB} \\ \Delta e_{AB} \\ \Delta u_{AB} \end{vmatrix} = \begin{vmatrix} -6496.231 \\ -42.045 \\ -253.462 \end{vmatrix}$$

5) A merkezli koordinat sisteminde; B noktasının ve P noktasını kutupsal koordinatlarının hesaplanması.

| i | k | $\alpha_{ik}[o]$ | $z_{ik}[o]$ | $s_{ik}[m]$ |
|---|---|------------------|-------------|-------------|
| A | B | 180.3708         | 92.2340     | 6501.310    |
|   | P | 320.9819         | 83.4107     | 15245.674   |

6) P noktasının A yeryüzü merkezli dik koordinatları

$$\underline{\Delta r}_{AP} = \begin{vmatrix} \Delta n_{AP} \\ \Delta e_{AP} \\ \Delta u_{AP} \end{vmatrix} = \begin{vmatrix} 11766.842 \\ -9534.743 \\ 1749.479 \end{vmatrix}$$

7) Yeryüzü merkezli koordinatlardan yermerkezli koordinatlara dönüşüm. A ve P noktalarının ITRF bağıl koordinatlarının belirlenmesi.

$$\underline{\Delta R}_{AP} = \underline{C} \underline{\Delta r}_{AP} = \begin{bmatrix} \Delta X_{AP} \\ \Delta Y_{AP} \\ \Delta Z_{AP} \end{bmatrix} = \begin{bmatrix} -758.242 \\ -11439.198 \\ 10049.607 \end{bmatrix}$$

8) P noktasının ITRF Koordinatlarının hesaplanması.s

$$\underline{R}_P = \underline{R}_A + \underline{\Delta R}_{AP} = \begin{bmatrix} X_P \\ Y_P \\ Z_P \end{bmatrix} = \begin{bmatrix} 4189048.063 \\ 2401359.229 \\ 6397323.666 \end{bmatrix}$$

**Uygulama 3:**  $\underline{A} = P_1 R_2(60^\circ) R_1(54^\circ) R_3(-45^\circ) P_2$  olduğuna göre ortogonal dönüşüm matrisini  $\underline{A}'$ yi hesaplayınız.

$$w_1 = 54$$

$$w_2 = 60$$

$$w_3 = -45$$

$$P_1 = \begin{bmatrix} -1 & 0 & 0 \\ 0 & 1 & 0 \\ 0 & 0 & 1 \end{bmatrix}$$

$$R_3(-w_3) = \begin{bmatrix} 0.7071 & -0.7071 & 0 \\ 0.7071 & 0.7071 & 0 \\ 0 & 0 & 1 \end{bmatrix}$$

$$R_2(w_2) = \begin{bmatrix} 0.5000 & 0 & -0.8660 \\ 0 & 1 & 0 \\ 0.8660 & 0 & 0.5000 \end{bmatrix}$$

$$P_2 = \begin{bmatrix} 1 & 0 & 0 \\ 0 & -1 & 0 \\ 0 & 0 & 1 \end{bmatrix}$$

$$R_1(w_1) = \begin{bmatrix} 1 & 0 & 0 \\ 0 & 0.5878 & 0.8090 \\ 0 & -0.8090 & 0.5878 \end{bmatrix}$$

$$\underline{A} = \begin{bmatrix} -0.8489 & 0.1418 & 0.5090 \\ 0.4156 & -0.4156 & 0.8090 \\ 0.3263 & 0.8984 & 0.2939 \end{bmatrix}$$

**Uygulama 4:** Astronomik ve jeodezik eğrisel koordinatları bilinen **A** noktasındaki kutupsal koordinatları ( $\alpha_{AB}^*$ ,  $z_{AB}^*$ ,  $s_{AB}$ ) olarak belirlenmiş olan **B** noktasının; **(a)** jeodezik 3B-kartezyen ( $X_B, Y_B, Z_B$ ) koordinatlarını, **(b)** Çekül sapmaları dikkate alınmaz ise **B** noktasının jeodezik koordinatlarında yapılacak hatatayı, hesaplayınız.

| NN | $\varphi$ [g] | $\lambda$ [g] | $h$ [m]   | i | k | $\alpha_{ik}^*$ [g] | $z_{ik}^*$ [g] | $s_{ik}$ [m] |
|----|---------------|---------------|-----------|---|---|---------------------|----------------|--------------|
| A  | 40.00000      | 30.00000      | 1000.00   | A | B | 65.00000            | 98.00000       | 25000.000    |
| NN | $\Phi$ [g]    | $\Lambda$ [g] | $H^*$ [m] |   |   |                     |                |              |
| A  | 40.00005      | 30.00006      | 970.000   |   |   |                     |                |              |

### Çözüm:

**(a)**  $X_B, Y_B, Z_B$

| i | $X_i$ [m]    | $Y_i$ [m]    | $Z_i$ [m]    | $N_i$ [m]    |
|---|--------------|--------------|--------------|--------------|
| A | 4603659.4541 | 2345681.6527 | 3728779.4611 | 6385525.6607 |

| i | k | $n_{ik}^*$ [m] | $e_{ik}^*$ [m] | $u_{ik}^*$ [m] |
|---|---|----------------|----------------|----------------|
| A | B | 13056.0186     | 21305.4859     | 785.2690       |

|       | $\xi_i = \Phi - \varphi$ | $\eta_i = (\Lambda - \lambda) \cos \Phi$ | $\delta_i = (\Lambda - \lambda) \sin \Phi$ |
|-------|--------------------------|--|--|
| [cc]  | 0.5000                   | 0.4854                                   | 0.3857                                     |
| [rad] | 7.85E-07                 | 7.62E-07                                 | 6.06E-07                                   |

$$\underline{D}_i = \begin{vmatrix} 1 & 6.06E-07 & 7.85E-07 \\ -6.06E-07 & 1 & 7.62E-07 \\ -7.85E-07 & -7.62E-07 & 1 \end{vmatrix}$$

$$\underline{n}_{ik} = \underline{D}_i \underline{n}_{ik}^*$$

| i | k | $n_{ik}$ [m] | $e_{ik}$ [m] | $u_{ik}$ [m] |
|---|---|--------------|--------------|--------------|
| A | B | 13056.0321   | 21305.4786   | 785.2425     |

$$\underline{C}_i = \begin{vmatrix} -0.523720 & -0.453990 & 0.720839 \\ -0.266849 & 0.891007 & 0.367286 \\ 0.809017 & 0.000000 & 0.587785 \end{vmatrix}$$

$$\underline{\Delta X}_{ik} = \underline{C}_i \underline{n}_{ik}$$

| i | k | $\Delta X$ [m] | $\Delta Y$ [m] | $\Delta Z$ [m] |
|---|---|----------------|----------------|----------------|
| A | B | -15944.1628    | 15787.7410     | 11024.1058     |

| k | $X_k$ [m]    | $Y_k$ [m]    | $Z_k$ [m]    | $S_k$ [m]    |
|---|--------------|--------------|--------------|--------------|
| B | 4587715.2914 | 2361469.3937 | 3739803.5669 | 6372581.8952 |

**(b)**  $dX_B, dY_B, dZ_B$

| i | k | $n_{ik}$ [m] | $e_{ik}$ [m] | $u_{ik}$ [m] |
|---|---|--------------|--------------|--------------|
| A | B | 13056.0186   | 21305.4859   | 785.2690     |

| i | k | $dn_{ik}$ [m] | $de_{ik}$ [m] | $du_{ik}$ [m] |
|---|---|---------------|---------------|---------------|
| A | B | 0.0135        | -0.0073       | -0.0265       |

| i | k | $\Delta X'$ [m] | $\Delta Y'$ [m] | $\Delta Z'$ [m] |
|---|---|-----------------|-----------------|-----------------|
| A | B | -15944.1399     | 15787.7608      | 11024.1104      |

| k | $X'$ [m]     | $Y'$ [m]     | $Z'$ [m]     | $S'$ [m]     |
|---|--------------|--------------|--------------|--------------|
| B | 4587715.3142 | 2361469.4135 | 3739803.5715 | 6372581.9217 |

| k | $dX = X - X'$ [m] | $dY = Y - Y'$ [m] | $dZ = Z - Z'$ [m] | $dS = S - S'$ [m] |
|---|-------------------|-------------------|-------------------|-------------------|
| B | -0.0229           | -0.0199           | -0.0046           | -0.0265           |

**Uygulama 5:** Bir yerel datumundan WGS84 datumuna dönüşüm bağıntıları bilindiğine göre, WGS84'de verilmiş olan  $(\phi, \lambda, h) = (45^\circ, 54^\circ, 345\text{m})$  jeodezik koordinatlarını yerel datuma dönüştürünüz.

$$\alpha = 54'' = 0.000262^{\text{rad}}$$

$$k = 1 + 50\text{ppm} = 1 + 5e-5 = 1.000050$$

$$\begin{bmatrix} X \\ Y \\ Z \end{bmatrix}_{\text{WGS84}} = \begin{bmatrix} -90 \\ -100 \\ -125 \end{bmatrix}^{\text{[m]}} + k \begin{bmatrix} 1 & \alpha & 0 \\ -\alpha & 1 & 0 \\ 0 & 0 & 1 \end{bmatrix} \begin{bmatrix} X \\ Y \\ Z \end{bmatrix}_{\text{YEREL}}$$

**Çözüm:**

$$\underline{X}_{\text{WGS}} = \begin{bmatrix} 2655516.75 \\ 3655005.25 \\ 4487592.03 \end{bmatrix}_{\text{WGS84}}$$

$$\underline{I} = \begin{bmatrix} -90 \\ -100 \\ -125 \end{bmatrix} \quad \underline{D} = \begin{bmatrix} 1 & 0.000262 & 0 \\ -0.000262 & 1 & 0 \\ 0 & 0 & 1 \end{bmatrix}$$

$$k \underline{D} = \begin{bmatrix} 1.000050 & 0.000262 & 0 \\ -0.000262 & 1.000050 & 0 \\ 0 & 0 & 1.000050 \end{bmatrix}$$

$$1/k \underline{D}^T = \begin{bmatrix} 0.999950 & -0.000262 & 0 \\ 0.000262 & 0.999950 & 0 \\ 0 & 0 & 0.999950 \end{bmatrix}$$

$$\underline{X}_{\text{WGS}} - \underline{I} = \begin{bmatrix} 2655606.75 \\ 3655105.25 \\ 4487717.03 \end{bmatrix}$$

$$\underline{X}_{\text{YEREL}} = 1/k \underline{D}^T (\underline{X}_{\text{WGS}} - \underline{I}) = \begin{bmatrix} 2654516.25 \\ 3655617.95 \\ 4487492.66 \end{bmatrix}$$



## 4. Uluslararası Yer Dönme ve Referans Sistemleri Servisi, IERS

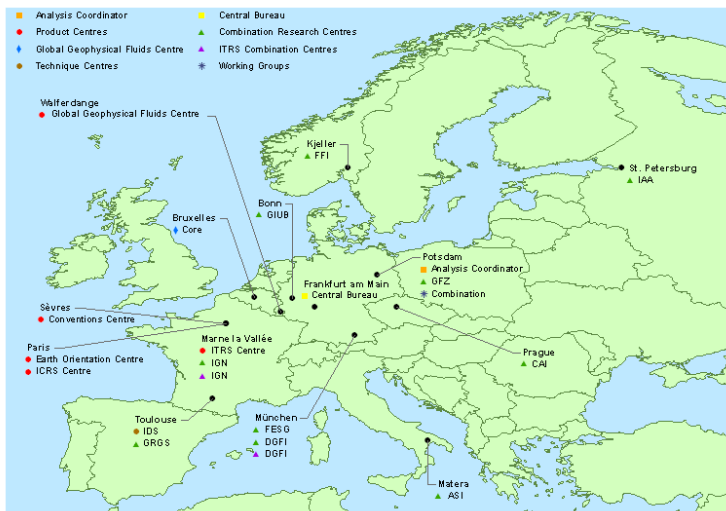
Koordinat sistemlerinin izlenmesinden sorumlu olan IERS (International Earth Rotation ve Reference Systems Service) nin kısa tarihçesi aşağıda verilmiştir.

### 4.1. Prehistory of the IERS, up to 1986

- Presesyon antik çağlardan beri bilinmektedir
- Ms.1543: kendi eksenini etrafında dönen Dünya Kopernikyen dünya sisteminin parçasıdır
- 1744: nutasyon James Bradley tarafından keşfedilmiştir
- 1765: kutup gezinmesi Leonhard Euler tarafından ön görülmüştür
- 1890larda: kutup gezinmesi için gözlemler sonuçlandırılmıştır (Friedrich Küstner, Seth Chandler)
- 1895: Uluslararası Enlem Servisi (ILS, International Latitude Service) kuruldu
- 1899: ILS düzenli görevine başladı
- 1919: Uluslararası Saat Bürosu (BIH, Bureau International de l'Heure) kuruldu
- BIH'e Evrensel Zamanın (UT, Universal Time) koordinasyonu sorumluluğu verildi
- 1955: BIH tarafından kurulan hızlı servis SIR (Service International Rapid), kendi kutup gezinmesi parametrelerini belirleme de yaptı
- 1962: ILS yerine Uluslar Arası Kutup Gezinmesi servisi kuruldu (IPMS, International Polar Motion Service), bu servisle birlikte bağımsız istasyonlar oluşturuldu
- 1980lerde: MERIT (Monitor Earth Rotation and Intercompare the Techniques of observation and analysis) projesi hayata geçirildi
- 1986: Bir MERIT çalıştayında, Yeni bir Uluslar Arası Yer Dönme Servisi (IERS, International Earth Rotation Service) nin kurulması önerildi ve hazırlıkları yapıldı



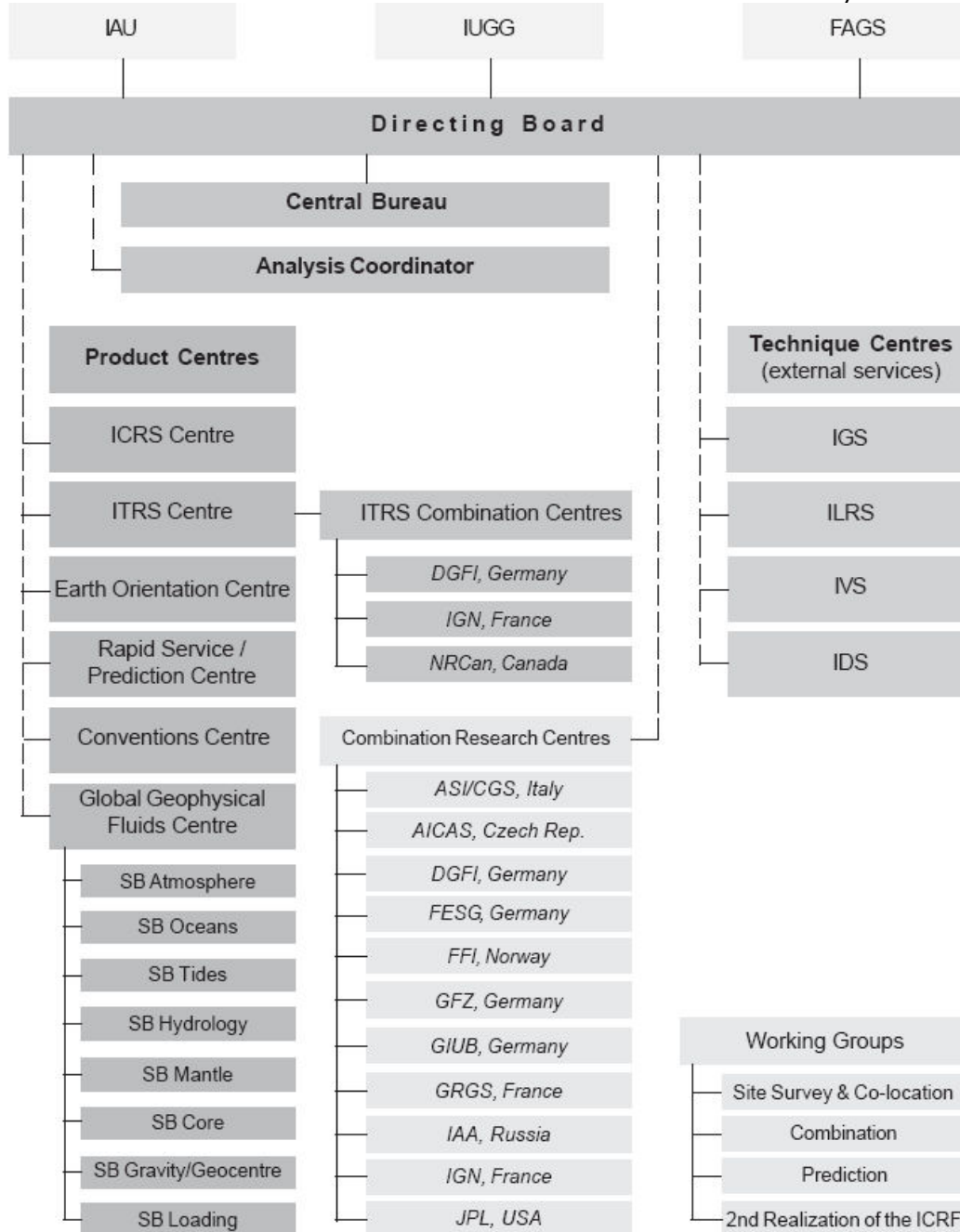
Şekil IERS'nin Alt Birimlerin Dünyaki Organizasyon Şeması



Şekil IERS'nin Alt Birimlerin Avrupadaki Organizasyon Şeması

## 4.2. History of the IERS, 1988 to 2003

- 1987: International Earth Rotation Service (IERS) founded by the International Astronomical Union and the International Union of Geodesy and Geophysics, to replace the IPMS and the Earth Rotation Section of the BIH. In difference to the IPMS, IERS included also a responsibility for celestial and terrestrial reference systems. Activities of BIH on time are continued at the Bureau International des Poids et Mesures (BIPM).
- 1988, Jan. 1: IERS began operation with the following components: Central Bureau with Terrestrial Frame Section, Earth Orientation Section, Celestial Frame Section, and Rapid Service Sub-bureau (later: Sub-bureau for Rapid Service and Predictions), as well as VLBI, LLR, and SLR Coordinating Centres
- 1989, March: Sub-bureau for Atmospheric Angular Momentum established
- 1990, Jan. 1: GPS Coordinating Centre established
- 1994, Oct. 1: DORIS Coordinating Centre established
- 1998, Jan. 1: GGF [1998: MGGF] Coordinating Centre established, replacing the Sub-bureau for Atmospheric Angular Momentum
- 2001, Jan. 1: new structure of IERS
- 2003: IERS renamed to International Earth Rotation and Reference Systems Service



Şekil IERS'nin Yapısı

## The International Celestial Reference System (ICRS)

At its 23rd General Assembly in August 1997, the International Astronomical Union (IAU) decided that, **as from 1 January 1998, the IAU celestial reference system shall be the International Celestial Reference System (ICRS)**, in replacement of the FK5 (Fricke et al. 1988). The consequences of this new situation for accuracy needs more stringent than 0.05" are summarized by Feissel and Mignard (1997).

By Reference System it is meant the set of prescriptions and conventions together with the modeling required to define at any time a triad of axes.

The ICRS is accessible by means of coordinates of reference extragalactic radio sources, the

### 4.3. International Celestial Reference Frame (ICRF).

The ICRS complies with the conditions specified by the [1991 IAU Recommendations](#). Its **origin** is located at the barycenter of the solar system through appropriate modelling of [VLBI](#) observations in the framework of General Relativity. Its **pole** is in the direction defined by the conventional IAU models for precession (Lieske et al., 1977) and nutation (Seidelmann, 1982). Its **origin of right ascensions** was implicitly defined by fixing the right ascension of 3C 273B to the Hazard et al. (1971) FK5 value transferred at J2000.0. See Arias et al. (1995) for more details.

The **Hipparcos** star positions and proper motions and the **JPL Solar System ephemerides** are expressed in the ICRS.

The directions of the ICRS pole and right ascensions origin are maintained fixed relative to the quasars within +/- 20 microarcseconds. Thanks to the fact that the Hipparcos catalogue includes all the FK5 stars, the location of the FK5 pole and right ascensions origin is known with an uncertainty of a few mas (Mignard and Froeschlé 1997). Using a state of the art precession-nutation model, the analysis of long VLBI series of the observed motion of the celestial pole allows to derive the coordinates of the mean pole at J2000.0 in the ICRS: 17.3 +/- 0.2 mas in the direction 12 h and 5.1 +/- 0.2 mas in the direction 18 h. (IERS 1997). Comparing VLBI and LLR earth orientation and terrestrial reference frames, Folkner et al. (1994) estimated the frame tie between the IERS celestial system and the JPL planetary ephemeris, and concluded that the mean equinox of J2000.0 is shifted from the ICRS right ascension origin by 78 +/- 10 mas (direct rotation around the polar axis).

The ICRS is realized by VLBI estimates of equatorial coordinates of a set of extragalactic compact radio sources, the **International Celestial Reference Frame (ICRF)**.

The ICRS can be connected to the **International Terrestrial Reference System (ITRS)** by use of the **IERS Earth Orientation Parameters (EOP)**.

The International Terrestrial Reference System (ITRS)

The ITRS definition fulfills the following conditions:

1. It is *geocentric*, the center of mass being defined for the whole earth, including oceans and atmosphere.
2. The *unit of length* is the *metre* (SI). This scale is consistent with the TCG Time Coordinate for a Geocentric local frame, in agreement with IAU and IUGG (1991) resolutions. This is obtained by appropriate relativistic modelling.
3. Its orientation was initially given by the BIH orientation at 1984.0.
4. The *time evolution of the orientation* is ensured by using a *no-net-rotation condition* with regards to horizontal tectonic motions over the whole earth.

See the [IERS Conventions \(2003\)](#), especially [Chapter 4](#), for a detailed description of the ITRS.

The ITRS is realized by estimates of the *coordinates and velocities* of a set of stations observed by VLBI, LLR, GPS, SLR, and DORIS. Its name is International Terrestrial Reference Frame ([ITRF](#)).

General documentation on terrestrial reference systems and frames is available at the [ITRS Centre](#) of the IERS.

The ITRS can be connected to the *International Celestial Reference System* ([ICRS](#)) by use of the IERS *Earth Orientation Parameters* ([EOP](#)).

#### The Earth Orientation Parameters

The IERS Earth Orientation Parameters (EOP) describe the irregularities of the earth's rotation. Technically, they are the parameters which provide the rotation of the [ITRS](#) to the [ICRS](#) as a function of time.

[Universal time.](#) Universal time (UT1) is the time of the earth clock, which performs one revolution in about 24h. It is practically proportional to the sidereal time. The excess revolution time is called length of day (LOD).

[Coordinates of the pole.](#) x and y are the coordinates of the Celestial Ephemeris Pole (CEP) relative to the IRP, the IERS Reference Pole. The CEP differs from the instantaneous rotation axis by quasi-diurnal terms with amplitudes under 0.01" (see Seidelmann, 1982). The x-axis is in the direction of IRM, the IERS Reference Meridian; the y-axis is in the direction 90 degrees West longitude.

[Celestial pole offsets.](#) Celestial pole offsets are described in the IAU Precession and Nutation models. The observed differences with respect to the conventional celestial pole position defined by the models are monitored and reported by the IERS.

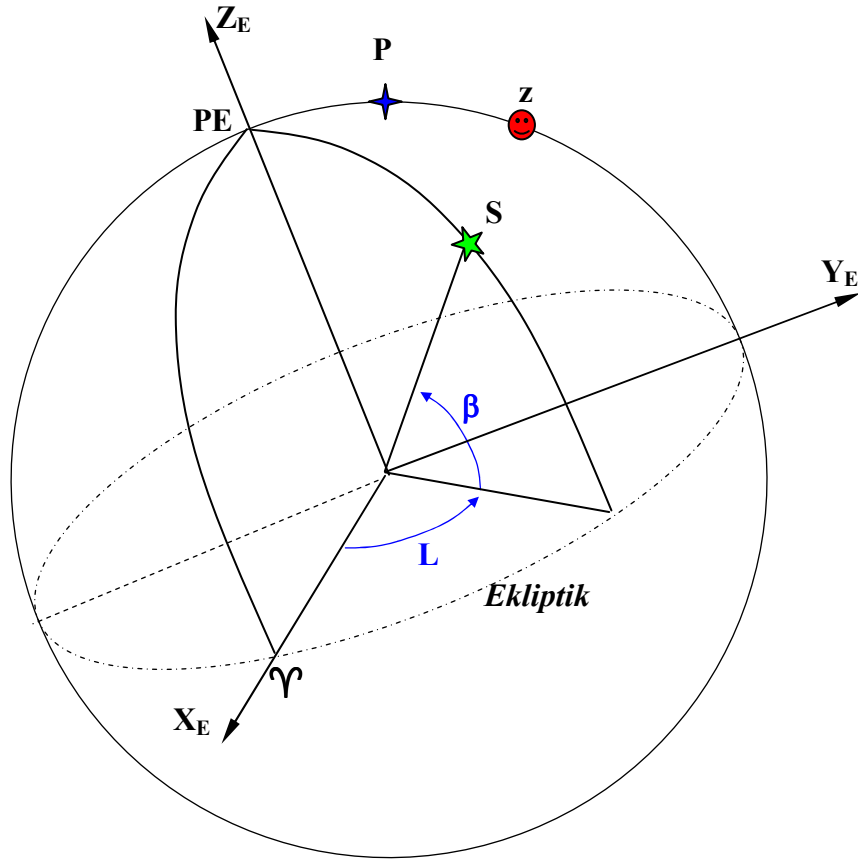
## 5. GÖKSEL KOORDİNAT SİSTEMLERİ (H)

### 5.1. Göksel Epliptik Sistemi (E)

- Başlangıcı** : Güneşin ağırlık merkezi yakın( H ).  
**Birinci kutup** : Göksel ekliptik kutpu ( CEP, Celestial Ecliptic Pole ).  
**Birinci düzlem** : Ekliptik düzlemi.  
**İkinci düzlem** : Bahar noktası düzlemi ( $\Upsilon$ ) { Bahar noktası (21 Mart) ile CEP oluşturduğu düzlem}.  
**İkinci Kutup** : Bahar noktası ve ekliptik düzlemlerinin arakesiti.  
**Birinci Eksen** : Bahar noktası ve ekliptik düzlemlerinin arakesiti.  
**Üçüncü Eksen** : CEP.  
**İkinci Eksen** : SAĞ-EL sistemi.

**AD:** Ekliptik Dairesi

**BD:** İlkbahar Noktası ( $\Upsilon$ ) Ekliptik



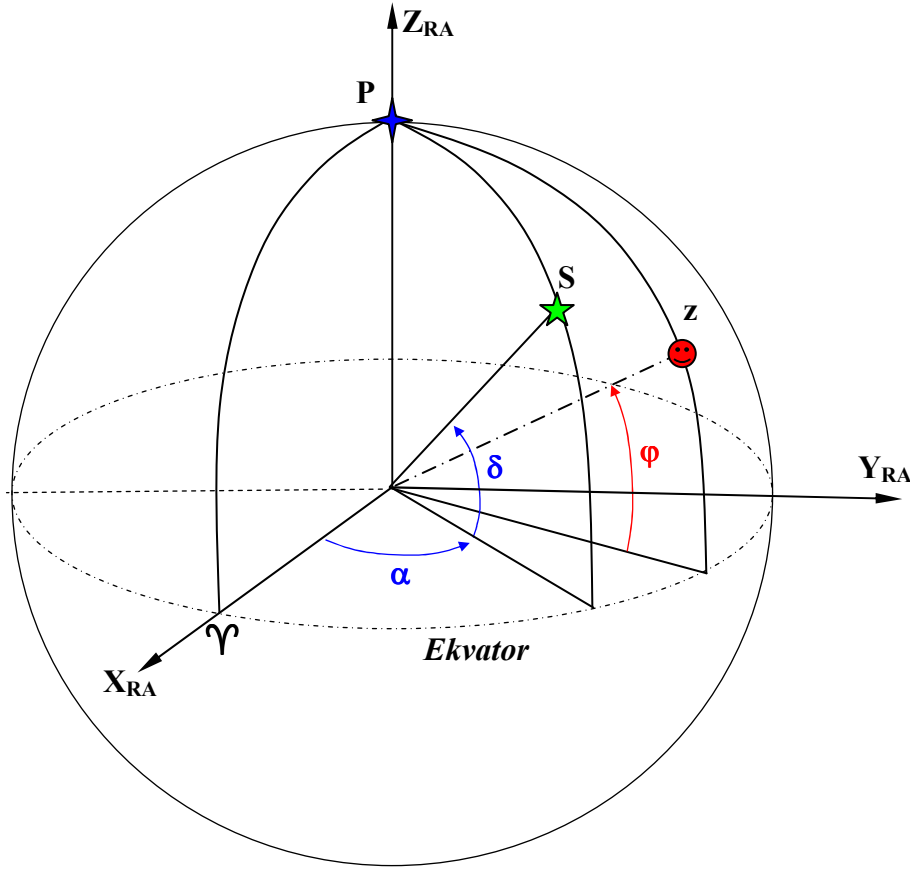
$$\begin{aligned} -90^\circ < \beta < 90^\circ \\ 0^\circ < L < 360^\circ \end{aligned}$$

## 5.2. Göksel Açılım Sistemi (RA) (II. Ekvator Sistemi)

|                       |   |
|-----------------------|---|
| <b>Başlangıcı</b>     | : Güneşin ağırlık merkezi yakın( H ).   |
| <b>Birinci kutup</b>  | : Yerin dönme eksenini doğrultusu ( //CIO ).  |
| <b>Birinci düzlem</b> | : Ekvator düzlemi.  |
| <b>İkinci düzlem</b>  | : Bahar noktası düzlemi ( $\Upsilon$ ) { Bahar noktası (21 Mart) ile CEP oluşturduğu düzlem}. |
| <b>İkinci Kutup</b>   | : Bahar noktası ve ekvator düzlemlerinin arakesiti.   |
| <b>Birinci Eksen</b>  | : Bahar noktası ve ekvator düzlemlerinin arakesiti.   |
| <b>Üçüncü Eksen</b>   | : CIO.  |
| <b>İkinci Eksen</b>   | : SAĞ-EL sistemi.   |

**AD:** Ekvator Dairesi

**BD:** İlkbahar Noktası ( $\Upsilon$ ) Ekliptik



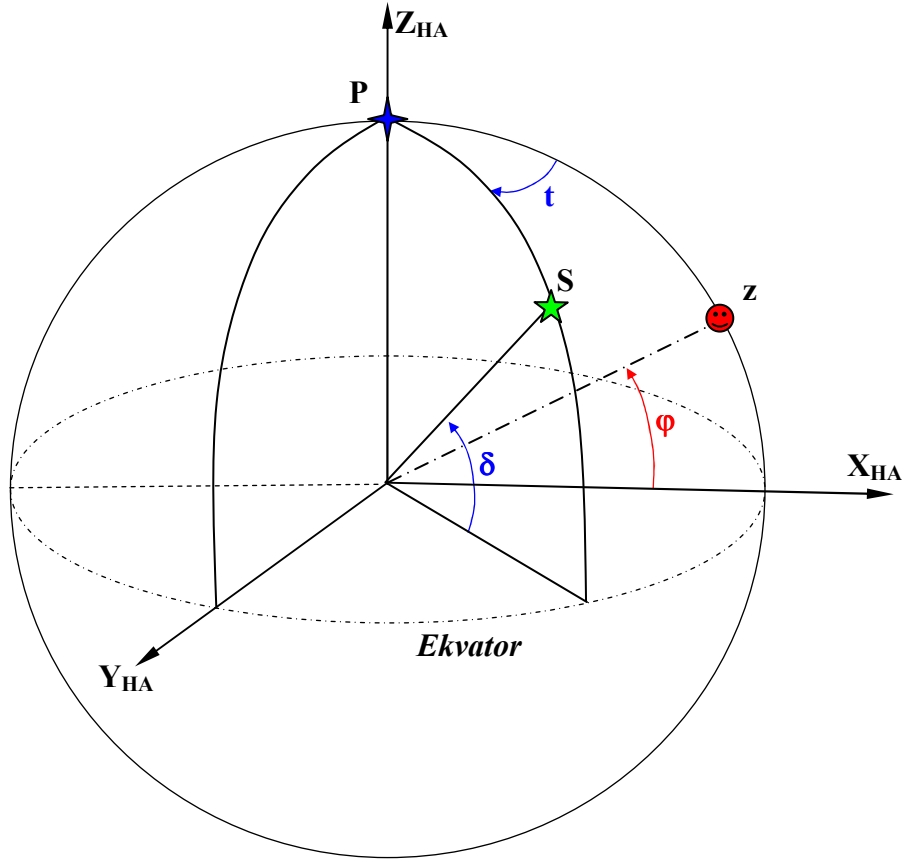
$$\begin{aligned} -90^\circ < \delta = 90^\circ - p < 90^\circ \\ 0^h(0^\circ) < \alpha < 24^h(360^\circ) \end{aligned}$$

### 5.3. Göksel Saat Açısı Sistemi (HA) (I. Ekvator Sistemi)

- Başlangıcı** : Güneşin ağırlık merkezi yakın( H ).  
**Birinci kutup** : Yerin dönme eksenini doğrultusu ( //CIO ).  
**Birinci düzlem** : Ekvator düzlemi.  
**İkinci düzlem** : Göksel Meridyen; çekül doğrultusu ve yerin dönme eksenini içinde bulunduran düzlem.  
**İkinci Kutup** : Göksel Meridyen ve ekvator düzlemlerinin arakesiti.  
**Birinci Eksen** : Göksel Meridyen ve ekvator düzlemlerinin arakesiti.  
**Üçüncü Eksen** : CIO.  
**İkinci Eksen** : SOL–EL sistemi.

**AD:** Ekvator Dairesi

**BD:** Gözlemcinin Meridyeni Boylamı



$$-90^\circ < \delta = 90^\circ - p < 90^\circ$$

$$0^h (0^\circ) < t < 24^h (360^\circ)$$

**Not:** Gözlemciye Bağlı Koordinat Sistemleri





## 5.5. Göksel Koordinat Sistemleri Arasındaki İlişkiler

### 5.5.1. Rektasezyon (RA), Ortalama Yersel (CT) ve Saat Açısı (HA) Sistemleri Arasındaki İlişki

Şu ana kadar gök küre üzerinde 4 adet meridyen tanımlanmıştır. Bunlar;

- Bahar (vernal equinox) nokatsını içeren, gece ve gündüzün eşit olduğu meridyen (equinoctial colure),
- Greenwich Merididye
- Gözlemcinin bulunduğu noktayı içeren Göksel Meridyen (Celestial Meridian)
- Yıldızı içine alan saat dairesi (Hour Circle)

dir. Bunlar arasındaki ilişki aşağıdaki gösterilmiştir.

Saat ibresi tersi yönünde olmak üzere Bahar Noktası ( $\Upsilon$ )'ndan;

a) Greenwich meridyenine doğru oluşan açı: Greenwich Yıldız Zamanı (GST, Greenwich Sideral Time)

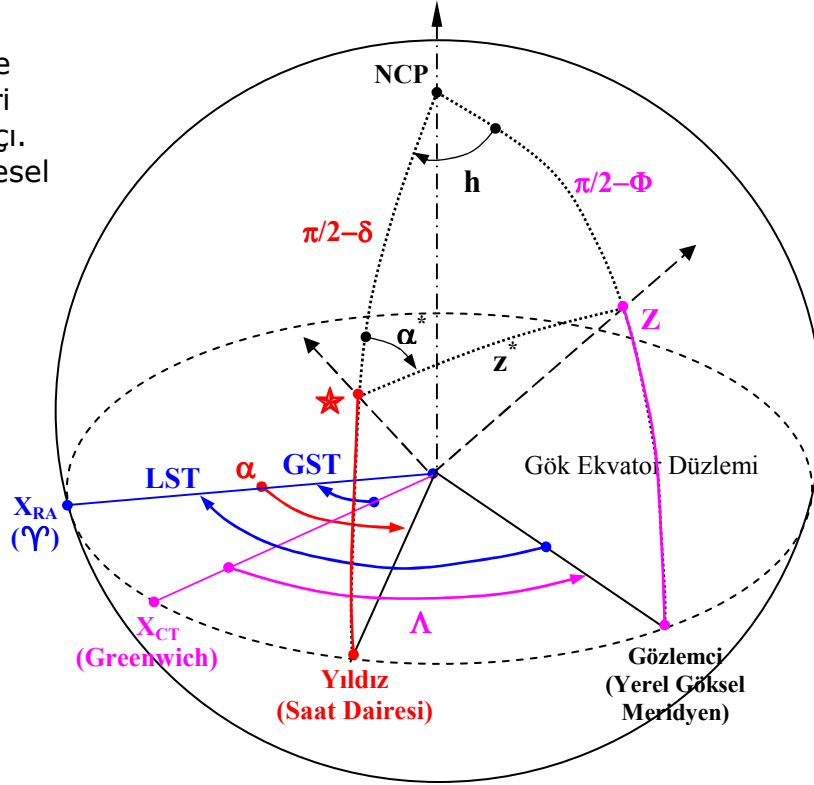
b) Göksel meridyene doğru oluşan açı: Yerel Yıldız Zamanı (LST, Local Sideral Time)

c) Saat dairesine doğru oluşan açı: Rektasezyon ya da Sağ açılım açısı ( $\alpha$ , Right Acsension)

Saat ibresi tersi yönünde olmak üzere Greenwich meridyeninden göksel meridyene doğru oluşan açı astronomik boylam ( $\Lambda$ ).

Saat ibresi yönünde olmak üzere göksel meridyenden saat dairesine doğru oluşan açı astronomik boylam ( $h$ ) (Krakiwsky and Wells, 1971).

$\alpha, \delta$  : Yılızın RA sisteminde verilen konum bilgileri  
 $z^*$  : Ölçülebilen düşey açı.  
 $\alpha^*$  : Yıldız-Gözlemci küresel kenarının azimutu.



Şekil-1 Zaman, boylam ve RA sistemi arasındaki ilişki.

$$LST = GST + \Lambda$$

$$LST = h + \alpha$$

$$h = GST + \Lambda - \alpha$$

Saat açısı (HA) system ile Rektasezyon sistemi arasındaki ilişki yerel yıldız zamanı (LST) ile aşağıdaki şekilde kurulur.

$$\begin{bmatrix} X \\ Y \\ Z \end{bmatrix}_{HA} = \underline{P}_2 \underline{R}_3(LST) \begin{bmatrix} X \\ Y \\ Z \end{bmatrix}_{RA}$$

### 5.5.2. Ufuk (H) ve Saat Açısı (HA) Sistemleri Arasındaki İlişki

Ufuk sistemi ile saat açısı sistemi arasındaki ilişki, astronomik enlem ( $\Phi$ ) ile gerçekleştirilir (Krakiwsky and Wells, 1971).

$$\begin{bmatrix} X \\ Y \\ Z \end{bmatrix}_H = \underline{R}_3(\pi) \underline{R}_3(\pi/2 - \Phi) \begin{bmatrix} X \\ Y \\ Z \end{bmatrix}_{HA}$$

### 5.5.3. Rektesezyon (RA) Sistemindeki Değişimler

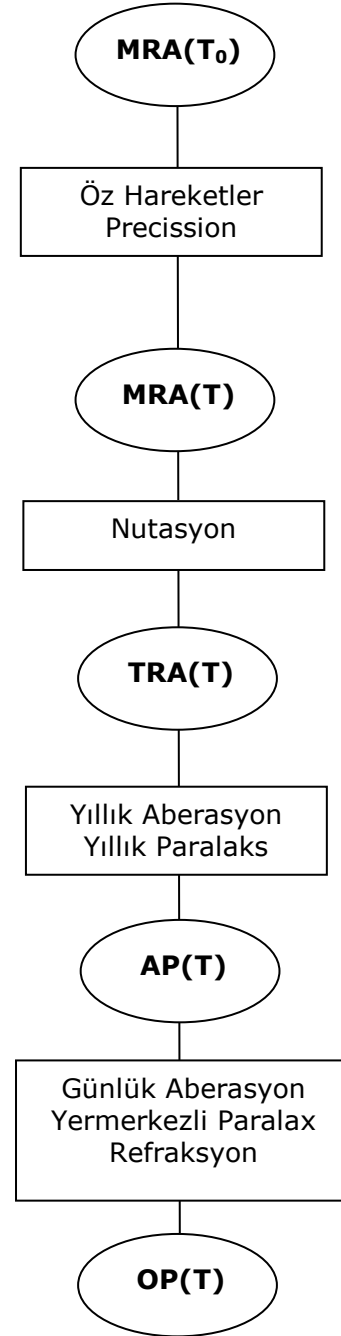
Gök küresi ile yakışımıyla duyarlı çalışma yapılırken bazı düzeltmelere ihtiyaç duyulur. Bunlar;

- öz hareketler (proper motion),
- presisyon (precession),
- nutasyon (nutation),
- aberasyon (aberration),
- paralaks (parallax)
- refraksyon (refraction).

düzeltilmeleridir. Bu düzeltmeler; gözlemin yapıldığı T anındaki (T anındaki gözlem yeri sistemi olarak adlandırılan) sistem ile en mutlak rektasezyon sistemi olan (standart  $T_0$  anındaki Ortalama Göksel Sistem olarak adlandırılan) sistem arasında 4 aşamada uygulanır. Bu aşamalar oluşan sırasında oluşan yeni koordinat sistemleri aşağıdaki şekilde isimlendirilir.

- a)  $T_0$  anındaki Ortalama Göksel Sistem,  $MRA(T_0)$
- b) T anındaki Ortalama Göksel Sistem,  $MRA(T)$
- c) T anındaki Gerçek Göksel Sistem,  $TRA(T)$
- d) T anındaki Görünen Yer Sistemi (Apparent Place System at epoch T)  $AP(T)$
- e) T anındaki Gözlem Yer Sistemi (Observed Place System at epoch T)  $OP(T)$

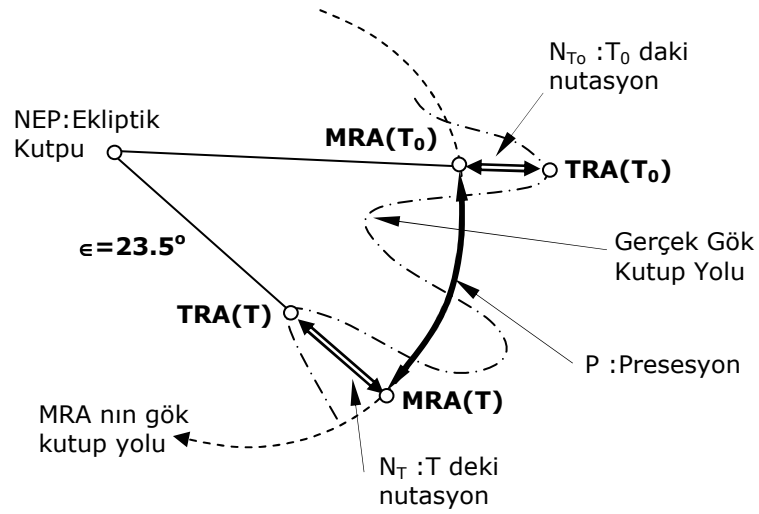
Bu 5 sistem arasındaki bağlantı aşağıdaki şekilde gösterilmiştir. Bu koordinat sistemlerinin ilk üç tanesi koordinat sistemlerini hareketleri ile ilişkili, son iki tanesi ise gök cisminin konumunun değişmesine neden olan fiziksel etkiler ile ilişkilidir (Krakiwsky and Wells, 1971).



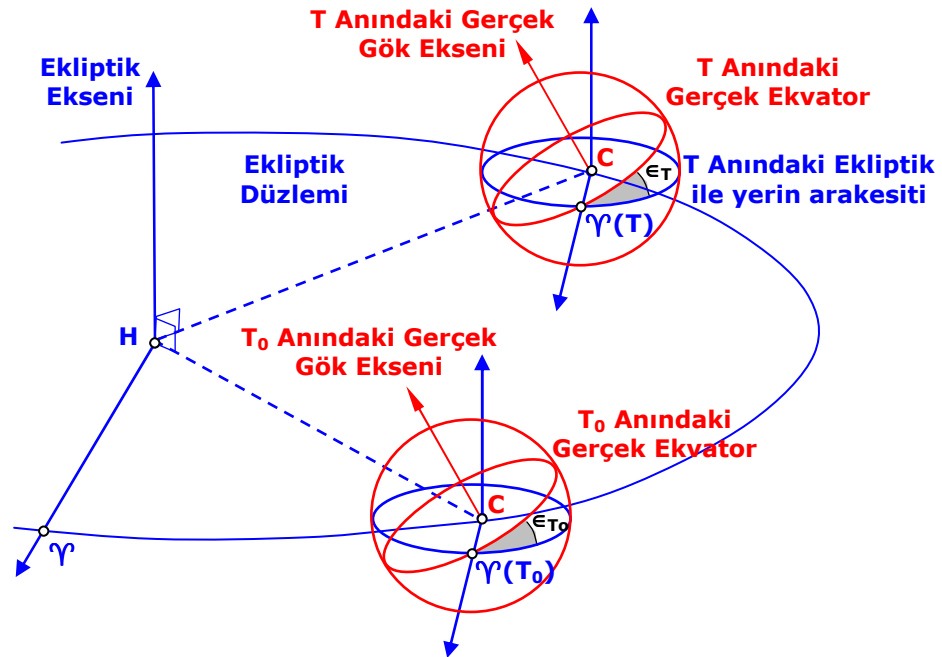
### a) Presesyon ve Nutasyon

Yer küre tam bir küre değildir. Güneşin, ayın ve diğer gezegenlerin çekim etkilerinden dolayı ekvordan bögesinden simetrik olmayan bir şişikliğe sahiptir. Bu durum yerin dönme eksenini; 25800 yıllık bir periyotla kuzey ekliptik kutbunun etrafında genliği ekliptik eğikliğine eşit olan ( $\sim 23,5^\circ$ ) bir hareket yapar. Bu hareket presesyon olarak adlandırılır ve topaç hareketine benzer bir hareket yapar.

Yerin yörüngesinin dairesel olmaması ve ayın yörünge düzlemi ile eplik düzleminin çakışmaması ve dairesel olmaması nedeni ile, presesyon hareketi tek başına düzenli bir hareket değildir. Bu durumun bir sonucu olarak ayın ve güneşin konfigürasyonlarına göre sabit olarak değişim gösteren bu etkileri presesyon hareketine eklenir. Presesyondaki düzensizlikler nutasyon olarak adlandırılır. Nutasyonun kutup üzerindeki etkisi 18.6 yıllık periyotlar halinde süregelir ve maksimum genliği  $9''$  dir. Gezegenlerin değişen konfigürasyonlarından kaynaklanan düzensizlikler gezegen presesyonu (planetary precession) olarak isimlendirilir ve eplik düzlem üzerindeki etkiler oldukça küçüktür.



Şekil-2 Gök Kutbunun Hareketleri



Şekil-3 Presesyon ve nutasyon etkisi

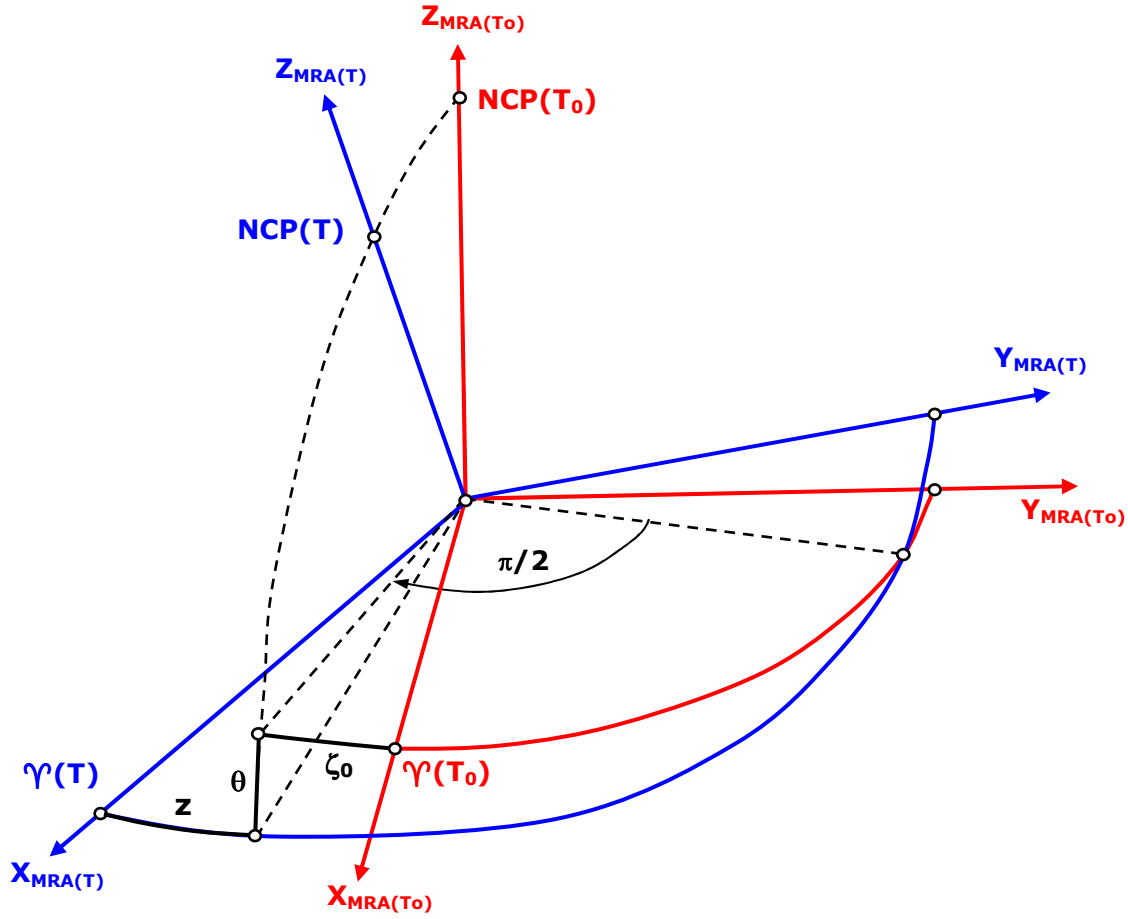
#### 5.5.4. Ortalama Göksel Sistemler MRA(T)

Bu koordinat sisteminin birinci kutbu; presesyon düzeltmesi getirilmiş yerin dönme eksenini doğrultusudur ve Ortalama Gök Kutbu ( ~//CIO ) olarak adlandırılır. Diğer tanımlar bu kutuba bağlı olarak değişir.

Ortalama sistem değişken olduğundan  $\alpha, \delta$  koordinatları zaman içerisinde değişir. Belirli bir an başlangıç anı ( $T_0$ ) olarak seçilir ve gök cisimlerinin konumları bu sisteme göre belirlenir.  $T_0$  anından T anına geçiş, presesyon elmanlarından ( $\zeta_0, \theta, z$ ) yararlanarak yapılır.

$$\begin{bmatrix} X \\ Y \\ Z \end{bmatrix}_{MRA(T)} = \underline{R}_3(-z) \underline{R}_2(\theta) \underline{R}_3(-\zeta_0) \begin{bmatrix} X \\ Y \\ Z \end{bmatrix}_{MRA(T_0)}$$

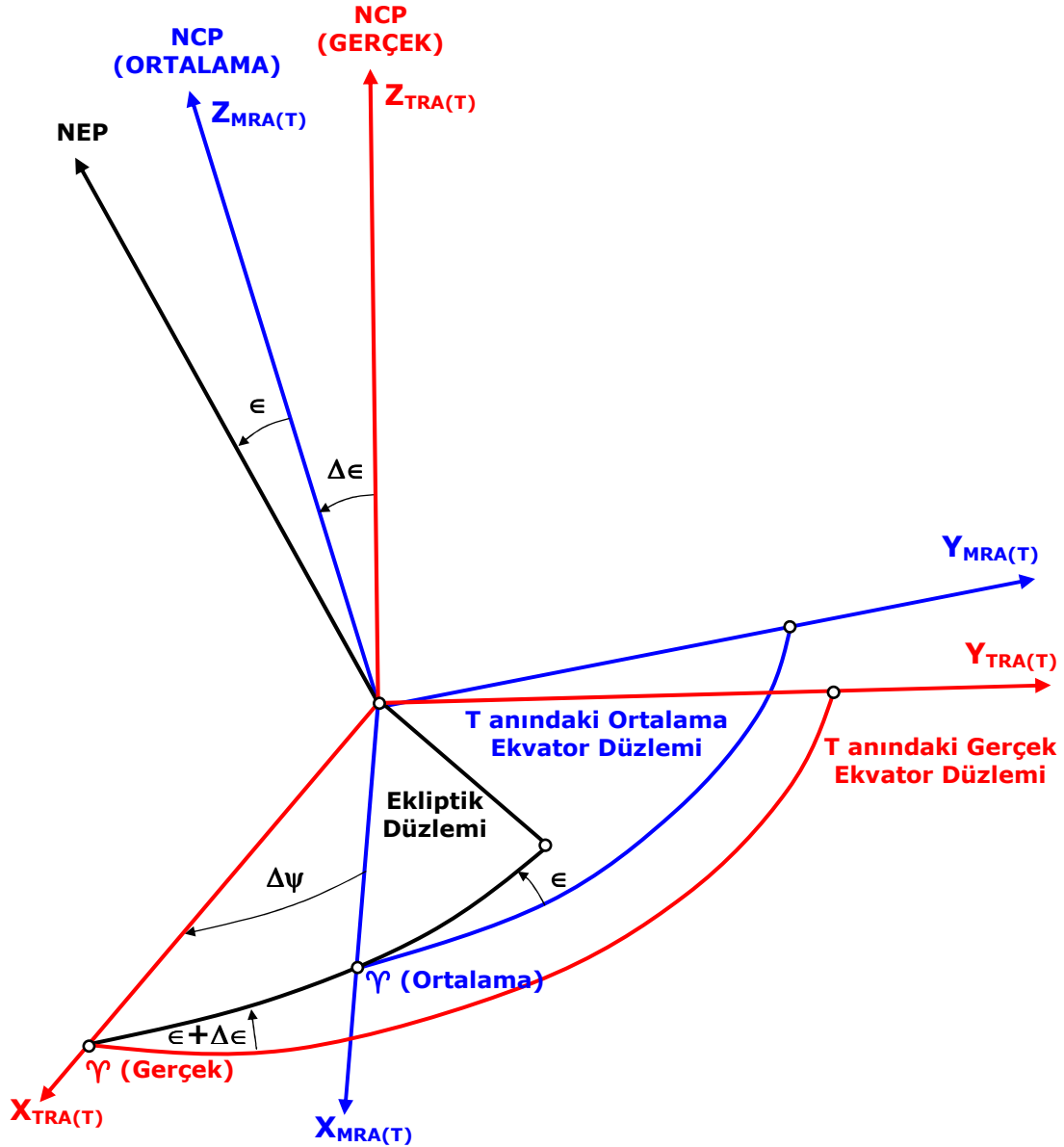
Presesyon düzeltmesinden sonra düzenli değişimler olan yıldız öz hareketleride bu iki geçiş arasında ele alınmalıdır.



### 5.5.5. Gerçek Ortalama Göksel Sistem MRA(T)

Birinci kutup olan gök kutbuna presesyon ve nutasyon etkileri giderilerek ulaşılır ve gerçek gök kutbu olarak tanımlanır. RA system için tanımlanan diğer büyüklükler bu kutba göre değişir. T anındaki nutasyon boylamdaki nutasyon  $\Delta\psi$  ve eğilimdeki nutasyon  $\Delta\epsilon$  "terimnlerinden yararlanarak gerçekleştirilir.

$$\begin{bmatrix} X \\ Y \\ Z \end{bmatrix}_{TRA(T)} = R_1(-\epsilon - \Delta\epsilon) R_3(-\Delta\psi) R_1(\epsilon) \begin{bmatrix} X \\ Y \\ Z \end{bmatrix}_{MRA(T)}$$





$$\begin{bmatrix} \alpha \\ \delta \end{bmatrix}_{AP} = \begin{bmatrix} \alpha \\ \delta \end{bmatrix}_{TRA} + \begin{bmatrix} \Delta\alpha_P \\ \Delta\delta_P \end{bmatrix} + \begin{bmatrix} \Delta\alpha_A \\ \Delta\delta_A \end{bmatrix}$$

$$\begin{bmatrix} \Delta\alpha_P \\ \Delta\delta_P \end{bmatrix} = II \begin{bmatrix} \frac{\cos \alpha \cos \varepsilon - \sin \alpha \cos \lambda_{SUN}}{\cos \delta} \\ \cos \delta \sin \varepsilon \sin \lambda_{SUN} - \cos \alpha \sin \delta \cos \lambda_{SUN} - \sin \alpha \sin \delta \cos \varepsilon \sin \lambda_{SUN} \end{bmatrix}$$

$\lambda_{sun}$  ; güneşin boylamı,  $\varepsilon$  ; ekliptiğin eğikliği ( $23.5^\circ$ ) ve  $(\alpha, \delta)$ ; TRA'daki yıldız koordinatlarıdır. Yer'in yörüngesinin dairesel olarak alınmasından kaynaklanacak hata miktarı bu eşitlikle elde edilecek düzeltme miktarının %1'i kadardır.

$$\begin{bmatrix} \Delta\alpha_A \\ \Delta\delta_A \end{bmatrix} = -K \begin{bmatrix} \frac{\cos \alpha \cos \lambda_{SUN} \cos \varepsilon - \sin \alpha \sin \lambda_{SUN}}{\cos \delta} \\ \cos \lambda_{SUN} \cos \varepsilon (\tan \varepsilon \cos \delta - \sin \alpha \sin \delta) + \cos \alpha \sin \delta \sin \lambda_{SUN} \end{bmatrix}$$

Bu eşitlikte ise; yer'in yörüngesinin dairesel olarak alınmasından kaynaklanacak hata miktarı 0.343" ye ulaşabilmektedir (Krakiwsky and Wells, 1971).

### 5.5.7. Gözlem Yeri Sistemi (The Observed Place System)

Yer'in merkezinde tanımlanan AP sisteminin yıldızlara gözlemin yapıldığı yeryüzeyine taşınması ile elde edilen sistemdir. Bu işlem gerçekleştirilirken yer'in yarıçapından kaynaklanan yermerkezsiz paralaks (geocentrik paralaks), yer'in kendi eksenini etrafında dönmesinde kaynaklanan günlük aberasyon (diurnal aberration) ve yıldız gözlem sırasında ışığın atmosferde kırılmasından dolayı oluşan atmosferik refraksiyon (atmospheric refraction) düzeltmeleri yapılır.

Yıldızlara gözlem yapıldığında yermerkezsiz paralaks daima ihmal edilir. Günlük aberasyonun sabit değeri

$$k'' = \frac{2 \pi R_{gauss} \cos \Phi}{24 \cdot 3600 \cdot c} \rho^o \cdot 3600 = \frac{15 R_{gauss} \cos \Phi}{c}$$

şeklinde hesaplanır. Burada  $R_{gauss}$ ; gözlemcinin eğrilik yarıçapı,  $\Phi$ ; gözlemcinin enlemi,  $c$ ; ışık hızıdır.

Refraksiyon etkisi atmosferik değişimlere bağlıdır ve yapısı karmaşıktır. Yıldızların gözlenmesi sırasında bakış açısına göre değişim göstermektedir.

$$\begin{bmatrix} \alpha \\ \delta \end{bmatrix}_{OP} = \begin{bmatrix} \alpha \\ \delta \end{bmatrix}_{AP} + \begin{bmatrix} \Delta\alpha_D \\ \Delta\delta_D \end{bmatrix} - \begin{bmatrix} \Delta\alpha_R \\ \Delta\delta_R \end{bmatrix}$$

Bu eşitlikte;  $(\Delta\alpha_R, \Delta\delta_R)$  refraksiyondan dolayı getirilen düzeltmeler ve  $h$ ; yıldızın saat açısıdır.

$$\begin{bmatrix} \Delta\alpha_D \\ \Delta\delta_D \end{bmatrix} = k \begin{bmatrix} \cosh \\ \frac{\cos \delta}{\sinh \sin \delta} \end{bmatrix}$$

(Krakiwsky and Wells, 1971).

### 5.5.8. AP ile CT Sistemleri Arasındaki Dönüşüm

AP ve CT sistemlerinin her ikisinde;

- Ağırlık merkezi yerin ağırlık merkezi,
- Birinci kutupları CIO, CT'nin kutbu paralel TRA kutbuna,
- Her iki sistemde sağ-el sistemidir.

Her iki sistem arasındaki fark birinci eksenleri arasındadır. AP sisteminin birinci eksen gerçek paha noktası, CT sisteminin birinci eksen ortalama Greenwich meridyenidir. Bu iki eksen arasındaki açı yerin kendi eksen etrafında dönmesi nedeni ile değişim gösterir ve Greenwich'in Görünen Yıldız Zamanı (GAST, Greenwich Apparent Sideral Time) olarak adlandırılır (Krakiwsky and Wells, 1971).

$$\begin{bmatrix} X \\ Y \\ Z \end{bmatrix}_{CT} = R_3(GAST) \begin{bmatrix} X \\ Y \\ Z \end{bmatrix}_{AP}$$

Bu eşitliği kullanabilmek için, standart bir zaman oluşturmak için kullanılan Evrensel (Güneş) Zamandan (Universal (Solar) Time) GAST'ın hesaplanabilmesi bazı ortalama değerlere ihtiyaç duyulur. Bu durum için iki yol tanımlanmıştır.

1) Eğer GAST'ın UT'nin bazı epoklardaki ( $T_0$ ) değerleri biliniyorsa; herhangi bir T anı için aşağıdaki şekilde hesaplanabilir.

$$GAST(T) = GAST(T_0) + \omega_E (T - T_0)$$

Burada, yıldız ve evrensel zamanlarının yerin sabit dönme hareketine bağımlı oldukları düşünülür.

$$\begin{aligned} \omega_E &= 360.98565 \text{ derece/UT gün} \\ &= 0.0043752695 \text{ radyan/dakika} \end{aligned}$$

Birinci yöntem duyarsızdır. Aşağıda açıklanan ikinci yöntem daha doğrudur. Eğer  $T - T_0$  farkı bir günden daha küçükse iki yöntem arasındaki fark  $10^{-7}$  nin altındadır (ekvator da 0.02 yay saniyesine, 1 mili saniyeye yada 0.5 metreye karşılık gelir).

$$\begin{aligned} 2) \text{ GAST} &= 100.075542^\circ + 360.985647348^\circ T + 0.2900^\circ e^{-12} T^2 \\ &\quad - 4.392^\circ e^{-3} \sin \{ 12.1128^\circ - 0.052954^\circ T \} \\ &\quad + 0.053^\circ e^{-3} \sin 2 \{ 12.1128^\circ - 0.052954^\circ T \} \\ &\quad - 0.325^\circ e^{-3} \sin 2 \{ 280.0812^\circ + 0.9856473^\circ T \} \\ &\quad - 0.050^\circ e^{-3} \sin 2 \{ 64.3824^\circ + 13.176398^\circ T \} \end{aligned}$$

Burada, T; 0.5 ocak 1950 (31 aralık 1949 gece yarısı) den itibaren geçen Julyen günüdür. 1971 için;

$$T = 7669 + D + (M + S / 60) / 1440$$

D ; 1971 den itibaren geçen gün sayısı, M; UT de dakika, S; UT de saniye, 7669 ; 1 ocak 1950 ile 31 aralık 1970 arasında geçen gün sayısıdır.  $T - T_0$ 'ın herhangi bir değeri için ikinci yöntem doğruluğu ekvator boyunca 0.2 yay saniyesidir (10 mili saniye yada 5 metre). Daha duyarlı sonuçlara almanalarda yayınlanan düzeltme terimleri kullanılarak ulaşılabilir (Krakiwsky and Wells, 1971).



## 5.5.9. Göksel Sistemler Arasındaki Dönüşümler

|                |  | Dönüştürülen Sistem               |  |   |   |
|----------------|--|-----------------------------------|--|---|---|
|                |  | Ekliptik<br>( $\underline{R}_E$ ) | Sağ Açılım<br>( $\underline{R}_{RA}$ ) | Saat Açısı<br>( $\underline{R}_{HA}$ )            | Ufuk<br>( $\underline{R}_H$ )                     |
| Dönüşen sistem | Ekliptik<br>( $\underline{R}_E$ )      | $\underline{I}$                   | $\underline{R}_1(\epsilon)$            |   |   |
|                | Sağ Açılım<br>( $\underline{R}_{RA}$ ) | $\underline{R}_1(-\epsilon)$      | $\underline{I}$                        | $\underline{R}_3(-LST)\underline{P}_2$            |   |
|                | Saat Açısı<br>( $\underline{R}_{HA}$ ) |                                   | $\underline{P}_2\underline{R}_3(LST)$  | $\underline{I}$                                   | $\underline{R}_2(\Phi-\pi/2)\underline{R}_3(\pi)$ |
|                | Ufuk<br>( $\underline{R}_H$ )          |                                   |  | $\underline{R}_3(\pi)\underline{R}_2(\pi/2-\Phi)$ | $\underline{I}$                                   |

## 6. YÖRÜNGESEL KOORDİNAT SİSTEMLERİ (OR)

Uyduların yörüngesel hareketleri, yerin çekim etkisi ve uyduyu diğer başka etkileri uygulayan birkaç kuvvetin etkisinin bir sonucudur. Diğer kuvvetlere örnek verilecek olursa bunlar; güneşin ayın çekim etkileri ve güneşin radyasyon parçacıklarının uyduya yaptığı etki olarak söylenebilir. Diğer etkilerden sayılabilecek atmosferik sürtünme yüksek yörüngelerde hareket eden uydularda ihmal edilebilir düzeyde kalmaktadır. Matematik olarak, uyduların hareket denklemleri zamana göre sayısal integral yöntemleri çözülebilen diferansiyel denklemler ile çözülür. İntegrasyon, uydunun konumunun ve hızının bilindiği başlangıç koşulları ile başlar. Kestirilen uydu konumları uydulara yapılan gözlemler ile karşılaştırılır. Elde edilen farklar kuvvet fonksiyonunu, başlangıç koşullarını ve gözlemcinin istasyon koordinatlarını geliştirmek için kullanılır.

Yer etrafında dönen yapay uydu koordinatlarını tanımlamak için kullanılan koordinat sistemidir. Uydu koordinatları önce yörünge düzleminde hesaplanır. Hesaplan bu koordinatlar önce görünen yer (AP) sistemine ve daha sonra ortalama koordinat sistemine (CT) dönüştürülür.

### 6.1. Kepler Elemanları

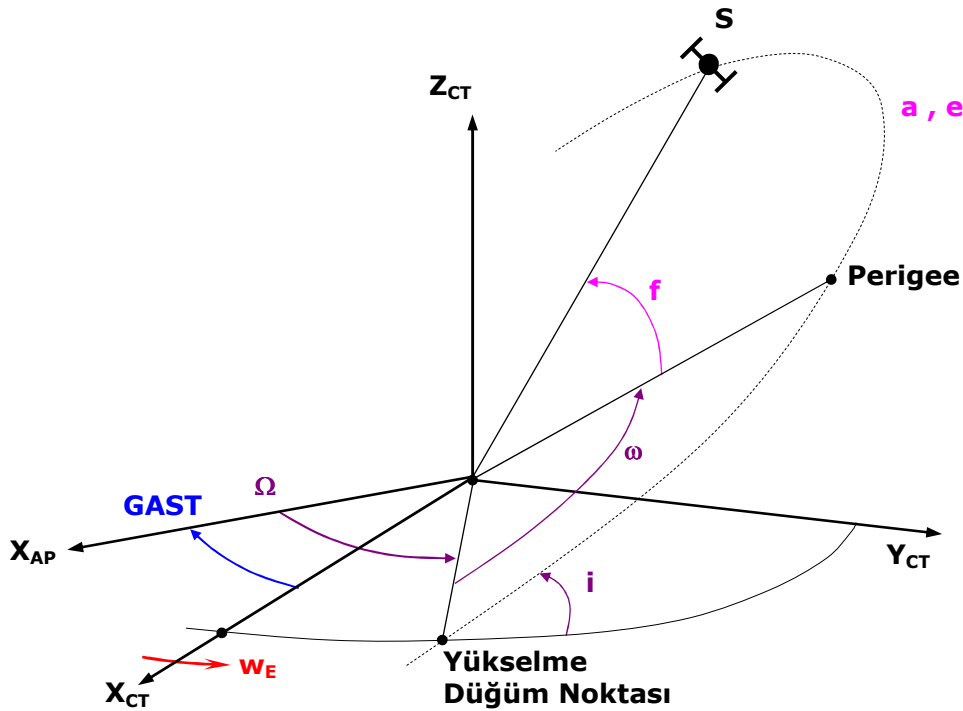
Uyduların uzaydaki konumunu belirlemek için genellikle altı yörünge elemanı kullanılır. Bunlar Şekil-.. gösterilmiştir.

Yörünge elipsinin AP'deki konumunu belirleyen parametreler

- $\Omega$  Yükselme noktasının (right ascension of ascending node) rektesenzasyonu
- $i$  Ekvator düzlemi ile yörünge düzlemi arasındaki açı (inclination)
- $\omega$  Perigenin argümanı

Uydunun (S) konumunu yörünge elipsinde hesaplamaya yarayan parametreler

- $a$  Yörünge elipsinin büyük yarıekseni
- $e$  Yörünge elipsinin dışmerkezliği
- $f$  Gerçek anomali

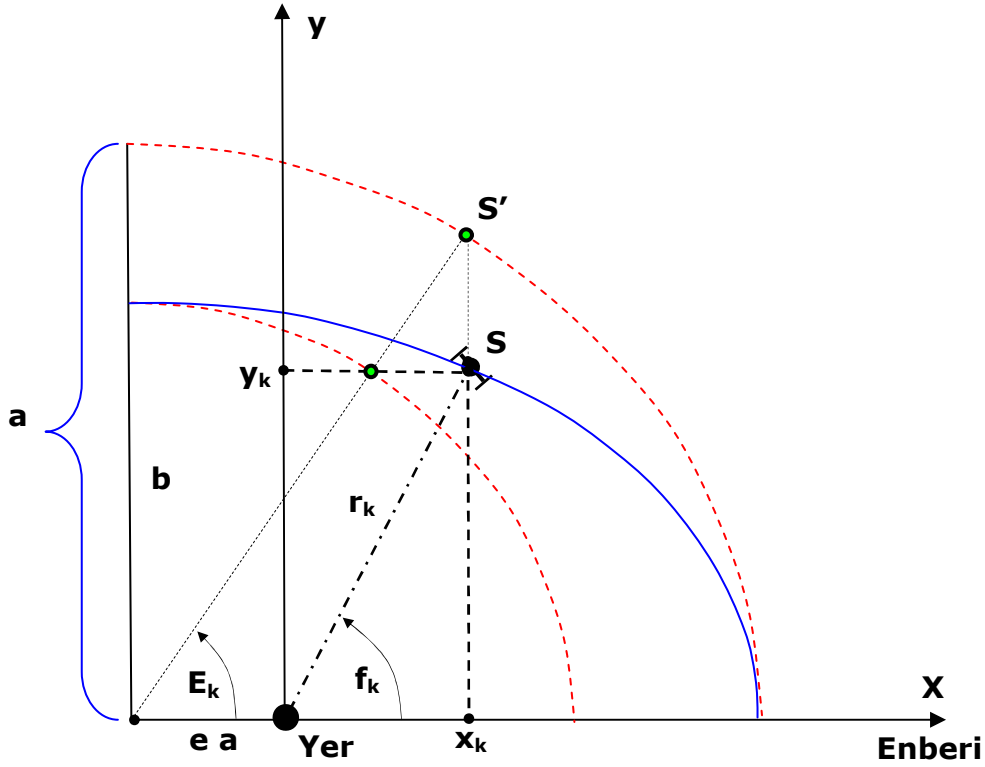


$w_E$   
GAST  
Perigee  
Apogee

Yerin açısal dönme hızı ( $=7.292115167 \times 10^{-5}$  rad/s, WGS84 değeri)  
Greenwich Görünen Yıldız Zamanı  
Enberi  
Enöte

## 6.2. Yörünge Elipsi

İki boyutlu yörünge elipsinde uydu koordinatlarını hesaplayabilmek için x-ekseni perigee doğrultusunda, z-ekseni yerin ağırlık merkezinde yörünge düzlemine dik, y-ekseni sol el sistemini sağlayacak şekilde seçilir.



|                   |  |
|-------------------|--|
| $t_0$             | Yörünge referans anı   |
| $f_k$             | $t_k$ anındaki gerçek anomali (rad)  |
| $E_k$             | $t_k$ anındaki gerçek anomali (rad)  |
| $M_k$             | $t_k$ anındaki ortalama anomali (rad)  |
| $M_0$             | $t_0$ anındaki ortalama anomali (rad), ( $t_p$ perigee geçiş anı ise $M_0=0$ olur)             |
| $r_k$             | $t_k$ anındaki yarıçap (m)   |
| $x_k, y_k, z_k=0$ | $t_k$ anındaki yörüngesel koordinatlar (m)   |
| $GM$              | Yerin evrensel gravitasyon parametresi ( $=3.986005e14 \text{ m}^3/\text{s}^2$ , WGS84 değeri) |
| $n$               | Hesaplanmış Ortalama Hareket (rad/s)   |

$$\begin{bmatrix} x_k \\ y_k \\ z_k \end{bmatrix}_{OR} = r_k \begin{bmatrix} \cos f_k \\ \sin f_k \\ 0 \end{bmatrix} = a \begin{bmatrix} \cos E_k - e \\ \sqrt{1-e^2} \sin E_k \\ 0 \end{bmatrix}$$

$$\tan f_k = \frac{\sqrt{1-e^2} \sin E_k}{\cos E_k - e} \quad r_k = a(1 - e \cos E_k) = \sqrt{x_k^2 + y_k^2}$$

$E_k$  ile  $M_k$  arasındaki ilişki Kepler denklemi ile verilir.

$$\begin{aligned} M_k &= E_k - e \sin E_k \\ M_k &= M_0 + (t_k - t_0) n \\ n &= \sqrt{\frac{GM}{a^3}} \end{aligned}$$

Burada bilinmeyen  $E_k$  olduğundan denklem yeniden düzenlenir ve iteratif olarak çözülür.

$$E_k = M_k + e \sin E_k \quad E_k^{(0)} = M_k$$

$$\left| E_k^{(i)} - E_k^{(i-1)} \right| > 1e-14$$

Ek bulunduktan sonra yörünge düzlemindeki koordinatlar hesaplanır.

$$\begin{bmatrix} x_k \\ y_k \\ z_k \end{bmatrix}_{OR} = a \begin{bmatrix} \cos E_k - e \\ \sqrt{1-e^2} \sin E_k \\ 0 \end{bmatrix}$$

## 6.2. Yörüngesel Koordinat Sisteminden (OR) Görünen Yer Sistemine (AP) Dönüşüm

Yörünge düzlemindeki koordinatlar AP sistemine diğer kepler elemanları yardımı ile dönüştürülür. AP ve CT sistemleri arasındaki dönüşüm  $t_k$  anındaki **GAST** ile gerçekleştirilir.

$$\begin{bmatrix} X_k \\ Y_k \\ Z_k \end{bmatrix}_{AP} = R_3(-\Omega) R_1(-i) R_3(-\omega) \begin{bmatrix} x_k \\ y_k \\ z_k \end{bmatrix}_{OR}$$

$$\underline{D} = \underline{R}_3(-\Omega) \underline{R}_1(-i) \underline{R}_3(-\omega)$$

$$\underline{D} = \begin{bmatrix} \cos \Omega \cos \omega - \sin \Omega \sin \omega \cos i & -\cos \Omega \sin \omega - \sin \Omega \cos \omega \cos i & \sin \Omega \sin i \\ \sin \Omega \cos \omega + \cos \Omega \sin \omega \cos i & -\sin \Omega \sin \omega + \cos \Omega \cos \omega \cos i & -\cos \Omega \sin i \\ \sin \omega \sin i & \cos \omega \sin i & \cos i \end{bmatrix}$$

$$\begin{bmatrix} X_k \\ Y_k \\ Z_k \end{bmatrix}_{CT} = R_3(GAST) \begin{bmatrix} x_k \\ y_k \\ z_k \end{bmatrix}_{AP}$$

Yada doğrudan OR ve CT arasındaki dönüşüm aşağıdaki şekilde gerçekleştirilir.

$$\begin{bmatrix} X_k \\ Y_k \\ Z_k \end{bmatrix}_{CT} = \underline{R}_3(GAST - \Omega) \underline{R}_1(-i) \underline{R}_3(-\omega) \begin{bmatrix} x_k \\ y_k \\ z_k \end{bmatrix}_{OR}$$

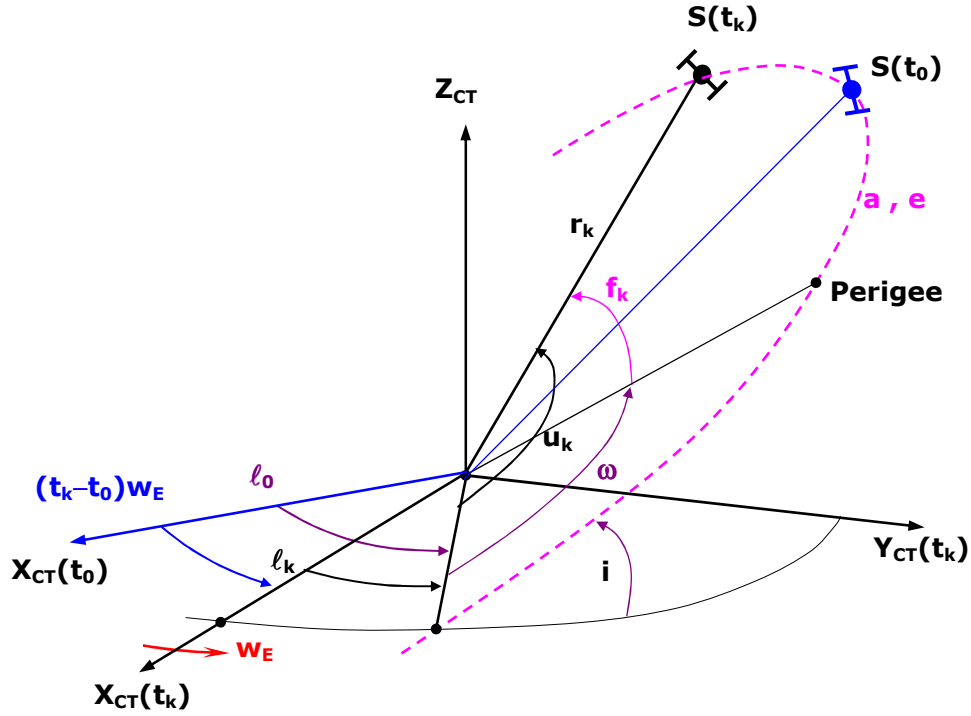
$$-\ell = GAST - \Omega$$

$$\begin{bmatrix} X_k \\ Y_k \\ Z_k \end{bmatrix}_{CT} = \underline{R}_3(-\ell) \underline{R}_1(-i) \underline{R}_3(-\omega) \begin{bmatrix} x_k \\ y_k \\ z_k \end{bmatrix}_{OR}$$

$$\underline{D} = \underline{R}_3(-\ell) \underline{R}_1(-i) \underline{R}_3(-\omega)$$

$$\underline{D} = \begin{bmatrix} \cos \ell \cos \omega - \sin \ell \sin \omega \cos i & -\cos \ell \sin \omega - \sin \ell \cos \omega \cos i & \sin \ell \sin i \\ \sin \ell \cos \omega + \cos \ell \sin \omega \cos i & -\sin \ell \sin \omega + \cos \ell \cos \omega \cos i & -\cos \ell \sin i \\ \sin \omega \sin i & \cos \omega \sin i & \cos i \end{bmatrix}$$

Genellikle yapay uyduların yörünge elemanları belirli bir ana (epoğa) göre verilir. Uydunun diğer anları için konum bilgileri bu referans anına göre hesaplanır. Yukarıdaki bağıntılarda değişen tek şey son dönüşüm matrisidir.



$$\begin{bmatrix} X_k \\ Y_k \\ Z_k \end{bmatrix}_{CT} = \underline{R}_3(-\ell_k) \underline{R}_1(-i) \underline{R}_3(-\omega) \begin{bmatrix} x_k \\ y_k \\ z_k \end{bmatrix}_{OR}$$

$$\ell_k = \ell_0 - (t_k - t_0)w_E$$

$\ell_0$   $t_0$  anında yükselme düğüm noktasının boylamı

$\ell_k$   $t_k$  anında yükselme düğüm noktasının boylamı

Bir başka çözüm yolu da şöyle gerçekleştirilebilir. x-ekseni; uydu ile yer merkezini birleştiren doğrultuda, z-ekseni; yörünge düzlemine yer merkezinde dik doğrultuda ve y-ekseni; bir sağ el koordinat sistemini tamamlayacak şekilde seçilerek oluşturulan koordinat sisteminde uydunun koordinatları  $\underline{X}_{uydu} = [r_k \ 0 \ 0]^T$  olur. Bu koordinatların CT sistemine dönüşümü aşağıdaki dönüşüm matrisi ile sağlanır.

$$r_k = a(1 - e \cos E_k) \text{ ve } u_k = \omega + f_k$$

$$\underline{X}_{CT} = \underline{R}_3(-\ell_k) \underline{R}_1(-i) \underline{R}_3(-u_k) \underline{X}_{uydu}$$

$$\begin{bmatrix} X_k \\ Y_k \\ Z_k \end{bmatrix}_{CT} = \underline{R}_3(-\ell_k) \underline{R}_1(-i) \underline{R}_3(-u_k) \begin{bmatrix} r_k \\ 0 \\ 0 \end{bmatrix}_{uydu}$$

Dönüklük matrisi  $\underline{D}$  ve  $\underline{X}_{uydu}$  vektörü çarpıldığında  $\underline{D}$  matrisinin sadece birinci sütununun  $r_k$  uzunluğu ile çarpılması ile CT koordinatsistemindeki uydu koordinatları aşağıdaki bağıntılara göre hesaplanmış olur.

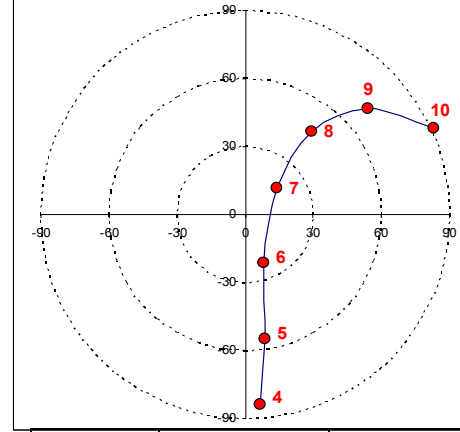
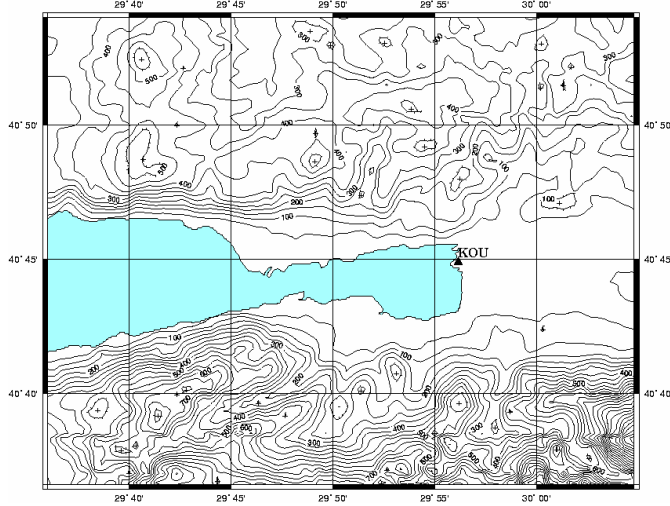
$$X_k = r_k(\cos \ell_k \cos u_k - \sin \ell_k \sin u_k \cos i)$$

$$Y_k = r_k(\sin \ell_k \cos u_k + \cos \ell_k \sin u_k \cos i)$$

$$Z_k = r_k \sin u_k \sin i$$

**Uygulama:** Bir uydunun ölçü gününe ait enberi (Perigee) geçiş anı bilinmektedir. Enberi geçiş anı ve yörünge elemanları aşağıda verilen uydunun  $t_k = (4.00, 5.00, 6.00, 7.00, 8.00, 9.00, 10.00)$  saatlerindeki gözlem penceresini  $(\varphi, \lambda, h) = (40.748^\circ, 29.936^\circ, 1.00m)$  noktasına göre çiziniz.

$t_0 = 5.85$  saat  
 $a = 26560441.00$  m  
 $e = 0.0149$   
 $i = 61.28^\circ$   
 $\ell_0 = 25.00^\circ$   
 $\omega = 23.00^\circ$



| $t_k$<br>[h] | $A_{ik}$<br>[°] | $Z_{ik}$<br>[°] |
|--------------|-----------------|-----------------|
| 4.00         | 175.48          | 84.24           |
| 5.00         | 170.99          | 55.57           |
| 6.00         | 158.68          | 23.17           |
| 7.00         | 50.27           | 18.02           |
| 8.00         | 38.63           | 46.97           |
| 9.00         | 49.07           | 71.72           |
| 10.00        | 65.29           | 91.39           |

### ÇÖZÜM:

WGS84 Elipsoidi Parametreleri

$a = 6378137$  m       $b = 6356752.31425$  m  
 $\omega_E = 7.2921151467e-5$  rad/s       $GM = 3.986005e14$  m<sup>3</sup>/s<sup>2</sup>

Durulan Nokta

$X = 4193314.649$  m  
 $Y = 2414770.061$  m  
 $Z = 4141263.021$  m

$t = 4.00$  h

$t_k - t_0 = -6660.00000$  sn  
 $n = 0.008$  o/sn  
 $M_k = -55.65611$  o  
 $E_k = -56.36691$  o (8.iterasyonda)  
 $f_k = 302.91932$  o  
 $r_k = 26341245.639$  m  
 $x_k = 14315347.460$  m  
 $y_k = -22111807.907$  m

$D=R3(-lk) \ R1(-i) \ R3(-w)$

$0.4066 \quad -0.5885 \quad 0.6988$   
 $0.8469 \quad -0.0441 \quad -0.5299$   
 $0.3427 \quad 0.8073 \quad 0.4805$

$X_k = 18834376.657$  m       $X_i = 4193314.649$  m       $X_k - X_i = 14641062.008$  m  
 $Y_k = 13098169.960$  m       $Y_i = 2414770.061$  m       $Y_k - Y_i = 10683399.899$  m  
 $Z_k = -12944706.312$  m       $Z_i = 4141263.021$  m       $Z_k - Z_i = -17085969.332$  m

$C=R3(PI-L) \ R2(PI/2-B) \ P2$

$-0.5656 \quad -0.4990 \quad 0.6565$   
 $-0.3257 \quad 0.8666 \quad 0.3781$   
 $0.7576 \quad 0.0000 \quad 0.6527$

$nik = -24705763.844$  m       $Sik = 24908353.582$  m  
 $eik = 1951693.407$  m       $Aik = 175.48316$  o  
 $uik = 2498440.286$  m       $Zik = 84.24325$  o

\_\_\_\_\_ t = 5.00 h \_\_\_\_\_  
 tk-t0 = -3060.00000 sn  
 n = 0.008 o/sn  
 Mk = -25.57173 o  
 Ek = -25.94523 o (8.iterasyonda )  
 fk = 333.67872 o  
 rk = 26204577.079 m  
 xk = 23487734.050 m  
 yk = -11619217.233 m

D=R3(-lk) R1(-i) R3(-w)  
 =====  
 0.6125 -0.5798 0.5373  
 0.7124 0.1102 -0.6931  
 0.3427 0.8073 0.4805  
 =====  
 Xk = 21122098.756 m Xi = 4193314.649 m Xk-Xi= 16928784.107 m  
 Yk = 15451996.697 m Yi = 2414770.061 m Yk-Yi= 13037226.636 m  
 Zk = -1331391.042 m Zi = 4141263.021 m Zk-Zi= -5472654.062 m

C=R3(PI-L) R2(PI/2-B) P2  
 =====  
 -0.5656 -0.4990 0.6565  
 -0.3257 0.8666 0.3781  
 0.7576 0.0000 0.6527  
 =====

nik = -17968427.077 m Sik = 22056811.923 m  
 eik = 2849833.224 m Aik = 170.98783 o  
 uik = 12470646.783 m Zik = 55.57079 o

\_\_\_\_\_ t = 6.00 h \_\_\_\_\_  
 tk-t0 = 540.00000 sn  
 n = 0.008 o/sn  
 Mk = 4.51266 o  
 Ek = 4.58084 o (8.iterasyonda )  
 fk = 4.64954 o  
 rk = 26165954.598 m  
 xk = 26079846.882 m  
 yk = 2121029.622 m

D=R3(-lk) R1(-i) R3(-w)  
 =====  
 0.7763 -0.5314 0.3391  
 0.5290 0.2569 -0.8088  
 0.3427 0.8073 0.4805  
 =====  
 Xk = 19119782.744 m Xi = 4193314.649 m Xk-Xi= 14926468.096 m  
 Yk = 14342025.067 m Yi = 2414770.061 m Yk-Yi= 11927255.006 m  
 Zk = 10648821.757 m Zi = 4141263.021 m Zk-Zi= 6507558.736 m

C=R3(PI-L) R2(PI/2-B) P2  
 =====  
 -0.5656 -0.4990 0.6565  
 -0.3257 0.8666 0.3781  
 0.7576 0.0000 0.6527  
 =====

nik = -7398202.045 m Sik = 20184330.123 m  
 eik = 2887170.692 m Aik = 158.68163 o  
 uik = 18556347.550 m Zik = 23.16960 o

\_\_\_\_\_ t = 7.00 h \_\_\_\_\_  
 tk-t0 = 4140.00000 sn  
 n = 0.008 o/sn  
 Mk = 34.59704 o  
 Ek = 35.08778 o (8.iterasyonda )  
 fk = 35.58155 o  
 rk = 26236609.253 m

xk = 21337923.722 m  
yk = 15266062.896 m

D=R3 (-lk) R1 (-i) R3 (-w)

```
=====
0.8870   -0.4465   0.1175
0.3094    0.3860  -0.8691
0.3427    0.8073   0.4805
=====
```

|                     |                    |                       |
|---------------------|--------------------|-----------------------|
| Xk = 12111254.026 m | Xi = 4193314.649 m | Xk-Xi= 7917939.378 m  |
| Yk = 12495067.386 m | Yi = 2414770.061 m | Yk-Yi= 10080297.326 m |
| Zk = 19635439.440 m | Zi = 4141263.021 m | Zk-Zi= 15494176.420 m |

C=R3 (PI-L) R2 (PI/2-B) P2

```
=====
-0.5656   -0.4990   0.6565
-0.3257    0.8666   0.3781
0.7576     0.0000   0.6527
=====
```

|                      |                      |
|----------------------|----------------------|
| nik = 3975927.457 m  | Sik = 20109093.990 m |
| eik = 4784110.289 m  | Aik = 50.27107 °     |
| uik = 19122760.017 m | Zik = 18.01958 °     |

t = 8.00 h

tk-t0 = 7740.00000 sn  
n = 0.008 o/sn  
Mk = 64.68143 °  
Ek = 65.45801 ° (7.iterasyonda )  
fk = 66.23703 °  
rk = 26396062.023 m  
xk = 10636395.552 m  
yk = 24158211.440 m

D=R3 (-lk) R1 (-i) R3 (-w)

```
=====
0.9369   -0.3310  -0.1120
0.0686    0.4886  -0.8698
0.3427    0.8073   0.4805
=====
```

|                     |                    |                       |
|---------------------|--------------------|-----------------------|
| Xk = 1968573.432 m  | Xi = 4193314.649 m | Xk-Xi= -2224741.217 m |
| Yk = 12534188.676 m | Yi = 2414770.061 m | Yk-Yi= 10119418.616 m |
| Zk = 23146725.971 m | Zi = 4141263.021 m | Zk-Zi= 19005462.950 m |

C=R3 (PI-L) R2 (PI/2-B) P2

```
=====
-0.5656   -0.4990   0.6565
-0.3257    0.8666   0.3781
0.7576     0.0000   0.6527
=====
```

|                      |                      |
|----------------------|----------------------|
| nik = 12360477.273 m | Sik = 21646240.518 m |
| eik = 9879537.664 m  | Aik = 38.63480 °     |
| uik = 14770682.642 m | Zik = 46.97110 °     |

t = 9.00 h

tk-t0 = 11340.00000 sn  
n = 0.008 o/sn  
Mk = 94.76581 °  
Ek = 95.61542 ° (6.iterasyonda )  
fk = 96.46444 °  
rk = 26599165.496 m  
xk = -2994710.047 m  
yk = 26430045.721 m



D=R3(-lk) R1(-i) R3(-w)

```
=====
0.9227   -0.1929   -0.3339
-0.1769   0.5578   -0.8109
0.3427   0.8073   0.4805
=====
```

|                     |                    |                       |
|---------------------|--------------------|-----------------------|
| Xk = -7861223.513 m | Xi = 4193314.649 m | Xk-Xi=-12054538.162 m |
| Yk = 15271802.263 m | Yi = 2414770.061 m | Yk-Yi= 12857032.202 m |
| Zk = 20309820.916 m | Zi = 4141263.021 m | Zk-Zi= 16168557.895 m |

C=R3(PI-L) R2(PI/2-B) P2

```
=====
-0.5656   -0.4990   0.6565
-0.3257   0.8666   0.3781
0.7576   0.0000   0.6527
=====
```

|                      |                      |
|----------------------|----------------------|
| nik = 14879739.377 m | Sik = 23917304.023 m |
| eik = 17157294.527 m | Aik = 49.06639 o     |
| uik = 7500535.469 m  | Zik = 71.72351 o     |

t = 10.00 h

```
tk-t0 = 14940.00000 sn
n = 0.008 o/sn
Mk = 124.85020 o
Ek = 125.54482 o (8.iterasyonda )
fk = 126.23649 o
rk = 26790506.510 m
xk = -15836388.798 m
yk = 21608795.174 m
```

D=R3(-lk) R1(-i) R3(-w)

```
=====
0.8452   -0.0415   -0.5329
-0.4102   0.5887   -0.6965
0.3427   0.8073   0.4805
=====
```

|                      |                    |                       |
|----------------------|--------------------|-----------------------|
| Xk = -14281676.881 m | Xi = 4193314.649 m | Xk-Xi=-18474991.530 m |
| Yk = 19218379.651 m  | Yi = 2414770.061 m | Yk-Yi= 16803609.591 m |
| Zk = 12017438.500 m  | Zi = 4141263.021 m | Zk-Zi= 7876175.479 m  |

C=R3(PI-L) R2(PI/2-B) P2

```
=====
-0.5656   -0.4990   0.6565
-0.3257   0.8666   0.3781
0.7576   0.0000   0.6527
=====
```

|                      |                      |
|----------------------|----------------------|
| nik = 10943708.912 m | Sik = 26186270.209 m |
| eik = 23781346.650 m | Aik = 65.28904 o     |
| uik = -635243.431 m  | Zik = 91.39005 o     |

**Uygulama:** Yörünge parametreleri verilen bir uydunun yer üzerindeki izinin belirleyen parametrelerin hesaplanması.

**Verilenler:**

**a) Sabit Değerler (WGS84)**

$$a_{\text{WGS84}} = 6378137 \text{ m}$$

$$w_E = 7.2921151467 \times 10^{-5} \text{ rad/sn}$$

$$b_{\text{WGS84}} = 6356752.31425 \text{ m}$$

$$GM = 3.986005 \times 10^{14} \text{ m}^3/\text{sn}^2$$

**b) Uydu Yörünge Parametreleri**

$$a = 26560500.00 \text{ m}$$

$$e = 0.0130$$

$$t_0 = 3.00 \text{ saat}$$

$$M_0 = 5.00^\circ$$

$$i_0 = 56.00^\circ$$

$$\ell_0 = 7.00^\circ$$

$$\omega_0 = 23.00^\circ$$

**c) WGS84 ile ED50 dönüşüm bağıntıları**

$$a_{\text{ED50}} = 6378388 \text{ m}$$

$$b_{\text{ED50}} = 6356911.94613 \text{ m}$$

$$\begin{bmatrix} X \\ Y \\ Z \end{bmatrix}_{\text{WGS84}} = \begin{bmatrix} -89.5002 \\ -93.8000 \\ -123.1002 \end{bmatrix}^{[m]} + \mathbf{k} \begin{bmatrix} 1 & \alpha & 0 \\ -\alpha & 1 & 0 \\ 0 & 0 & 1 \end{bmatrix} \begin{bmatrix} X \\ Y \\ Z \end{bmatrix}_{\text{ED50}} \quad \alpha = 0.156'' \quad \mathbf{k} = 1 + 1.2 \times 10^{-6}$$

**İstenenler:**

**a)**  $t = \{0.0, 1.0, 2.0, \dots, 24.0\}$  saatlerindeki uydu koordinatlarını WGS84 datumunda jeodezik eğri koordinatlar cinsinden hesaplayınız.

**b)** Uydunun zamana göre izlediği yolu ED50 Datum unda verilmiş Dünya haritası üzerine zaman etiketlerini göstererek işleyiniz.

**Çözüm:**

$$\begin{aligned} t &= 0.00 \text{ h} \\ tk-t_0 &= -10800.00000 \text{ sn} \\ n &= 0.008 \text{ o/sn} \\ Mk &= -85.25285 \text{ o} \\ Ek &= -85.99588 \text{ o} \quad (5.\text{iterasyonda}) \\ (6.\text{iterasyonda}) \\ fk &= 273.26073 \text{ o} \\ rk &= 26536389.261 \text{ m} \\ xk &= 1509385.705 \text{ m} \\ yk &= -26493427.672 \text{ m} \end{aligned}$$

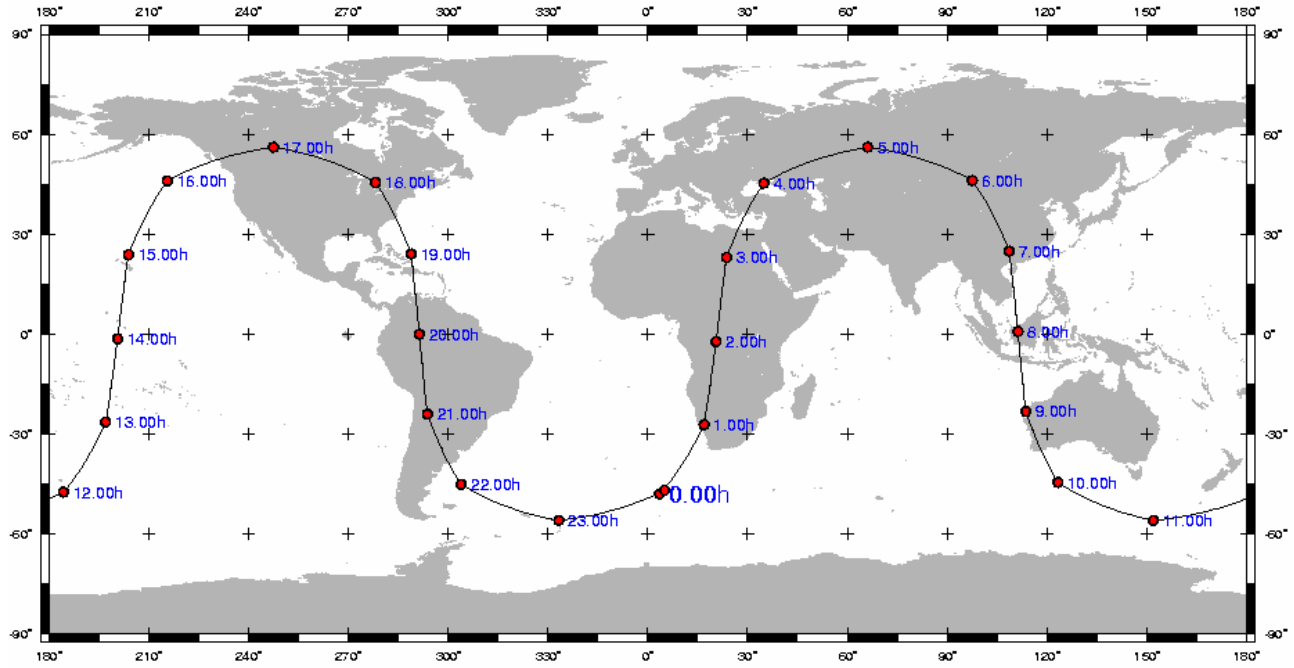
$$\begin{aligned} t &= 6.00 \text{ h} \\ tk-t_0 &= 10800.00000 \text{ sn} \\ n &= 0.008 \text{ o/sn} \\ Mk &= 95.25285 \text{ o} \\ Ek &= 95.99363 \text{ o} \\ fk &= 96.73392 \text{ o} \\ rk &= 26596554.066 \text{ m} \\ xk &= -3118676.207 \text{ m} \\ yk &= 26413075.302 \text{ m} \end{aligned}$$

$$\begin{aligned} t &= 12.00 \text{ h} \\ tk-t_0 &= 32400.00000 \text{ sn} \\ n &= 0.008 \text{ o/sn} \\ Mk &= 275.75856 \text{ o} \\ Ek &= 275.01657 \text{ o} \quad (6.\text{iterasyonda}) \\ fk &= 274.27413 \text{ o} \\ rk &= 26530306.846 \text{ m} \\ xk &= 1977263.825 \text{ m} \\ yk &= -26456522.997 \text{ m} \end{aligned}$$

$$\begin{aligned} t &= 18.00 \text{ h} \\ tk-t_0 &= 54000.00000 \text{ sn} \\ n &= 0.008 \text{ o/sn} \\ Mk &= 96.26426 \text{ o} \\ Ek &= 97.00355 \text{ o} \quad (6.\text{iterasyonda}) \\ fk &= 97.74227 \text{ o} \\ rk &= 26602601.080 \text{ m} \\ xk &= -3583831.086 \text{ m} \\ yk &= 26360093.682 \text{ m} \end{aligned}$$

$$\begin{aligned} t &= 23.00 \text{ h} \\ tk-t_0 &= 72000.00000 \text{ sn} \\ n &= 0.008 \text{ o/sn} \\ Mk &= 246.68568 \text{ o} \\ Ek &= 246.00521 \text{ o} \quad (7.\text{iterasyonda}) \\ fk &= 245.32650 \text{ o} \\ rk &= 26700912.003 \text{ m} \\ xk &= -11146209.823 \text{ m} \\ yk &= -24263155.367 \text{ m} \end{aligned}$$

$$\begin{aligned} t &= 24.00 \text{ h} \\ tk-t_0 &= 75600.00000 \text{ sn} \\ n &= 0.008 \text{ o/sn} \\ Mk &= 276.76997 \text{ o} \\ Ek &= 276.02924 \text{ o} \quad (6.\text{iterasyonda}) \\ fk &= 275.28799 \text{ o} \\ rk &= 26524232.467 \text{ m} \\ xk &= 2444523.706 \text{ m} \\ yk &= -26411346.271 \text{ m} \end{aligned}$$



| t [st] | WGS84      |               |           | ED50       |               |           |
|--------|------------|---------------|-----------|------------|---------------|-----------|
|        | $\phi$ [o] | $\lambda$ [o] | h [km]    | $\phi$ [o] | $\lambda$ [o] | h [km]    |
| 00     | -48.0740   | 3.5453        | 20170.073 | -48.0738   | 3.5456        | 20169.812 |
| 01     | -27.1929   | 16.8403       | 19992.660 | -27.1927   | 16.8405       | 19992.441 |
| 02     | -2.2627    | 20.5163       | 19870.497 | -2.2625    | 20.5165       | 19870.326 |
| 03     | 23.0438    | 23.6457       | 19841.693 | 23.0441    | 23.6459       | 19841.582 |
| 04     | 45.3032    | 34.8477       | 19912.107 | 45.3034    | 34.8478       | 19912.048 |
| 05     | 56.0401    | 66.0769       | 20055.784 | 56.0403    | 66.0767       | 20055.734 |
| 06     | 46.0910    | 97.4841       | 20229.499 | 46.0913    | 97.4838       | 20229.409 |
| 07     | 24.8858    | 108.6322      | 20388.802 | 24.8861    | 108.6320      | 20388.642 |
| 08     | 0.8038     | 111.2533      | 20497.131 | 0.8040     | 111.2531      | 20496.904 |
| 09     | -23.2282   | 113.5534      | 20529.414 | -23.2281   | 113.5532      | 20529.143 |
| 10     | -44.5545   | 123.2448      | 20475.156 | -44.5544   | 123.2445      | 20474.852 |
| 11     | -55.9502   | 151.8972      | 20342.957 | -55.9503   | 151.8967      | 20342.615 |
| 12     | -47.5114   | 184.3060      | 20163.781 | -47.5115   | 184.3057      | 20163.392 |
| 13     | -26.3919   | 197.0674      | 19987.373 | -26.3919   | 197.0673      | 19986.953 |
| 14     | -1.4030    | 200.6032      | 19867.880 | -1.4027    | 200.6032      | 19867.478 |
| 15     | 23.8677    | 203.8423      | 19842.517 | 23.8682    | 203.8422      | 19842.190 |
| 16     | 45.9246    | 215.5335      | 19915.962 | 45.9252    | 215.5335      | 19915.727 |
| 17     | 56.0391    | 247.4115      | 20061.396 | 56.0396    | 247.4117      | 20061.211 |
| 18     | 45.4878    | 278.1492      | 20235.321 | 45.4883    | 278.1495      | 20235.116 |
| 19     | 24.0991    | 288.8115      | 20393.447 | 24.0996    | 288.8118      | 20393.174 |
| 20     | -0.0163    | 291.3129      | 20499.555 | -0.0161    | 291.3132      | 20499.217 |
| 21     | -24.0100   | 293.7168      | 20529.006 | -24.0099   | 293.7172      | 20528.642 |
| 22     | -45.1638   | 303.8525      | 20471.867 | -45.1639   | 303.8529      | 20471.523 |
| 23     | -56.0064   | 333.1878      | 20337.460 | -56.0063   | 333.1883      | 20337.159 |
| 24     | -46.9351   | 5.0403        | 20157.492 | -46.9350   | 5.0406        | 20157.235 |

**Uygulama:** Yörünge TLE (Two-Line Elements Set) verilerinden yararlanarak, uyduların yörüngesel, uzay sabit ve yer sabit koordinatlarının hesaplanması.

### TLE Format

COSMOS 2461 (735) → R024

1 36401U 10007B 15324.79906119 .00000010 00000-0 10000-3 0 9994  
2 36401 65.1470 84.1641 0007207 89.0266 359.2697 2.13102365 44530

|   |        |              | $t_0 = YrYrday$   | $\frac{\dot{n}}{2} \left[ \frac{rev}{day^2} \right]$ | $\frac{\ddot{n}}{6} \left[ \frac{rev}{day^3} \right]$ | B              |                                    |       |
|---|--------|--------------|-------------------|--|---|----------------|------------------------------------|-------|
| 1 | 36401U | 10007B       | 15324.79906119    | 0.00000010   | 0.00000e-0  | 0.10000e-3     | 0                                  | 9994  |
| 2 | 36401  | 65.1470      | 84.1641           | 0.0007207  | 89.0266   | 359.2697       | 2.13102365                         | 44530 |
|   |        | $i [^\circ]$ | $\Omega [^\circ]$ | $e [ ]$  | $\omega [^\circ]$                                     | $M_0 [^\circ]$ | $n \left[ \frac{rev}{day} \right]$ |       |

### TLE Verileri:

$$t_0 = 2015^{Year} \oplus 324.79906119^{Day/Year}$$

$$\frac{\dot{n}}{2} = 0.00000010 \left[ \frac{rev}{day^2} \right]$$

$$\frac{\ddot{n}}{6} = 0.00000e-0 \left[ \frac{rev}{day^3} \right]$$

$$B = 0.10000e-3 \rightarrow BC \text{ (Ballistic Correction)} = \frac{1}{12.74162 B} \left[ \frac{kg}{m^2} \right]$$

$$i = 65.1470 [^\circ]$$

$$\Omega = 84.1641 [^\circ]$$

$$e = 0.0007207 [ ]$$

$$\omega = 89.0266 [^\circ]$$

$$M_0 = 359.2697 [^\circ]$$

$$n_0 = 2.13102365 \left[ \frac{rev}{day} \right]$$

$$\Delta t = t_k - t_0$$

$$n_k = n_0 + \frac{\dot{n}}{2} \Delta t + \frac{\ddot{n}}{6} \Delta t^2 \left[ \frac{rev}{day} \right] \rightarrow a_k = 3 \sqrt{\frac{\mu}{n_k^2}} [km]$$

$$M_k = M_0 + n_k \Delta t \left[ \frac{rev}{day} \right]$$

### KAYNAKLAR

A.H. Murad, K.D. Jang, G. Atallah, R. Karne, J. Baras (1995), *A Summary of Satellite Orbit Related Calculations*, Technical Research Report, CSHCN T.R. 95-12, (ISR T.R. 95-107).

David A. VALLADO (1997), *Fundamentals of Astrodynamics and Applications*, The McGraw-Hill Companies Inc., College Custom Series, ISBN 0-07-066829-9 (Hardcover), ISBN 0-07-066834-5 (Softcover)

*Definition of Two-line Element Set Coordinate System*, 21 Kasım 2015,

[http://spaceflight.nasa.gov/realdata/sightings/SSApplications/Post/JavaSSOP/SSOP\\_Help/tle\\_def.html](http://spaceflight.nasa.gov/realdata/sightings/SSApplications/Post/JavaSSOP/SSOP_Help/tle_def.html).

## \* R24 UYDUSUNUN TLE VERİLERİ

COSMOS 2461 (735)

1 36401U 10007B 15324.79906119 .00000010 00000-0 10000-3 0 9994  
 2 36401 65.1470 84.1641 0007207 89.0266 359.2697 2.13102365 44530

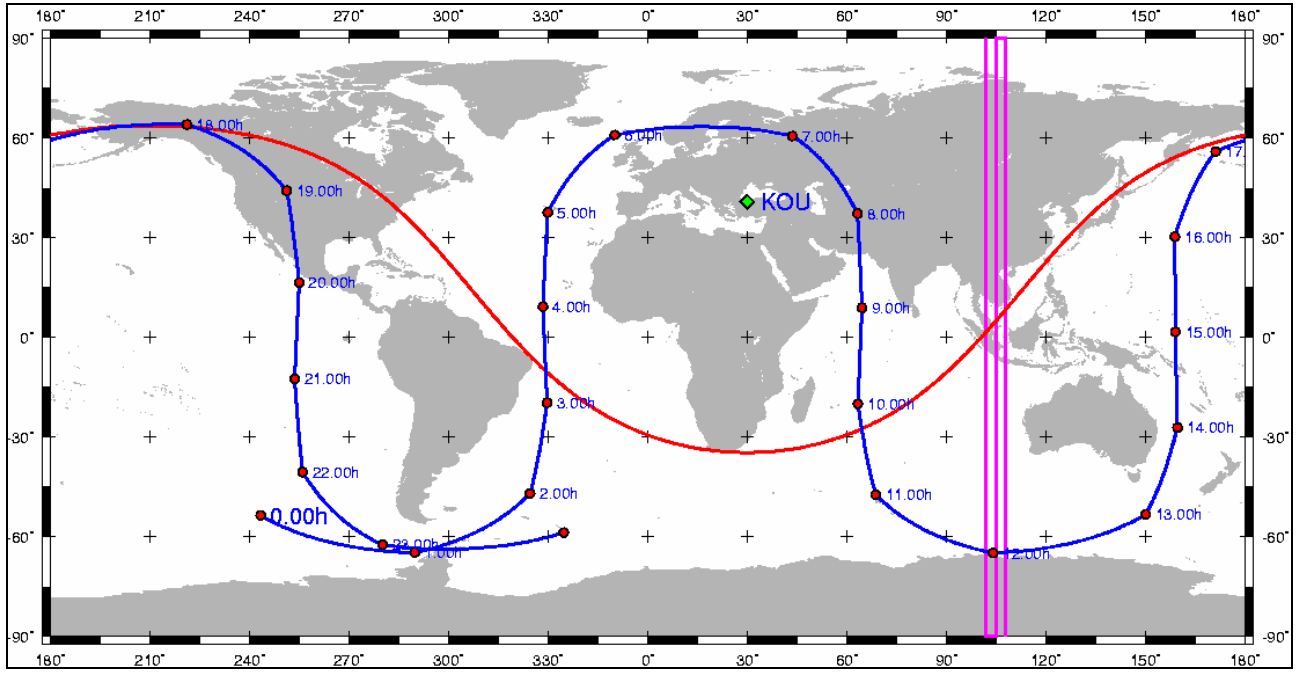
| > R24 <-----                   |          |                 |                |            |
|--------------------------------|----------|-----------------|----------------|------------|
| (1) Yörüngesel Koordinatlar    |          |                 |                |            |
| Tarih                          | Saat     | x [km]          | y [km]         | z [km]     |
| =====                          | =====    | =====           | =====          | =====      |
| 21 Kasım 2015                  | 6:00:00  | 24643.937       | -6513.661      | 0.000      |
|                                | 12:00:00 | -25491.656      | 1330.514       | 0.000      |
|                                | 18:00:00 | 25188.908       | 3905.163       | 0.000      |
| (2) Uzay Sabit Koordinatlar    |          |                 |                |            |
| Tarih                          | Saat     | Xu [km]         | Yu [km]        | Zu [km]    |
| =====                          | =====    | =====           | =====          | =====      |
| 21 Kasım 2015                  | 6:00:00  | -9551.425       | 7943.734       | 22258.005  |
|                                | 12:00:00 | 10468.112       | -2842.506      | -23107.002 |
|                                | 18:00:00 | -10911.545      | -2379.535      | 22913.040  |
| (3) Yer Sabit Koordinatlar     |          |                 |                |            |
| Tarih                          | Saat     | Xe [km]         | Ye [km]        | Ze [km]    |
| =====                          | =====    | =====           | =====          | =====      |
| 21 Kasım 2015                  | 6:00:00  | 12237.276       | -2140.491      | 22258.005  |
|                                | 12:00:00 | -2650.521       | 10518.363      | -23107.002 |
|                                | 18:00:00 | -8410.070       | -7348.110      | 22913.040  |
| (4) Jeodezik Eğri Koordinatlar |          |                 |                |            |
| Tarih                          | Saat     | B               | L              | h [km]     |
| =====                          | =====    | =====           | =====          | =====      |
| 21 Kasım 2015                  | 6:00:00  | 60° 52' 23.90"  | 350° 4' 42.39" | 19128.390  |
|                                | 12:00:00 | -64° 53' 24.15" | 104° 8' 36.60" | 19165.741  |
|                                | 18:00:00 | 64° 3' 10.46"   | 221° 8' 40.58" | 19128.972  |
| (5) Projeksiyon Koordinatları  |          |                 |                |            |
| Tarih                          | Saat     | Saga [km]       | Yukarı [km]    | DOM        |
| =====                          | =====    | =====           | =====          | =====      |
| 21 Kasım 2015                  | 6:00:00  | 449.960         | 6749.027       | 351° 0' 0" |
|                                | 12:00:00 | 459.445         | -7196.475      | 105° 0' 0" |
|                                | 18:00:00 | 604.684         | 7104.672       | 219° 0' 0" |

## \* G32 UYDUSUNUN TLE VERİLERİ

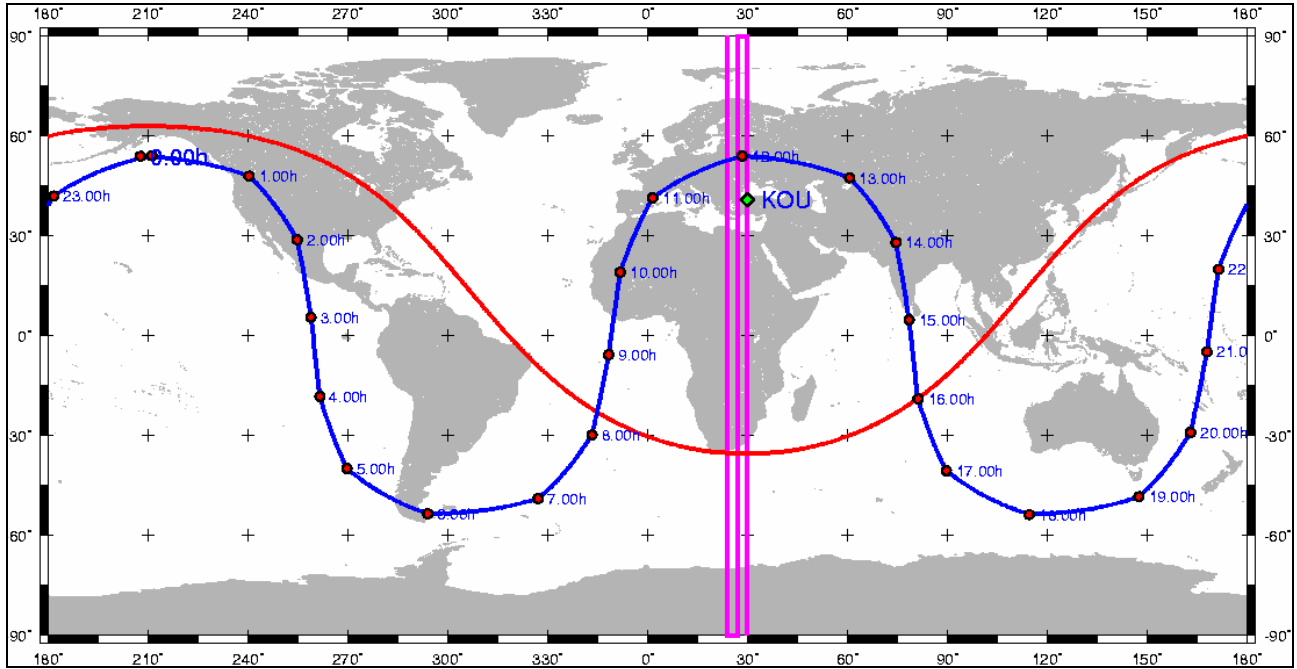
GPS BIIA-10 (PRN 32)

1 20959U 90103A 15324.88604360 .00000063 00000-0 00000+0 0 9996  
 2 20959 54.2488 187.8975 0113282 8.9753 351.3151 2.00565413182985

| > G32 <-----                   |          |                 |                 |            |
|--------------------------------|----------|-----------------|-----------------|------------|
| (1) Yörüngesel Koordinatlar    |          |                 |                 |            |
| Tarih                          | Saat     | x [km]          | y [km]          | z [km]     |
| 21 Kasım 2015                  | 6:00:00  | -7852.249       | -25462.465      | 0.000      |
|                                | 12:00:00 | 6465.369        | 25682.226       | 0.000      |
|                                | 18:00:00 | -7400.117       | -25592.190      | 0.000      |
| (2) Uzay Sabit Koordinatlar    |          |                 |                 |            |
| Tarih                          | Saat     | Xu [km]         | Yu [km]         | Zu [km]    |
| 21 Kasım 2015                  | 6:00:00  | 1630.436        | 15784.180       | -21405.521 |
|                                | 12:00:00 | -239.514        | -15591.651      | 21406.092  |
|                                | 18:00:00 | 1163.405        | 15753.370       | -21452.266 |
| (3) Yer Sabit Koordinatlar     |          |                 |                 |            |
| Tarih                          | Saat     | Xe [km]         | Ye [km]         | Ze [km]    |
| 21 Kasım 2015                  | 6:00:00  | 6436.600        | -14504.098      | -21405.521 |
|                                | 12:00:00 | 13709.644       | 7429.845        | 21406.092  |
|                                | 18:00:00 | -6580.381       | 14360.389       | -21452.266 |
| (4) Jeodezik Eğri Koordinatlar |          |                 |                 |            |
| Tarih                          | Saat     | B               | L               | h [km]     |
| 21 Kasım 2015                  | 6:00:00  | -53° 29' 38.46" | 293° 55' 50.15" | 20281.394  |
|                                | 12:00:00 | 53° 58' 19.85"  | 28° 27' 18.60"  | 20119.370  |
|                                | 18:00:00 | -53° 40' 40.88" | 114° 37' 7.46"  | 20276.335  |
| (5) Projeksiyon Koordinatları  |          |                 |                 |            |
| Tarih                          | Saat     | Saga [km]       | Yukarı [km]     | DOM        |
| 21 Kasım 2015                  | 6:00:00  | 694.396         | -5931.226       | 291° 0' 0" |
|                                | 12:00:00 | 595.446         | 5981.407        | 27° 0' 0"  |
|                                | 18:00:00 | 342.721         | -5950.334       | 117° 0' 0" |



**Şekil A.** R24 Uydusunun izi, Saat 12'deki 6° lik dilimi ve KOU ( $40.82^\circ$ ,  $29.92^\circ$ ,  $0.380\text{km}$ ) noktasına göre gözlem penceresi (kırmızı).



**Şekil B.** G32 Uydusunun izi, Saat 12'deki 6° lik dilimi ve KOU ( $40.82^\circ$ ,  $29.92^\circ$ ,  $0.380\text{km}$ ) noktasına göre gözlem penceresi (kırmızı).

**Uygulama:** Yörünge bilgileri SEM (System Effectiveness Model) formatında verilen **G16** GPS uydusunun, 24 saat içinde 50 adet konumunun hesaplanması ve gözlem penceresinin **HRT110** konumuna göre çizdirilmesi. Zenit açısı en küçük ve en büyük olan (**Zmin ve Zmax**), uydu anını ve bu ana ait yermerkezli koordinatların ve istasyon merkezli kutupsal koordinatların hesaplanması.

'almanac.sem.week0898.503808.txt'

```

31  CURRENT.ALM
    898 503808
1
63
0
5.98621368408203E-03  7.29179382324219E-03  -2.61206878349185E-09
5.15363671875000E+03  3.54790806770325E-01  1.79955840110779E-01
-1.40714168548584E-01  4.00543212890625E-05  0.00000000000000E+00
0
11
.....
16
56
0
8.76522064208984E-03  1.52683258056641E-02  -2.43016984313726E-09
5.15355761718750E+03  -2.90018916130066E-01  1.21350646018982E-01
8.46837759017944E-01  1.52587890625000E-05  0.00000000000000E+00
0
9
.....
32
70
0
6.10828399658203E-04  5.35202026367188E-03  -2.50292941927910E-09
5.15361914062500E+03  -9.82450366020203E-01  -8.06248188018799E-01
7.41318583488464E-01  -1.93595886230469E-04  -1.81898940354586E-11
0
11

```

#### SEM Formatı

Uydu Sayısı CURRENT.ALM

**Değiş.GPS Haftası (W0)** GPS Haf. Saniyesi ( $t_0=t_c$ )

PRN Numarası (Pseudo Random Noise)

SVN Numarası (Satellite Vehicle Number)

URA Sayısı (User Range Accuracy)

$e$  []  $d_i$  [yp]  $d_\ell$  [yp/sn]

$va$  [vm]  $\ell$  [yp]  $w$  [yp]

$M$  [yp]  $f_1$  [s]  $f_2$  []

Sağlıklı mı (=0 çalışıyor)

Uydu Konfigurasyonu

**Not:** yp = yarım periyot (semicircle) (radyana dönüştürmek için  $\pi$  ile çarpılır)



**ÇÖZÜM:**

&gt; BN(k): G16

| k  | YL/AY/GN-st:dk:        | sn | X [km]       | Y [km]        | Z [km]        | T [Ms]    |
|----|------------------------|----|--------------|---------------|---------------|-----------|
| 1  | 2016/11/10-00:00:00.00 |    | -5949.176279 | -15506.089582 | -20727.198503 | 15.258789 |
| 2  | 2016/11/10-00:29:24.00 |    | -3601.100832 | -19145.699568 | -17965.909255 | 15.258789 |
| .. | .....                  |    | .....        | .....         | .....         | .....     |
| 15 | 2016/11/10-06:51:36.00 |    | 22294.025754 | -1744.624223  | 14524.449505  | 15.258789 |
| .. | .....                  |    | .....        | .....         | .....         | .....     |
| 49 | 2016/11/10-23:31:12.00 |    | -8426.872025 | -12380.464630 | -21995.603906 | 15.258789 |
| 50 | 2016/11/10-24:00:36.00 |    | -5518.865408 | -16109.587205 | -20370.527112 | 15.258789 |
| == | =====                  |    | =====        | =====         | =====         | =====     |

DN(j): HRT110

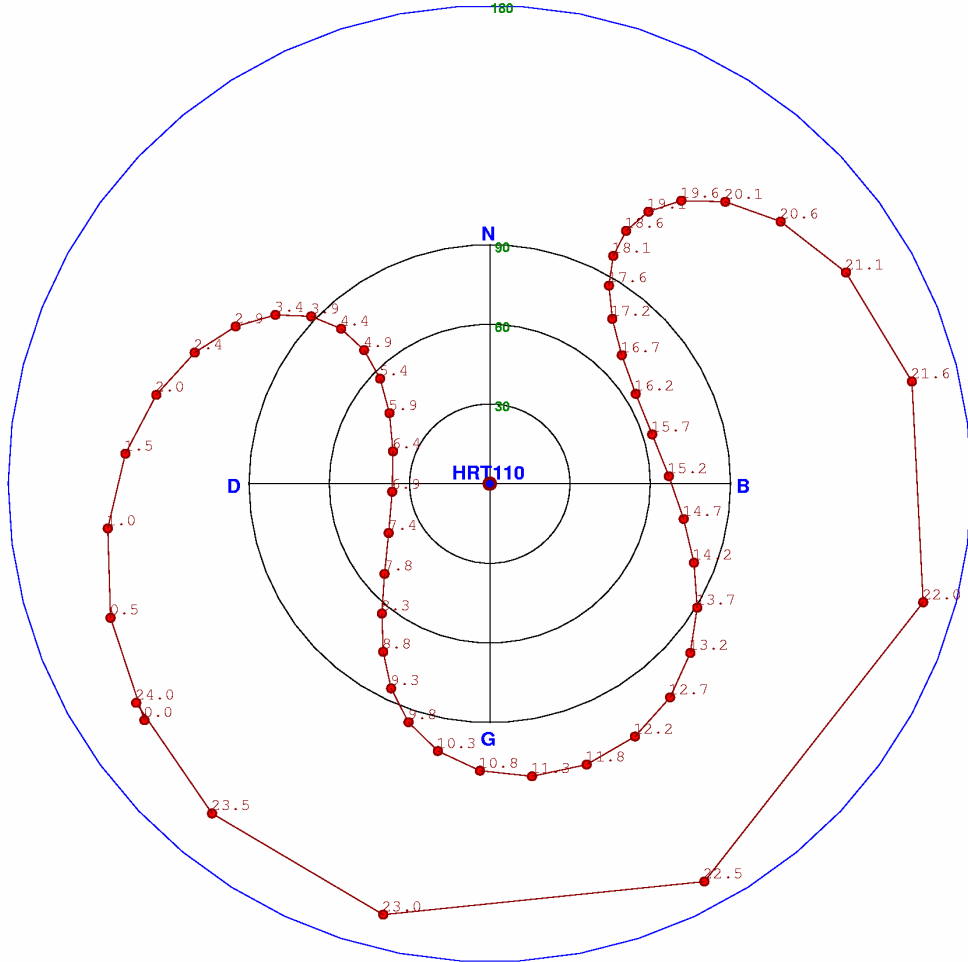
Bj= 40.860417 o Lj= 29.970083 o hj= 386.000000 km  
Xj= 4185.062588 km Yj= 2413.334281 km Zj= 4150.964535 km

BN(k): G16 tk= 6.86 saat (Zmin)

Ajk= 265.215399 o Zjk= 36.616513 o Sjk= 21279.857995 km  
Xk= 22294.025754 km Yk= -1744.624223 km Zk= 14524.449505 km

BN(k): G16 tk=22.54 saat (Zmax)

Ajk= 151.827021 o Zjk= 169.925291 o Sjk= 32958.797791 km  
Xk=-15555.203014 km Yk= -5827.687989 km Zk=-20922.723223 km



**Uygulama:** Yörünge bilgileri SP3 (Standart Product 3) formatında verilen **R05** GLONASS uydusunun, 24 saat içinde 50 adet konumunun hesaplanması ve gözlem penceresinin **HRT110** konumuna göre çizdirilmesi. Zenit açısı en küçük ve en büyük olan (**Zmin** ve **Zmax**), uydu anını ve bu ana ait yermerkezli koordinatların ve istasyon merkezli kutupsal koordinatların hesaplanması.

> BN(k): R05

| k  | YL/AY/GN-st:dk:        | sn | X [km]        | Y [km]       | Z [km]       | T [Ms]     |
|----|------------------------|----|---------------|--------------|--------------|------------|
| 1  | 2016/11/07-00:00:00.00 |    | -21368.041193 | 8814.127005  | 10768.341069 | -46.753538 |
| 2  | 2016/11/07-00:29:24.00 |    | -18743.888190 | 6913.948033  | 15843.120582 | -47.793324 |
| .. | .....                  |    | .....         | .....        | .....        | .....      |
| 27 | 2016/11/07-12:44:24.00 |    | 12285.157602  | 2561.643090  | 22194.118045 | -46.894237 |
| .. | .....                  |    | .....         | .....        | .....        | .....      |
| 49 | 2016/11/07-23:30:72.00 |    | -15872.194433 | -2118.159157 | 19841.033790 | -52.449268 |
| 50 | 2016/11/07-24:00:36.00 |    | -11536.022774 | -4825.358506 | 22219.408619 | -57.041641 |

DN(j): HRT110

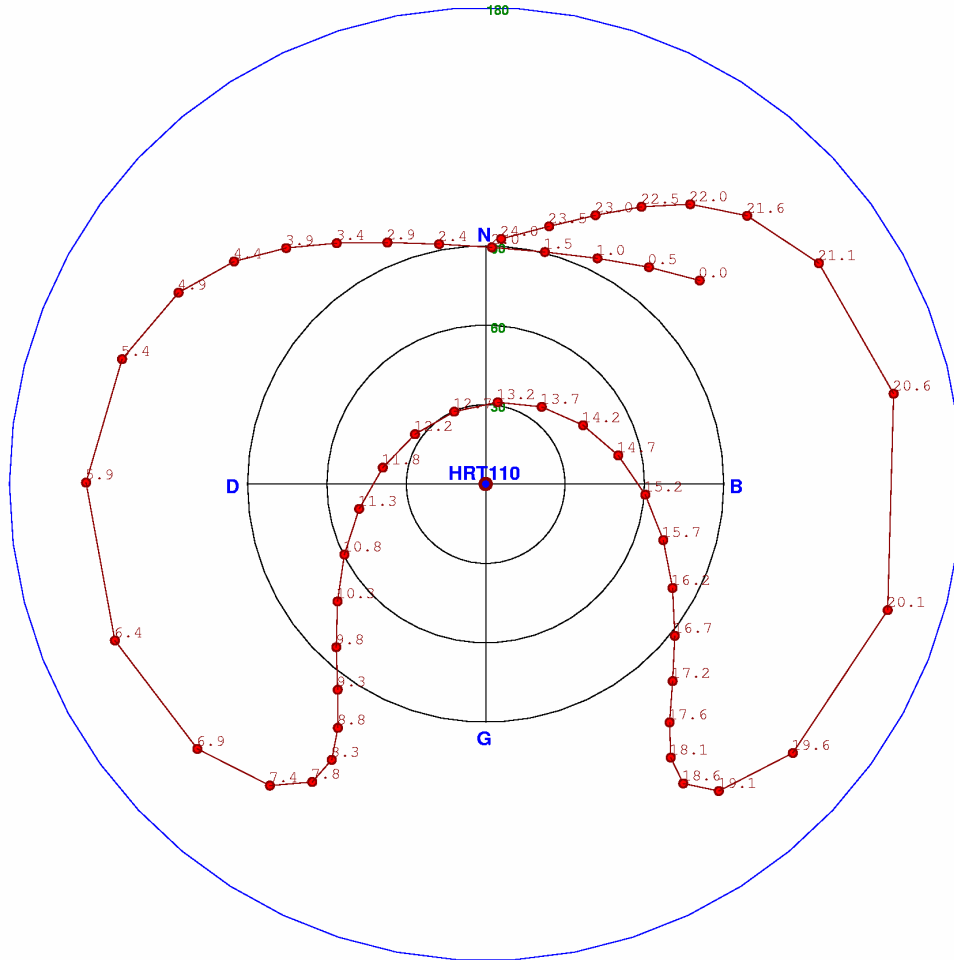
Bj= 40.860417 o Lj= 29.970083 o hj= 386.000000 km  
Xj= 4185.062588 km Yj= 2413.334281 km Zj= 4150.964535 km

BN(k): R05 tk=12.74 saat (**Zmin**)

Ajk= 336.491741 o Zjk= 29.776099 o Sjk= 19778.496488 km  
Xk= 12285.157602 km Yk= 2561.643090 km Zk= 22194.118045 km

BN(k): R05 tk=20.09 saat (**Zmax**)

Ajk= 107.405299 o Zjk= 159.254020 o Sjk= 31367.606661 km  
Xk=-18446.496118 km Yk= 1601.717205 km Zk=-17553.426170 km



**Şekil A. R05** (GLONASS) numaralı udunun **HRT110** konumna göre gözlem penceresi (Bütün hareketi gözükcek şekilde çizilmiştir)

## 7. POLİNOMSAL DÖNÜŞÜM

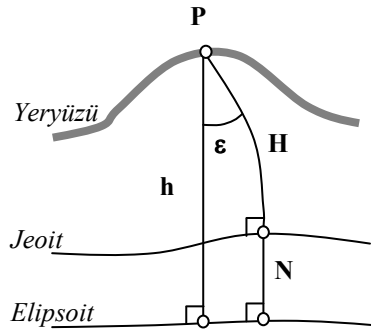
Polinomsal dönüşümler aralarındaki geometrik ilişkinin bilinmediği iki koordinat yada yükseklik sistemi arasındaki veya hızları bilinen noktalardan yararlanarak hızların bilinmediği diğer noktaların hızlarının kestirilmesinde yaygın olarak kullanılmaktadır. Genel polinomsal dönüşüm bağıntısı;

$$\chi_k = \sum_{j=0}^d \sum_{i=0}^d a_{ij} x_k^i y_k^j \quad \chi_k = \{X_k, Y_k, Z_k, N_k, V_{X_k}, V_{Y_k}, V_{Z_k}\}$$

şeklindedir. Bağıntıda  $d$ ; polinomun derecesi,  $x_k, y_k$ ; Gauss-Kruger (projeksiyon) koordinatları,  $a_{ij}$ ; bilinmeyen katsayılar,  $X_k, Y_k, (Z_k)$ ; dönüşen projeksiyon (3B kartezyen) koordinatları,  $N_k$ ; jeoit yükseklikleri (ondülasyonları),  $V_{X_k}, V_{Y_k}, V_{Z_k}$ ; nokta konum hızlarını göstermektedir.

### 7.1. 1B Dönüşüm (Yükseklik Dönüşümü, GNSS Nivelmanı)

Ortometrik yükseklikleri ve GPS yükseklikleri bilinen eşlenik noktalardan yararlanarak, sadece GPS yükseklikleri bilinen diğer noktaların ortometrik yüksekliklerini bulmaya GPS Nivelmanı yada Yükseklik Dönüşümü adı verilir.



|               |                                    |
|---------------|------------------------------------|
| $\varepsilon$ | P noktasındaki Çekül Sapması       |
| $h$           | P noktasının Elipsoit Yüksekliği   |
| $H$           | P noktasının Ortometrik Yüksekliği |
| $N$           | P noktasının Geoit Yüksekliği      |
| $x, y$        | P noktasının Yatay Koordinatları   |

$$h \approx H \cos \varepsilon + N$$

Pratikte daima  $\varepsilon \leq 60''$  olduğunda  $\cos \varepsilon > 0.99999996 \approx 1$  olur.

$$h \approx H + N$$

$n$

$$N_i = h_i - H_i$$

$$N_i = a + b y_i + c x_i$$

$$N_i = a + b y_i + c x_i + d y_i x_i$$

$$N_i = a + b y_i + c x_i + d y_i x_i + e y_i^2 + f x_i^2$$

Ortak nokta sayısı

$$i = \{1, 2, \dots, n\}$$

Birinci Derece Doğrusal Geoit yükseklik modeli

Birinci Derece Eğrisel Geoit yükseklik modeli

İkinci Derece Geoit yükseklik modeli

Yükseklik dönüşümünde genellikle polinomsal fonksiyonlar kullanılır. Çalışılan alan büyüdükçe polinomun derecesi artırılmalıdır. 10km yarıçaplı bir alan içerisinde birinci (doğrusal) derece polinom yüzeyi yeterlidir. Birinci derece polinomsal yüzey cep hesaplayıcıları ile kolayca hesaplanabilir.

### Jeodezik koordinatlarla (B,L);

$$B_M = \sum_{i=1}^n B_i / n$$

$$L_M = \sum_{i=1}^n L_i / n$$

Ağırlık merkezinin koordinatları

$$y_i = B_i - B_M$$

$$x_i = L_i - L_M$$

Ağırlık merkezine ötelenmiş koordinatlar

### Projeksiyon koordinatlarıyla (x,y);

$$y_M = \sum_{i=1}^n y_i / n$$

$$x_M = \sum_{i=1}^n x_i / n$$

Ağırlık merkezinin koordinatları

$$y_i = y_i - y_M$$

$$x_i = x_i - x_M$$

Ağırlık merkezine ötelenmiş koordinatlar

$$N_i = a + b y_i + c x_i \quad i = \{1, 2, \dots, n\}$$

$$\underline{\underline{A}} \underline{\underline{x}} = \underline{\underline{b}} \rightarrow \begin{bmatrix} 1 & y_1 & x_1 \\ 1 & y_2 & x_2 \\ \dots & \dots & \dots \\ 1 & y_n & x_n \end{bmatrix} \begin{bmatrix} a \\ b \\ c \end{bmatrix} = \begin{bmatrix} N_1 \\ N_2 \\ \dots \\ N_n \end{bmatrix} \quad \underline{\underline{A}}^T \underline{\underline{A}} \underline{\underline{x}} = \underline{\underline{A}}^T \underline{\underline{b}} \rightarrow \begin{bmatrix} n & 0 & 0 \\ 0 & [y^2] & [yx] \\ 0 & [yx] & [x^2] \end{bmatrix} \begin{bmatrix} a \\ b \\ c \end{bmatrix} = \begin{bmatrix} [N] \\ [yN] \\ [xN] \end{bmatrix}$$

$$\underline{\underline{x}} = \underline{\underline{Q}} \underline{\underline{A}}^T \underline{\underline{b}} \rightarrow \begin{bmatrix} a \\ b \\ c \end{bmatrix} = \begin{bmatrix} 1/n & 0 & 0 \\ 0 & [x^2]/D & -[yx]/D \\ 0 & -[yx]/D & [y^2]/D \end{bmatrix} \begin{bmatrix} [N] \\ [yN] \\ [xN] \end{bmatrix} = \begin{bmatrix} [N]/n \\ \left\{ [x^2][yN] - [yx][xN] \right\} / D \\ \left\{ [y^2][xN] - [yx][yN] \right\} / D \end{bmatrix}$$

$$a = \frac{[N]}{n} \quad b = \frac{[x^2][yN] - [yx][xN]}{D} \quad c = \frac{[y^2][xN] - [yx][yN]}{D}$$

$$v_i = a + b y_i + c x_i - N_i \quad m_0 = \pm \sqrt{\frac{[vv]}{n-3}}$$

$$N_k = a + b y_k + c x_k$$

$$H_k = h_k - N_k$$

$$k = \{1, 2, \dots, m\}$$

Yeni Noktaların jeoit yükseklikleri  
Yeni Noktaların ortometrik yükseklikleri

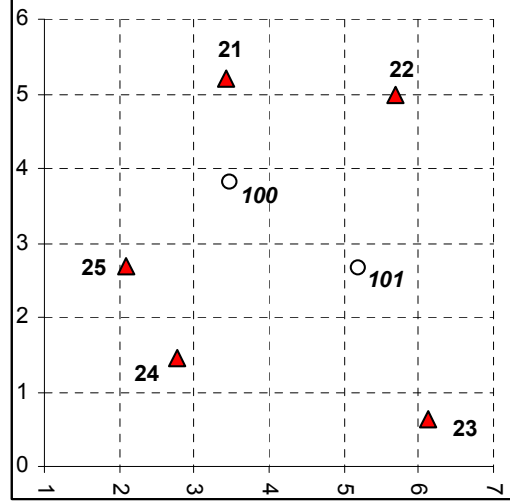
**Uygulama:** Aşağıda GPS yükseklikleri ( $h_i$ ), ortometrik yükseklikleri ( $H_i$ ) bilinen **21, 22, 23, 24, 25** numaralı noktalardan yararlanarak lineer yükseklik modelindeki ( $h_i - H_i = N_i = a + by_i + cx_i$ ) dönüşüm parametrelerini (**a, b, c**) hesaplayınız. Bu dönüşüm parametrelerinden yararlanarak **100 ve 101** numaralı noktaların jeoit yüksekliklerini ve ortometrik yüksekliklerini bulunuz.

**Verilenler :**

| i | NN | $y_i$ [km] | $x_i$ [km] | $h_i$ [m] | $H_i$ [m] |
|---|----|------------|------------|-----------|-----------|
| 1 | 21 | 3.43       | 5.20       | 243.29    | 220.834   |
| 2 | 22 | 5.70       | 5.00       | 24.52     | 2.042     |
| 3 | 23 | 6.14       | 0.63       | 71.65     | 49.198    |
| 4 | 24 | 2.78       | 1.44       | 403.73    | 381.260   |
| 5 | 25 | 2.10       | 2.68       | 36.23     | 13.747    |

ortlm: 4.03 2.99

|   |     |      |      |       |  |
|---|-----|------|------|-------|--|
| 6 | 100 | 3.47 | 3.82 | 27.97 |  |
| 7 | 101 | 5.21 | 2.67 | 45.38 |  |



**İsteneler:**

a, b, c katsayıları ve  $H_{100}$ ,  $H_{101}$

**Çözüm:**

| i | NN | $y_i$ [km] | $x_i$ [km] | $h_i$ [m] | $H_i$ [m] | $N_i$ [m] | $v_i$ [m] |
|---|----|------------|------------|-----------|-----------|-----------|-----------|
| 1 | 21 | -0.60      | 2.21       | 243.29    | 220.834   | 22.456    | 1.66      |
| 2 | 22 | 1.67       | 2.01       | 24.52     | 2.042     | 22.478    | -1.29     |
| 3 | 23 | 2.11       | -2.36      | 71.65     | 49.198    | 22.452    | 0.60      |
| 4 | 24 | -1.25      | -1.55      | 403.73    | 381.260   | 22.470    | -0.02     |
| 5 | 25 | -1.93      | -0.31      | 36.23     | 13.747    | 22.483    | -0.94     |

0.00 0.00

$[vv] = 5.6637$

$m_0 = 1.68 \text{ cm}$

$$\underline{A} = \begin{bmatrix} 1 & -0.60 & 2.21 \\ 1 & 1.67 & 2.01 \\ 1 & 2.11 & -2.36 \\ 1 & -1.25 & -1.55 \\ 1 & -1.93 & -0.31 \end{bmatrix} \quad \underline{x} = \begin{bmatrix} a \\ b \\ c \end{bmatrix} \quad \underline{b} = \begin{bmatrix} 22.456 \\ 22.478 \\ 22.452 \\ 22.470 \\ 22.483 \end{bmatrix}$$

$$\underline{A}^T \underline{A} = \begin{bmatrix} 5.0000 & 0.0000 & 0.0000 \\ 0.0000 & 12.8884 & -0.4131 \\ 0.0000 & -0.4131 & 16.9924 \end{bmatrix} \quad \underline{A}^T \underline{b} = \begin{bmatrix} 112.3390 \\ -0.0413 \\ 0.0236 \end{bmatrix}$$

$$\underline{Q} = \begin{bmatrix} 0.2000 & 0.0000 & 0.0000 \\ 0.0000 & 0.0776 & 0.0019 \\ 0.0000 & 0.0019 & 0.0589 \end{bmatrix} \quad \underline{x} = \begin{bmatrix} a \\ b \\ c \end{bmatrix} = \begin{bmatrix} 22.4678 \\ -0.0032 \\ 0.0013 \end{bmatrix}$$

$$N_k = 22.4678 - 0.0032 y_k + 0.0013 x_k \quad \{k=100, 101\}$$

| k | NN  | $y_k$ [km] | $x_k$ [km] | $h_k$ [m] | $N_k$ [m] | $H_k$ [m] |
|---|-----|------------|------------|-----------|-----------|-----------|
| 1 | 100 | -0.56      | 0.83       | 27.97     | 22.47     | 5.50      |
| 2 | 101 | 1.18       | -0.32      | 45.38     | 22.46     | 22.92     |

**ÖDEV :** Matrisle çözülmüş olan bu uygulamayı doğrudan hesaplayabilen bağıntılarla çözünüz.

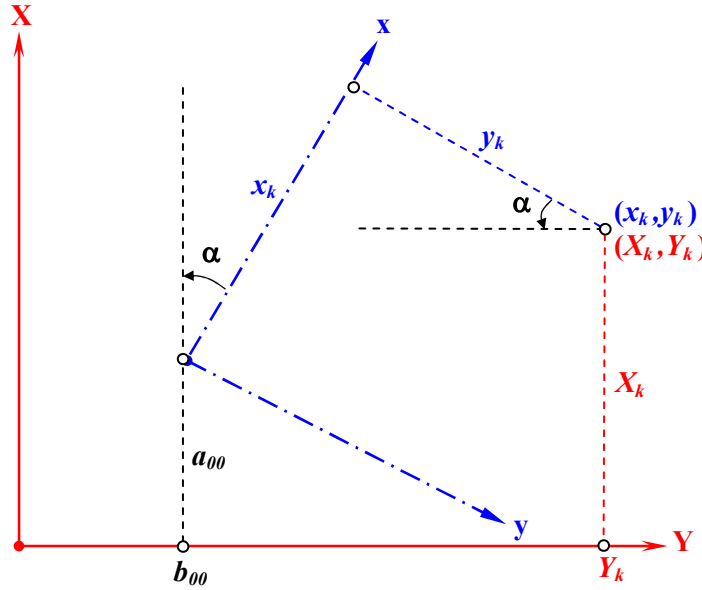
## 7.2. 2B Benzerlik (Helmert) Dönüşümü

Uygulamada yaygın olarak kullanılan 2B benzerlik (Helmert) ve afin dönüşüm modelleri her bir koordinat çifti için yazılan polinomsal fonksiyonun özel halleridir. Dönüştürülen koordinatlar  $(xy)$  ve dönüşen koordinatlar  $(XY)$  olacak şekilde gösterilirse, polinomsal model aşağıdaki gibi yazılır (ŞEKİL 1).

$$X_k = \sum_{j=0}^d \sum_{i=0}^d a_{ij} x_k^i y_k^j$$

$$Y_k = \sum_{j=0}^d \sum_{i=0}^d b_{ij} x_k^i y_k^j$$

(3) bağıntılarındaki  $d$  polinomun derecesini göstermektedir. Bu bağıntılarda  $d=1$  alınırsa, bilineer dönüşüm modeli, ek olarak  $i+j \leq d$  koşulu eklenirse afin dönüşüm modeli ve bunlara ek olarak  $a_{10}=b_{01}$  ve  $-a_{01}=b_{10}$  alınırsa benzerlik (Helmert) dönüşüm modeli elde edilir.



ŞEKİL 1 Afin ( $\alpha \neq \beta$ ,  $k_x \neq k_y$ ,  $a_{11}=b_{11}=0$ ) ve benzerlik ( $\alpha=\beta$ ,  $k_x=k_y$ ,  $a_{11}=b_{11}=0$ ) dönüşümü.

Yukarıda genel şekli verilen ve özetlenen 2B dönüşümlerin fonksiyonel modelleri, ayrı başlıklar altında ayrıntılı olarak incelenecektir (ŞEKİL 1).

Benzerlik dönüşümü afin dönüşümün özel bir halidir. Benzerlik dönüşümü hem paralelliği hem de dikliği korur. Dönüşüm sonucunda geometrik şeklin ötelenmişi, ölçeklendirilmişi ve döndürülmüşü elde edilirken benzerliği korunur. Afin dönüşümünde  $a_{10}=b_{01}$  ve  $a_{01}=-b_{10}$  alınarak benzerlik dönüşüm modeli elde edilir.

$$X_k = a_{00} + a_{10}x_k - b_{10}y_k = a_{00} + \lambda \cos \alpha x_k - \lambda \sin \alpha y_k$$

$$Y_k = b_{00} + b_{10}x_k + a_{10}y_k = b_{00} + \lambda \sin \alpha x_k + \lambda \cos \alpha y_k \quad k = 1, 2, \dots, n$$

Ayrıca bu bağıntılarında polinomsal katsayıların dönüşümün geometrisi ( $\lambda=\mu$  ve  $\alpha=\beta$ ) ile ilgili bağıntıları da verilmiştir (ŞEKİL 1).

Yukarıdaki bağıntılarında  $\lambda$  ve  $\alpha$  parametreleri sırasıyla her iki eksen yönündeki ölçek ve dönüklüğü, göstermektedir.  $\lambda$ ,  $\alpha$  biliniyorken  $a_{10}$ ,  $b_{10}$  polinom katsayıları yukarıdaki bağıntılarda verilen ilişkilerden hesaplanır. Polinom katsayıları biliniyorken, ölçek ve dönüklük parametreleri aşağıdaki bağıntılarla bulunur.

$$\lambda = \sqrt{a_{10}^2 + b_{10}^2}$$

$$\alpha = \arctan \left\{ \frac{b_{10}}{a_{10}} \right\}$$

**Uygulama: 2B yaklaşık WGS84 → ED50 datuma benzerlik dönüşümü sonuçları.**

| I. Sistem Koordinatlari |      |             |            | II. Sistem Koordinatlari |            |
|-------------------------|------|-------------|------------|--------------------------|------------|
| i                       | N.N. | x (m)       | y (m)      | X (m)                    | Y (m)      |
| 1                       | 1    | 4516811.575 | 412498.698 | 4516991.120              | 412531.790 |
| 2                       | 2    | 4519059.719 | 417229.013 | 4519239.270              | 417262.120 |
| 3                       | 3    | 4513579.727 | 416247.564 | 4513759.260              | 416280.650 |

Helmert Donusum Paremetreleri

$$X = a \cdot x - o \cdot y + t_x$$
$$Y = o \cdot x + a \cdot y + t_y$$

$a = k \cdot \cos(A)$  $a = 1.00000259$

$o = k \cdot \sin(A)$  $o = 0.00000198$

$k = 1.000003$  $A = 0.0001$  $t_x = 168.647$  $t_y = 23.067$

| Verilen Koordinatlar |      | Hesaplanan Koordinatlar |            | Duzeltmeler |            |        |        |
|----------------------|------|-------------------------|------------|-------------|------------|--------|--------|
| i                    | N.N. | x (m)                   | y (m)      | X (m)       | Y (m)      | vx=X-x | vy=Y-y |
| 1                    | 1    | 4516991.120             | 412531.790 | 4516991.124 | 412531.786 | .0045  | -.0040 |
| 2                    | 2    | 4519239.270             | 417262.120 | 4519239.265 | 417262.118 | -.0051 | -.0016 |
| 3                    | 3    | 4513759.260             | 416280.650 | 4513759.261 | 416280.656 | .0006  | .0056  |

[vx2+vy2] = 0.0001

f = 2

mo = 0.0069

Olcek Parametresinin Testi

1 / 385408.65 <= 1 / 50000.00 --> 0.26ppm

F - Dagilimine gore olcek testi

Tolc=3.87 <= F(1, 2 , 0.95 ) =10.48 --> Olcek parametresi anlamsizdir

t - Dagilimine gore olcek testi

Tolc=1.97 <= t( 2 , 0.975 ) =4.27 --> Olcek parametresi anlamsizdir

Koordinatlarin Tek Tek Uyusum Testi

| i | N.N. | vx(m) | qvx  | svx0 | mvx  | Tvx  | vy(m) | qvy  | svy0 | mvy  | Tvy  |
|---|------|-------|------|------|------|------|-------|------|------|------|------|
| 1 | 1    | .004  | .374 | .007 | .004 | 1.11 | -.004 | .374 | .007 | .004 | 0.90 |
| 2 | 2    | -.005 | .295 | .003 | .002 | 3.20 | -.002 | .295 | .009 | .005 | 0.31 |
| 3 | 3    | .001  | .331 | .010 | .006 | 0.11 | .006  | .331 | .001 | .001 | 8.80 |

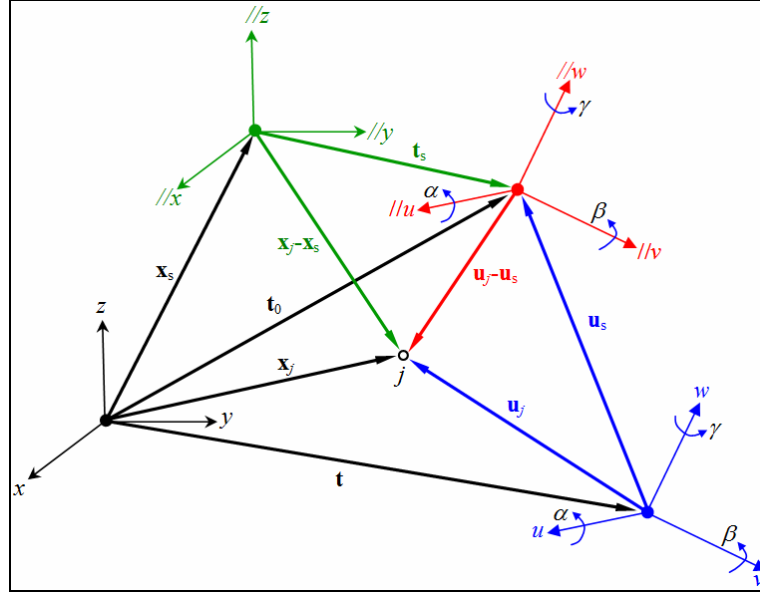
(\*) Olan nokta uyusumsuzdur.

t(2\*n-4-1,1- 0.05 /2n) = t( 1 , 0.991666666666667 ) = 27.79

| I. Sistem Koordinatlari |      |             |            | II. Sistem Koordinatlari |            |
|-------------------------|------|-------------|------------|--------------------------|------------|
| i                       | N.N. | x (m)       | y (m)      | X (m)                    | Y (m)      |
| 1                       | 1    | 4516811.575 | 412498.698 | 4516991.120              | 412531.790 |
| 2                       | 2    | 4519059.719 | 417229.013 | 4519239.270              | 417262.120 |
| 3                       | 3    | 4513579.727 | 416247.564 | 4513759.260              | 416280.650 |
| 4                       | 4    | 4514074.735 | 414856.000 | 4514254.273              | 414889.089 |
| 5                       | 5    | 4514074.441 | 413899.700 | 4514253.980              | 413932.787 |
| 6                       | 6    | 4515169.738 | 415205.200 | 4515349.278              | 415238.292 |

### 7.4. 3B Benzerlik (Helmert) Dönüşümü

3B benzerlik dönüşümü genellikle yersel datumlar arasında uygulanır. Bu tür datumlar arasındaki dönüşümlerde sırasıyla X, Y ve Z eksenleri etrafındaki dönüklükler  $\alpha \approx \beta \approx \gamma \approx 0$  ve ölçek katsayısı  $k \approx 1$  dir.



Şekil 3B Dönüşümlerin Geometrik Yapısı

$$\mathbf{u}_j = \begin{bmatrix} u_j & v_j & w_j \end{bmatrix}^T, \mathbf{x}_j = \begin{bmatrix} x_j & y_j & z_j \end{bmatrix}^T, j \in \{1, 2, \dots, n\}$$

$$\mathbf{t} = \begin{bmatrix} t_x & t_y & t_z \end{bmatrix}^T, \mathbf{R} = \begin{bmatrix} 1 & \gamma & -\beta \\ -\gamma & 1 & \alpha \\ \beta & -\alpha & 1 \end{bmatrix}, \lambda = 1 + \Delta$$

$$\mathbf{x}_j = \mathbf{t} + \lambda \mathbf{R} \mathbf{u}_j$$

Bursa-Wolf

$$\mathbf{a} = \begin{bmatrix} \alpha & \beta & \gamma \end{bmatrix}^T, \mathbf{D}_j = \begin{bmatrix} 0 & -w_j & v_j \\ w_j & 0 & -u_j \\ -v_j & u_j & 0 \end{bmatrix}$$

$$\mathbf{x}_j - \mathbf{u}_j = \begin{bmatrix} \mathbf{I} & \mathbf{D}_j & \mathbf{u}_j \end{bmatrix} \begin{bmatrix} \mathbf{t} \\ \mathbf{a} \\ \Delta \end{bmatrix}$$

Bursa-Wolf Çözüm

$$\mathbf{x}_j = \mathbf{t}_0 + \lambda \mathbf{R} \bar{\mathbf{u}}_j$$

Molodensky-Badekas

$$\bar{\mathbf{u}}_j = \mathbf{u}_j - \mathbf{u}_s, \bar{\mathbf{x}}_j = \mathbf{x}_j - \mathbf{x}_s, \bar{\mathbf{t}}_0 = \mathbf{t}_0 - \mathbf{u}_s, \bar{\mathbf{D}}_j = \begin{bmatrix} 0 & -\bar{w}_j & \bar{v}_j \\ \bar{w}_j & 0 & -\bar{u}_j \\ -\bar{v}_j & \bar{u}_j & 0 \end{bmatrix}$$



$$\mathbf{x}_j - \mathbf{u}_j = \begin{bmatrix} \mathbf{I} & \overline{\mathbf{D}}_j & \overline{\mathbf{u}}_j \end{bmatrix} \begin{bmatrix} \overline{\mathbf{t}}_0 \\ \boldsymbol{\alpha} \\ \Delta \end{bmatrix} \quad \text{Molodensky-Badekas 1. Çözüm } \{ \mathbf{t} = \mathbf{u}_s + \overline{\mathbf{t}}_0 - \lambda \mathbf{R} \mathbf{u}_s \}$$

$$\mathbf{x}_j - \overline{\mathbf{u}}_j = \begin{bmatrix} \mathbf{I} & \overline{\mathbf{D}}_j & \overline{\mathbf{u}}_j \end{bmatrix} \begin{bmatrix} \mathbf{t}_0 \\ \boldsymbol{\alpha} \\ \Delta \end{bmatrix} \quad \text{Molodensky-Badekas 2. Çözüm } \{ \mathbf{t} = \mathbf{t}_0 - \lambda \mathbf{R} \mathbf{u}_s \}$$

$$\overline{\mathbf{x}}_j = \mathbf{t}_s + \lambda \mathbf{R} \overline{\mathbf{u}}_j \quad \text{Merkeze Ötellenmiş Model } \{ \mathbf{t}_s \approx \mathbf{0} \}$$

$$\overline{\mathbf{x}}_j - \overline{\mathbf{u}}_j = \begin{bmatrix} \mathbf{I} & \overline{\mathbf{D}}_j & \overline{\mathbf{u}}_j \end{bmatrix} \begin{bmatrix} \mathbf{t}_s \\ \boldsymbol{\alpha} \\ \Delta \end{bmatrix} \quad \text{Merkeze Ötellenmiş Çözüm } \{ \mathbf{t} = \mathbf{x}_s + \mathbf{t}_s - \lambda \mathbf{R} \mathbf{u}_s \}$$

$$\mathbf{R} = \mathbf{R}_1(\alpha) \mathbf{R}_2(\beta) \mathbf{R}_3(\gamma)$$

$$\mathbf{R} = \begin{bmatrix} \cos\beta \cos\gamma & \cos\beta \sin\gamma & -\sin\beta \\ \sin\alpha \sin\beta \cos\gamma - \cos\alpha \sin\gamma & \sin\alpha \sin\beta \sin\gamma + \cos\alpha \cos\gamma & \sin\alpha \cos\beta \\ \cos\alpha \sin\beta \cos\gamma + \sin\alpha \sin\gamma & \cos\alpha \sin\beta \sin\gamma - \sin\alpha \cos\gamma & \cos\alpha \cos\beta \end{bmatrix}$$

$$\chi_s = \frac{1}{n} \sum_{j=1}^n \chi_j \quad \chi \in \{x, y, z, u, v, w\}$$

$$\mathbf{x} = \mathbf{t} + \lambda \mathbf{R} \mathbf{u}$$

3B benzerlik dönüşüm bağıntısı

$$\mathbf{x} = \mathbf{t} + \lambda \mathbf{R}_1(\alpha) \mathbf{R}_2(\beta) \mathbf{R}_3(\gamma) \mathbf{u}$$

3B benzerlik dönüşüm bağıntısı

$\alpha \approx \beta \approx \gamma \approx 0$  olduğundan bu açıların kosinüsleri  $\sim 1$ , sinüsleri de açıların radyan değerlerine eşit ve  $\alpha \beta \approx \alpha \gamma \approx \beta \gamma \approx 0$  olur.

$$\mathbf{R} = \mathbf{R}_1(\alpha) \mathbf{R}_2(\beta) \mathbf{R}_3(\gamma) = \begin{bmatrix} 1 & 0 & 0 \\ 0 & 1 & \alpha \\ 0 & -\alpha & 1 \end{bmatrix} \begin{bmatrix} 1 & 0 & -\beta \\ 0 & 1 & 0 \\ \beta & 0 & 1 \end{bmatrix} \begin{bmatrix} 1 & \gamma & 0 \\ -\gamma & 1 & 0 \\ 0 & 0 & 1 \end{bmatrix}$$

$$\mathbf{R} = \begin{bmatrix} 1 & \gamma & -\beta \\ -\gamma & 1 & \alpha \\ \beta & -\alpha & 1 \end{bmatrix}$$

Yukarıdaki kapalı 3B-benzerlik dönüşüm bağıntısı açık olarak yazılırsa aşağıdaki bağıntı elde edilir.

$$\begin{bmatrix} X \\ Y \\ Z \end{bmatrix} = \begin{bmatrix} t_X \\ t_Y \\ t_Z \end{bmatrix} + \lambda \begin{bmatrix} 1 & \gamma & -\beta \\ -\gamma & 1 & \alpha \\ \beta & -\alpha & 1 \end{bmatrix} \begin{bmatrix} U \\ V \\ W \end{bmatrix}$$

$$\begin{bmatrix} X_j \\ Y_j \\ Z_j \end{bmatrix} = \begin{bmatrix} 1 & 0 & 0 & 0 & -W_j & V_j & U_j \\ 0 & 1 & 0 & W_j & 0 & -U_j & V_j \\ 0 & 0 & 1 & -V_j & U_j & 0 & W_j \end{bmatrix} \begin{bmatrix} t_X \\ t_Y \\ t_Z \\ \alpha \\ \beta \\ \gamma \\ \lambda \end{bmatrix}$$

Yukarıdaki model her bir datum parametre grubunun (ötelemeler, dönüklükler ve ölçek) katsayılar matrisleri modelin katsayılar matrislerinin alt matrisleri şeklinde yeniden düzenlenirse aşağıdaki bağıntılar elde edilir.

$$\mathbf{x} = \begin{bmatrix} \mathbf{I} & \mathbf{D} & \mathbf{u} \end{bmatrix} \begin{bmatrix} \mathbf{t} \\ \boldsymbol{\alpha} \\ \lambda \end{bmatrix} = \mathbf{t} + \mathbf{D}\boldsymbol{\alpha} + \mathbf{u} \lambda$$

Bu modelde  $\lambda = 1 + \Delta$  olarak alınırsa  $\mathbf{x} = \mathbf{t} + \mathbf{D}\boldsymbol{\alpha} + \mathbf{u} (1 + \Delta)$  olarak elde edilir. Denklem birimlere göre yeniden düzenlenerek;

$$\begin{bmatrix} X_j \\ Y_j \\ Z_j \end{bmatrix} - \begin{bmatrix} U_j \\ V_j \\ W_j \end{bmatrix} = \begin{bmatrix} 1 & 0 & 0 & 0 & -W_j/\rho^{cc} & V_j/\rho^{cc} & U_j/10^6 \\ 0 & 1 & 0 & W_j/\rho^{cc} & 0 & -U_j/\rho^{cc} & V_j/10^6 \\ 0 & 0 & 1 & -V_j/\rho^{cc} & U_j/\rho^{cc} & 0 & W_j/10^6 \end{bmatrix} \begin{bmatrix} t_X \\ t_Y \\ t_Z \\ \alpha^{cc} \\ \beta^{cc} \\ \gamma^{cc} \\ \Delta_{ppm} \end{bmatrix}$$

modeli elde edilir. Bu model hem ilk koordinatlara göre yazılmış ve hem de yuvarlatma hatalarının hesaplanan parametrelerdeki etkileri azaltılmış olur. Ağırlık merkezine ötelenmiş koordinatlar kullanılırsa, orijinal modele göre korelasyon kayıpları olmasına rağmen, yuvarlatma hatalarının etkilerinin daha da azaltılmasına yardımcı olacağı açıktır.

**Uygulama:** Beş adet eşlenik noktadan yararlanarak, **Bursa-Wolf** dönüşüm katsayılarını, bunların duyarlıklarını ve uyuşumsuz nokta testi için gerekli olan test büyüklüklerini hesaplayınız (Yönetmelikte istenen birim ölçünün soncul değeri  $\sigma_0 = \pm 3\text{cm}$ 'dir).

WGS84

ITRF08

| NN | U [m]        | V [m]        | W [m]        | X [m]        | Y [m]        | Z [m]        |
|----|--------------|--------------|--------------|--------------|--------------|--------------|
| N1 | 4242664.7158 | 2445911.5376 | 4072699.6496 | 4242741.4383 | 2445896.7885 | 4072677.1848 |
| N2 | 4241932.2373 | 2466461.2238 | 4061241.3849 | 4242009.1742 | 2466446.4146 | 4061218.6811 |
| N3 | 4240592.4087 | 2446096.5011 | 4074739.9490 | 4240669.1224 | 2446081.6574 | 4074717.5254 |
| N4 | 4237589.8400 | 2451171.9849 | 4074848.9157 | 4237666.6161 | 2451157.2501 | 4074826.4581 |
| N5 | 4239778.5272 | 2435273.7728 | 4081959.4385 | 4239855.1148 | 2435259.0062 | 4081937.1407 |

## ÇÖZÜM

## Bursa-Wolf

$$\mathbf{x}_j = \mathbf{t} + \lambda \mathbf{R} \mathbf{u}_j \rightarrow \begin{bmatrix} X_j \\ Y_j \\ Z_j \end{bmatrix} = \begin{bmatrix} t_x \\ t_y \\ t_z \end{bmatrix} + (1 + \Delta) \begin{bmatrix} 1 & \gamma & -\beta \\ -\gamma & 1 & \alpha \\ \beta & -\alpha & 1 \end{bmatrix} \begin{bmatrix} U_j \\ V_j \\ W_j \end{bmatrix}$$

$$\begin{bmatrix} X_j \\ Y_j \\ Z_j \end{bmatrix} - \begin{bmatrix} U_j \\ V_j \\ W_j \end{bmatrix} = \begin{bmatrix} 1 & 0 & 0 & 0 & -W_j / \rho^{cc} & V_j / \rho^{cc} & U_j / 10^6 \\ 0 & 1 & 0 & W_j / \rho^{cc} & 0 & -U_j / \rho^{cc} & V_j / 10^6 \\ 0 & 0 & 1 & -V_j / \rho^{cc} & U_j / \rho^{cc} & 0 & W_j / 10^6 \end{bmatrix} \begin{bmatrix} t_x \\ t_y \\ t_z \\ \alpha^{cc} \\ \beta^{cc} \\ \gamma^{cc} \\ \Delta_{ppm} \end{bmatrix}$$

## Düzeltilme Denklemleri

| y      |       | A                |         | x              |
|--------|-------|------------------|---------|----------------|
| [m]    | [ ]   | [m/cc]           | [m/ppm] |                |
| 76.72  | 1 0 0 | 0 -6.3974 3.8420 | 4.2427  | $t_x$ [m]      |
| -14.75 | 0 1 0 | 6.3974 0 -6.6644 | 2.4459  | $t_y$          |
| -22.46 | 0 0 1 | -3.8420 6.6644 0 | 4.0727  | $t_z$          |
| 76.94  | 1 0 0 | 0 -6.3794 3.8743 | 4.2419  | $\alpha$ [cc]  |
| -14.81 | 0 1 0 | 6.3794 0 -6.6632 | 2.4665  | $\beta$        |
| -22.70 | 0 0 1 | -3.8743 6.6632 0 | 4.0612  | $\gamma$       |
| 76.71  | 1 0 0 | 0 -6.4006 3.8423 | 4.2406  | $\Delta$ [ppm] |
| -14.84 | 0 1 0 | 6.4006 0 -6.6611 | 2.4461  |                |
| -22.42 | 0 0 1 | -3.8423 6.6611 0 | 4.0747  |                |
| 76.78  | 1 0 0 | 0 -6.4008 3.8503 | 4.2376  |                |
| -14.73 | 0 1 0 | 6.4008 0 -6.6564 | 2.4512  |                |
| -22.46 | 0 0 1 | -3.8503 6.6564 0 | 4.0748  |                |
| 76.59  | 1 0 0 | 0 -6.4119 3.8253 | 4.2398  |                |
| -14.77 | 0 1 0 | 6.4119 0 -6.6598 | 2.4353  |                |
| -22.30 | 0 0 1 | -3.8253 6.6598 0 | 4.0820  |                |

## Normal Denklemler

| $\mathbf{A}^T \mathbf{A}$ | $\mathbf{x}$ | $\mathbf{A}^T \mathbf{y}$ |
|---------------------------|--------------|---------------------------|
| 5.00 0.00 0.00            | $t_x$        | 383.74                    |
| 0.00 5.00 0.00            | $t_y$        | -73.90                    |
| 0.00 0.00 5.00            | $t_z$        | -112.35                   |
| 0.00 31.99 -19.23         | $\alpha$     | -40.64                    |
| -31.99 0.00 33.30         | $\beta$      | -3203.49                  |
| 19.23 -33.30 0.00         | $\gamma$     | 1968.46                   |
| 21.20 12.24 20.37         | $\Delta$     | 988.65                    |

**Bilinmeyenlerin Ters Ağırlık Matrisi**

$$Q = (A^T A)^{-1} = \begin{bmatrix} \underline{908593.67} & -451715.34 & -618527.32 & 5449.01 & 99431.74 & -64641.49 & -5603.60 \\ -451715.34 & \underline{293641.08} & 325961.62 & -6424.92 & -50667.62 & 36722.65 & -3236.19 \\ -618527.32 & 325961.62 & \underline{501573.77} & -1809.94 & -73054.30 & 45218.62 & -5382.37 \\ 5449.01 & -6424.92 & -1809.94 & \underline{580.68} & 607.08 & -406.81 & 0.00 \\ 99431.74 & -50667.62 & -73054.30 & 607.08 & \underline{11318.10} & -7023.52 & 0.00 \\ -64641.49 & 36722.65 & 45218.62 & -406.81 & -7023.52 & \underline{5122.35} & 0.00 \\ -5603.60 & -3236.19 & -5382.37 & 0.00 & 0.00 & 0.00 & \underline{1321.44} \end{bmatrix}$$

**Bilinmeyenler ve Duyarlılıkları**

|                | x        | Birim | q <sub>x</sub>   | m <sub>x</sub> |
|----------------|----------|-------|------------------|----------------|
| t <sub>x</sub> | 14.7350  |       | <u>908593.67</u> | 35.51          |
| t <sub>y</sub> | -13.6289 | m     | <u>293641.08</u> | 20.19          |
| t <sub>z</sub> | -13.0108 |       | <u>501573.77</u> | 26.38          |
| α              | 5.6676   |       | <u>580.68</u>    | 0.90           |
| β              | -1.4872  | cc    | <u>11318.10</u>  | 3.96           |
| γ              | 7.6252   |       | <u>5122.35</u>   | 2.67           |
| Δ              | 5.4626   | ppm   | <u>1321.44</u>   | 1.35           |

**Düzeltilmeler ve Uyuşumsuz Ölçüler Testi**

| v [m]   | Q <sub>v</sub> [ ] |         |         | R [m <sup>2</sup> ] | T [ ] | F <sub>{r,f,α}</sub> [ ] | P(F <sub>{T,1,β}</sub> ) |
|---------|--------------------|---------|---------|---------------------|-------|--------------------------|--------------------------|
| -0.0011 | 0.6278             | -0.0882 | -0.1487 |                     |       | <u>4.07</u>              | <u>95.00%</u>            |
| -0.0777 | -0.0882            | 0.7304  | -0.0856 | 0.0085              | 2.03  |                          | 81.21%                   |
| 0.0154  | -0.1487            | -0.0856 | 0.6370  |                     |       |                          |                          |
| -0.0001 | 0.1931             | -0.0083 | -0.0140 |                     |       |                          |                          |
| 0.0014  | -0.0083            | 0.2032  | -0.0079 | 0.0006              | 0.14  |                          | 6.88%                    |
| 0.0106  | -0.0140            | -0.0079 | 0.1946  |                     |       |                          |                          |
| 0.0034  | 0.7837             | -0.0011 | -0.0018 |                     |       |                          |                          |
| 0.0609  | -0.0011            | 0.7848  | -0.0011 | 0.0049              | 1.18  |                          | 62.29%                   |
| -0.0114 | -0.0018            | -0.0011 | 0.7836  |                     |       |                          |                          |
| -0.0144 | 0.5097             | -0.1526 | -0.2575 |                     |       |                          |                          |
| 0.0167  | -0.1526            | 0.6917  | -0.1463 | 0.0016              | 0.39  |                          | 23.96%                   |
| -0.0150 | -0.2575            | -0.1463 | 0.5315  |                     |       |                          |                          |
| 0.0123  | 0.4416             | -0.0032 | -0.0053 |                     |       |                          |                          |
| -0.0013 | -0.0032            | 0.4454  | -0.0030 | 0.0003              | 0.08  |                          | 3.24%                    |
| 0.0004  | -0.0053            | -0.0030 | 0.4421  |                     |       |                          |                          |

**Model Testi**

$$v^T v = 0.0111 \text{ [m}^2\text{]}$$

$$m_0 = 0.0373 \text{ [m]}$$

$$\sigma_0 = 0.0300 \text{ [m]}$$

|       | Test   | Tablo  |
|-------|--------|--------|
| T=    | 12.34  | 15.51  |
| P(T)= | 86.32% | 95.00% |

**Bursa-Wolf Dönüşüm Parametreleri**

$$\begin{bmatrix} x_j \\ y_j \\ z_j \end{bmatrix} = \begin{bmatrix} t \\ -13.6289 \\ -13.0108 \end{bmatrix} + \begin{bmatrix} \lambda \\ 1.000005463 \\ 0 \end{bmatrix} + \begin{bmatrix} R \\ -1.19776E-05 \\ -2.33605E-06 \end{bmatrix} \begin{bmatrix} 1 \\ 1 \\ 1 \end{bmatrix} + \begin{bmatrix} 1.19776E-05 \\ 8.90271E-06 \\ 1 \end{bmatrix} \begin{bmatrix} u_j \\ v_j \\ w_j \end{bmatrix}$$

**Uygulama:** Beş adet eşlenik noktadan yararlanarak, **Moledensky-Badekas** dönüşüm katsayılarını, bunların duyarlıklarını ve uyuşumsuz nokta testi için gerekli olan test büyüklüklerini hesaplayınız (Yönetmelikte istenen birim ölçünün soncul değeri  $\sigma_0 = \pm 3\text{cm}$ 'dir).

**WGS84****ITRF08**

| NN | u            | v            | w            | x            | y            | z            |
|----|--------------|--------------|--------------|--------------|--------------|--------------|
| N1 | 4242664.7158 | 2445911.5376 | 4072699.6496 | 4242741.4383 | 2445896.7885 | 4072677.1848 |
| N2 | 4241932.2373 | 2466461.2238 | 4061241.3849 | 4242009.1742 | 2466446.4146 | 4061218.6811 |
| N3 | 4240592.4087 | 2446096.5011 | 4074739.9490 | 4240669.1224 | 2446081.6574 | 4074717.5254 |
| N4 | 4237589.8400 | 2451171.9849 | 4074848.9157 | 4237666.6161 | 2451157.2501 | 4074826.4581 |
| N5 | 4239778.5272 | 2435273.7728 | 4081959.4385 | 4239855.1148 | 2435259.0062 | 4081937.1407 |

**Dönüştürülen Sistemin (WGS84) Ağırlık Merkezi Koordinatları**

| NN | u <sub>s</sub> | v <sub>s</sub> | w <sub>s</sub> |
|----|----------------|----------------|----------------|
| S  | 4240511.5458   | 2448983.0040   | 4073097.8675   |

**Dönüştürülen Sistemin (WGS84) Ağırlık Merkezine Ötelenmiş Koordinatları**

| NN | u-u <sub>s</sub> | v-v <sub>s</sub> | w-w <sub>s</sub> |
|----|------------------|------------------|------------------|
| N1 | 2153.1700        | -3071.4664       | -398.2179        |
| N2 | 1420.6915        | 17478.2198       | -11856.4826      |
| N3 | 80.8629          | -2886.5029       | 1642.0815        |
| N4 | -2921.7058       | 2188.9809        | 1751.0482        |
| N5 | -733.0186        | -13709.2312      | 8861.5710        |

**ÇÖZÜM**

$$\mathbf{x}_j = \mathbf{t}_0 + \lambda \mathbf{R} (\mathbf{u}_j - \mathbf{u}_s) \quad \text{Molodensky-Badekas} \quad \{\mathbf{t} = \mathbf{t}_0 - \lambda \mathbf{R} \mathbf{u}_s\}$$

$$\bar{U}_j = U_j - U_s, \bar{V}_j = V_j - V_s, \bar{W}_j = W_j - W_s$$

$$\tilde{\mathbf{t}}_0 = \mathbf{t}_0 - \mathbf{u}_s; \text{ Modelden Kestirilen Ötelemeler } \mathbf{t} = \mathbf{u}_s + \tilde{\mathbf{t}}_0 - \lambda \mathbf{R} \mathbf{u}_s$$

$$\begin{bmatrix} X_j \\ Y_j \\ Z_j \end{bmatrix} - \begin{bmatrix} U_j \\ V_j \\ W_j \end{bmatrix} = \begin{bmatrix} 1 & 0 & 0 & 0 & -\bar{W}_j / \rho^{cc} & \bar{V}_j / \rho^{cc} & \bar{U}_j / 10^6 \\ 0 & 1 & 0 & \bar{W}_j / \rho^{cc} & 0 & -\bar{U}_j / \rho^{cc} & \bar{V}_j / 10^6 \\ 0 & 0 & 1 & -\bar{V}_j / \rho^{cc} & \bar{U}_j / \rho^{cc} & 0 & \bar{W}_j / 10^6 \end{bmatrix} \begin{bmatrix} \tilde{t}_{0x} \\ \tilde{t}_{0y} \\ \tilde{t}_{0z} \\ \alpha^{cc} \\ \beta^{cc} \\ \gamma^{cc} \\ \Delta_{ppm} \end{bmatrix}$$

| y        | A                               | x                    |
|----------|---------------------------------|----------------------|
| [cm]     | [ ]                             | [cm/ppm]             |
| 7672.25  | 1 0 0 0 0.0626 -0.4825 0.2153   | t <sub>0x</sub> [cm] |
| -1474.91 | 0 1 0 -0.0626 0 -0.3382 -0.3071 | t <sub>0y</sub>      |
| -2246.48 | 0 0 1 0.4825 0.3382 0 -0.0398   | t <sub>0z</sub>      |
| 7693.69  | 1 0 0 0 1.8624 2.7455 0.1421    | α [cc]               |
| -1480.92 | 0 1 0 -1.8624 0 -0.2232 1.7478  | β                    |
| -2270.38 | 0 0 1 -2.7455 0.2232 0 -1.1856  | γ                    |
| 7671.37  | 1 0 0 0 -0.2579 -0.4534 0.0081  | Δ [ppm]              |
| -1484.37 | 0 1 0 0.2579 0 -0.0127 -0.2887  |                      |
| -2242.36 | 0 0 1 0.4534 0.0127 0 0.1642    |                      |
| 7677.61  | 1 0 0 0 -0.2751 0.3438 -0.2922  |                      |
| -1473.48 | 0 1 0 0.2751 0 0.4589 0.2189    |                      |
| -2245.76 | 0 0 1 -0.3438 -0.4589 0 0.1751  |                      |
| 7658.76  | 1 0 0 0 -1.3920 -2.1534 -0.0733 |                      |
| -1476.66 | 0 1 0 1.3920 0 0.1151 -1.3709   |                      |
| -2229.78 | 0 0 1 2.1534 -0.1151 0 0.8862   |                      |

## Dönüşüm Parametreleri ve Ters Ağırlık Matrisi

| $\underline{x}$ | $\underline{Q}$                |
|-----------------|--------------------------------|
| 7674.7360       | 0.2000 0 0 0 0 0 0             |
| -1478.0680      | 0 0.2000 0 0 0 0 0             |
| -2246.9520      | 0 0 0.2000 0 0 0 0             |
| -5.6676         | 0 0 0 0.0581 0.0607 -0.0407 0  |
| 1.4872          | 0 0 0 0.0607 1.1318 -0.7024 0  |
| -7.6252         | 0 0 0 -0.0407 -0.7024 0.5122 0 |
| 5.4626          | 0 0 0 0 0 0 0.1321             |

## Dönüşüm Parametreleri, Duyarlılıkları ve Anlamlılık testleri

| $\underline{x}$ |       | $\underline{x}$ | $\pm \underline{m}_x$<br>[cm] | $\underline{R}$<br>[cm <sup>2</sup> ] | $\underline{T}$<br>[ ] | $\underline{F}_{\{1-\alpha,1,\beta\}}$<br>[ ] | $\underline{P}(\underline{F}_{\{T,1,\beta\}})$<br>[ ] | $\underline{P}(\underline{F}_{\{F,1,\beta\}})$<br>[ ] | Karar    |
|-----------------|-------|-----------------|-------------------------------|---------------------------------------|------------------------|---|---|---|----------|
| $t_{0x}$        | [cm]  | 7674.7360       | 1.67                          | 294507863.35                          | 21220069.41            | 5.32  | 100.00%   | 95.00%  | Anlamlı  |
| $t_{0y}$        |       | -1478.0680      | 1.67                          | 10923425.06                           | 787061.63              |   | 100.00%   |   | Anlamlı  |
| $t_{0z}$        |       | -2246.9520      | 1.67                          | 25243966.45                           | 1818894.46             |   | 100.00%   |   | Anlamlı  |
| $\alpha$        |       | 5.6676          | 0.90                          | 553.18                                | 39.86                  |   | 99.98%  |   | Anlamlı  |
| $\beta$         | [cc]  | -1.4872         | 3.96                          | 1.95                                  | 0.14                   |   | 28.28%  |   | Anlamsız |
| $\gamma$        |       | 7.6252          | 2.67                          | 113.51                                | 8.18                   |   | 97.88%  |   | Anlamlı  |
| $\Delta$        | [ppm] | 5.4626          | 1.35                          | 225.82                                | 16.27                  |   | 99.62%  |   | Anlamlı  |

## Düzeltilmeler ve Uyuşumsuz Ölçü Testi

| NN | $\underline{y}$<br>[cm] | $\underline{Q}_v$<br>[ ] |         |         | $\underline{R}$<br>[cm <sup>2</sup> ] | $\underline{T}$<br>[ ] | $\underline{F}_{\{r,f,a\}}$<br>[ ] | $\underline{P}(\underline{F}_{\{T,1,\beta\}})$<br>[ ] |
|----|-------------------------|--------------------------|---------|---------|---------------------------------------|------------------------|------------------------------------|---|
| N1 | -0.11                   | 0.6278                   | -0.0882 | -0.1487 |                                       |                        | <b>4.07</b>                        | <b>95.00%</b>   |
|    | -7.77                   | -0.0882                  | 0.7304  | -0.0856 | <b>84.64</b>                          | <b>2.03</b>            |                                    | <b>81.21%</b>   |
|    | 1.54                    | -0.1487                  | -0.0856 | 0.6370  |                                       |                        |                                    |   |
| N2 | -0.01                   | 0.1931                   | -0.0083 | -0.0140 |                                       |                        |                                    |   |
|    | 0.14                    | -0.0083                  | 0.2032  | -0.0079 | <b>5.96</b>                           | <b>0.14</b>            |                                    | <b>6.88%</b>  |
|    | 1.06                    | -0.0140                  | -0.0079 | 0.1946  |                                       |                        |                                    |   |
| N3 | 0.34                    | 0.7837                   | -0.0011 | -0.0018 |                                       |                        |                                    |   |
|    | 6.09                    | -0.0011                  | 0.7848  | -0.0011 | <b>49.06</b>                          | <b>1.18</b>            |                                    | <b>62.29%</b>   |
|    | -1.14                   | -0.0018                  | -0.0011 | 0.7836  |                                       |                        |                                    |   |
| N4 | -1.44                   | 0.5097                   | -0.1526 | -0.2575 |                                       |                        |                                    |   |
|    | 1.67                    | -0.1526                  | 0.6917  | -0.1463 | <b>16.44</b>                          | <b>0.39</b>            |                                    | <b>23.96%</b>   |
|    | -1.50                   | -0.2575                  | -0.1463 | 0.5315  |                                       |                        |                                    |   |
| N5 | 1.23                    | 0.4416                   | -0.0032 | -0.0053 |                                       |                        |                                    |   |
|    | -0.13                   | -0.0032                  | 0.4454  | -0.0030 | <b>3.44</b>                           | <b>0.08</b>            |                                    | <b>3.24%</b>  |
|    | 0.04                    | -0.0053                  | -0.0030 | 0.4421  |                                       |                        |                                    |   |

$$\underline{v}^T \underline{v} = 111.03 \text{ [cm}^2\text{]}$$

$$\underline{m}_0 = 3.73 \text{ [cm]}$$

$$\underline{\sigma}_0 = 3.00 \text{ [cm]}$$

## Model Testi

|                                  | Test   | Tablo  |
|----------------------------------|--------|--------|
| $\underline{T} =$                | 12.34  | 15.51  |
| $\underline{P}(\underline{T}) =$ | 86.32% | 95.00% |

## Bursa-Wolf Ötelemeleri (t)

$$\lambda = 1.00000546 \quad \mathbf{R} = \begin{vmatrix} 1 & 1.19776\text{E-}05 & 2.33605\text{E-}06 \\ -1.19776\text{E-}05 & 1 & 8.90271\text{E-}06 \\ -2.33605\text{E-}06 & -8.90271\text{E-}06 & 1 \end{vmatrix}$$

$$\mathbf{t}_0 = \begin{vmatrix} 76.7474 \\ -14.7807 \\ -22.4695 \end{vmatrix} m \quad \mathbf{u}_s = \begin{vmatrix} 4240511.5458 \\ 2448983.0040 \\ 4073097.8675 \end{vmatrix} m$$

$$\mathbf{t} = \mathbf{u}_s + \mathbf{t}_0 - \lambda \mathbf{R} \mathbf{u}_s = \begin{vmatrix} 14.7348 \\ -13.6288 \\ -13.0106 \end{vmatrix} m$$

## 7.4. Hız Dönüşüm (4. Boyutta Dönüşüm)

### a) Mutlak Koordinatlar ile Hız Dönüşüm Parametrelerinin Kestirimi

C1, C2, C3 derece noktalarının hızları, TUTGA noktalarının hızlarına bağlı olarak genellikle üç boyutlu birinci dereceden bir yüzey modeliyle kestirilmektedir. Kartezyen koordinatları ve hız bileşenleri bilinen herhangi bir TUTGA noktası için bu model aşağıdaki gibi ifade edilir. Ayrıntılı bilgi için (Kurt vd., 2007) ye bakınız.

$$\begin{bmatrix} X & Y & Z & 0 & 0 & 0 & 0 & 0 & 0 \\ 0 & 0 & 0 & X & Y & Z & 0 & 0 & 0 \\ 0 & 0 & 0 & 0 & 0 & 0 & X & Y & Z \end{bmatrix} \begin{bmatrix} \mathbf{a} \\ \mathbf{b} \\ \mathbf{c} \end{bmatrix} = \begin{bmatrix} V_X \\ V_Y \\ V_Z \end{bmatrix}$$

Yukarıda verilen açık gösterim, Kronecker çarpımının özelliklerinden yararlanılarak aşağıdaki gibi kapalı (matris-vektör biçiminde) yazılır.

$$(\mathbf{I}_{3 \times 3} \otimes \mathbf{X}) \begin{bmatrix} \mathbf{a} \\ \mathbf{b} \\ \mathbf{c} \end{bmatrix} = \mathbf{V}$$

Bağıntılarda geçen büyüklükler aşağıda açıklanmıştır.

|                                    |   |
|------------------------------------|---|
| $\mathbf{V} = [V_X \ V_Y \ V_Z]^T$ | TUTGA noktasının referans anındaki hız vektörü                |
| $\mathbf{X} = [X \ Y \ Z]^T$       | TUTGA noktasının referans anındaki 3B kartezyen koordinatları |
| $\mathbf{a} = [a_X \ a_Y \ a_Z]^T$ | X koordinatı yönündeki hız parametreleri                      |
| $\mathbf{b} = [b_X \ b_Y \ b_Z]^T$ | Y koordinatı yönündeki hız parametreleri                      |
| $\mathbf{c} = [c_X \ c_Y \ c_Z]^T$ | Z koordinatı yönündeki hız parametreleri                      |
| $\mathbf{I}_{3 \times 3}$          | Birim matris  |

$n$  adet TUTGA noktası için normal denklemler aşağıdaki gibi oluşturulur.

$$\left( \mathbf{I}_{3 \times 3} \otimes \sum_{k=1}^n \mathbf{X}_k^T \mathbf{X}_k \right) \begin{bmatrix} \mathbf{a} \\ \mathbf{b} \\ \mathbf{c} \end{bmatrix} = \sum_{k=1}^n \mathbf{V}_k \otimes \mathbf{X}_k$$

Bu eşitliğin tek anlamlı çözülebilmesi için en az üç adet TUTGA noktasına ihtiyaç vardır. Normal denklemler çözülerek hız kestirim parametreleri bulunur.

$$\begin{bmatrix} \mathbf{a} \\ \mathbf{b} \\ \mathbf{c} \end{bmatrix} = (\mathbf{I}_{3 \times 3} \otimes \mathbf{Q}_{3 \times 3}) \sum_{k=1}^n \mathbf{V}_k \otimes \mathbf{X}_k \quad (5)$$

$$\mathbf{Q}_{3 \times 3} = \left( \sum_{k=1}^n \mathbf{X}_k^T \mathbf{X}_k \right)^{-1} \quad (6)$$



Hesaplanan hız kestirim parametreleri ile  $m$  adet yeni C derece noktanın hız bileşenleri, aşağıdaki bağıntıyla hesaplanır.

$$\mathbf{V}_j = (\mathbf{I}_{3 \times 3} \otimes \mathbf{X}_j) \begin{bmatrix} \mathbf{a} \\ \mathbf{b} \\ \mathbf{c} \end{bmatrix} \quad j=1, 2, \dots, m$$

TUTGA noktasının hız bileşenleri için düzeltmeler aşağıdaki gibi bulunur.

$$\boldsymbol{\varepsilon}_k = \begin{bmatrix} \varepsilon_X \\ \varepsilon_Y \\ \varepsilon_Z \end{bmatrix} = (\mathbf{I}_{3 \times 3} \otimes \mathbf{X}_k) \begin{bmatrix} \mathbf{a} \\ \mathbf{b} \\ \mathbf{c} \end{bmatrix} - \mathbf{V}_k$$

$$\sigma_0 = \pm \sqrt{\frac{\sum_{k=1}^n \boldsymbol{\varepsilon}_k^T \boldsymbol{\varepsilon}_k}{3(n-3)}} \quad (n > 3)$$

Hız parametrelerinin kestirimi için yukarıda oluşturulan model, ötelenmiş 3B kartezyen koordinatlara göre oluşturulmalıdır.

$$\begin{bmatrix} x & y & z \end{bmatrix}_k^T = \begin{bmatrix} \frac{X}{X_0} & \frac{Y}{Y_0} & \frac{Z}{Z_0} \end{bmatrix}_k^T \quad (k=1, 2, \dots, n)$$

Yukarıdaki eşitlikte  $X_0$ ,  $Y_0$  ve  $Z_0$  TUTGA noktalarının ağırlık merkezi koordinatlarıdır. Kondisyon sorunu çözebilmek için eşitliklerde normlandırılmış koordinatlar kullanılmalıdır (Kurt vd., 2007).

## b) BÖHYY Önerilen Hız Dönüşüm Parametrelerinin Kestirimi

Yönetmelikteki hız dönüşümü, projeksiyon koordinatlarına dayalı olarak doğrusal polinomsal

$$\begin{bmatrix} 1 & x & y & 0 & 0 & 0 & 0 & 0 & 0 \\ 0 & 0 & 0 & 1 & x & y & 0 & 0 & 0 \\ 0 & 0 & 0 & 0 & 0 & 0 & 1 & x & y \end{bmatrix} \begin{bmatrix} \mathbf{a} \\ \mathbf{b} \\ \mathbf{c} \end{bmatrix} = \begin{bmatrix} V_X \\ V_Y \\ V_Z \end{bmatrix}$$

$$\mathbf{V} = [V_X \ V_Y \ V_Z]^T$$

TUTGA noktasının referans anındaki hız vektörü

$$\mathbf{x} = [1 \ x \ y]^T$$

Projeksiyon koordinatları

$$\mathbf{a} = [a_0 \ a_x \ a_y]^T$$

X koordinatı yönündeki hız parametreleri

$$\mathbf{b} = [b_0 \ b_x \ b_y]^T$$

Y koordinatı yönündeki hız parametreleri

$$\mathbf{c} = [c_0 \ c_x \ c_y]^T$$

Z koordinatı yönündeki hız parametreleri

$$\mathbf{I}_{3 \times 3}$$

3×3 Boyutlu birim matris

$n$  adet TUTGA noktası için normal denklemler aşağıdaki gibi oluşturulur.

$$\left( \mathbf{I}_{3 \times 3} \otimes \sum_{k=1}^n \mathbf{x}_k^T \mathbf{x}_k \right) \begin{bmatrix} \mathbf{a} \\ \mathbf{b} \\ \mathbf{c} \end{bmatrix} = \sum_{k=1}^n \mathbf{V}_k \otimes \mathbf{x}_k$$

Bu eşitliğin tek anlamlı çözülebilmesi için en az üç adet TUTGA noktasına ihtiyaç vardır. Normal denklemler çözülerek hız kestirim parametreleri bulunur.

$$\begin{bmatrix} \mathbf{a} \\ \mathbf{b} \\ \mathbf{c} \end{bmatrix} = (\mathbf{I}_{3 \times 3} \otimes \mathbf{Q}_{3 \times 3}) \sum_{k=1}^n \mathbf{V}_k \otimes \mathbf{x}_k \quad (5)$$

$$\mathbf{Q}_{3 \times 3} = \left( \sum_{k=1}^n \mathbf{x}_k^T \mathbf{x}_k \right)^{-1} \quad (6)$$

### Kroneker Çarpımı

$\mathbf{A}_{n \times m}$  ve  $\mathbf{B}_{p \times q}$  her hangi iki matris olmak üzere, Kronoker çarpımı aşağıdaki gibi hesaplanır.

$$\mathbf{A}_{n \times m} = \begin{bmatrix} a_{11} & a_{12} & \cdots & a_{1m} \\ a_{21} & a_{22} & \cdots & a_{2m} \\ \cdots & \cdots & \cdots & \cdots \\ a_{n1} & a_{n2} & \cdots & a_{nm} \end{bmatrix}, \quad \mathbf{B}_{p \times q} = \begin{bmatrix} b_{11} & b_{12} & \cdots & b_{1q} \\ b_{21} & b_{22} & \cdots & b_{2q} \\ \cdots & \cdots & \cdots & \cdots \\ b_{p1} & b_{p2} & \cdots & b_{pqm} \end{bmatrix}$$

$$\mathbf{C}_{np \times mq} = \begin{bmatrix} a_{11}\mathbf{B}_{p \times q} & a_{12}\mathbf{B}_{p \times q} & \cdots & a_{1m}\mathbf{B}_{p \times q} \\ a_{21}\mathbf{B}_{p \times q} & a_{22}\mathbf{B}_{p \times q} & \cdots & a_{2m}\mathbf{B}_{p \times q} \\ \cdots & \cdots & \cdots & \cdots \\ a_{n1}\mathbf{B}_{p \times q} & a_{n2}\mathbf{B}_{p \times q} & \cdots & a_{nm}\mathbf{B}_{p \times q} \end{bmatrix}$$

**Uygulama:** Hızları 2005 epoğuna göre verilen A, B, C, D noktalarından yararlanarak, 1 ve 6 numaralı noktaların 2005 epoğundaki koordinatlarını ve hızlarını hesaplayınız.

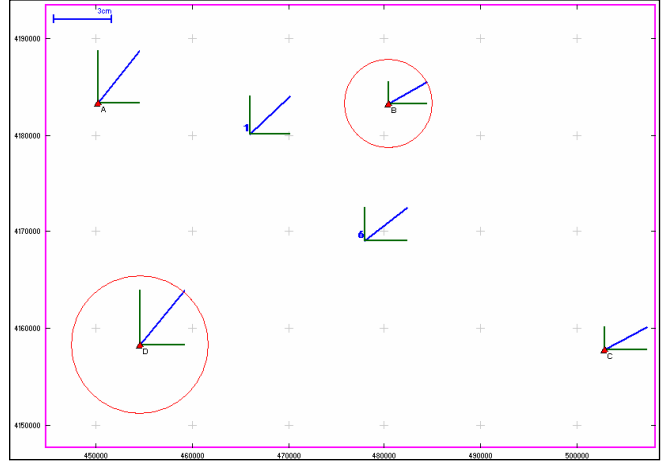
| NN | X [m]        | Y [m]        | Z [m]        | V <sub>x</sub> [m/y] | V <sub>y</sub> [m/y] | V <sub>z</sub> [m/y] | Epok[y] |
|----|--------------|--------------|--------------|----------------------|----------------------|----------------------|---------|
| D  | 3963183.6846 | 3150884.4822 | 3866913.9959 | -0.0337              | 0.0023               | 0.0153               | 2005.0  |
| A  | 3954144.9596 | 3137945.8715 | 3886675.9273 | -0.0349              | 0.0002               | 0.0131               | 2005.0  |
| C  | 3933238.8695 | 3188704.0588 | 3866569.1434 | -0.0205              | 0.0115               | 0.0085               | 2005.0  |
| B  | 3935261.2895 | 3161544.6942 | 3886709.5682 | -0.0191              | 0.0100               | 0.0078               | 2005.0  |

Epok: 30 6 2007

| NN | X [m]        | Y [m]        | Z [m]        |
|----|--------------|--------------|--------------|
| 1  | 3945822.9834 | 3151448.3755 | 3884209.8355 |
| 6  | 3943349.0253 | 3164950.7066 | 3875256.7617 |

**Çözüm:**

$$\begin{aligned}
 3n &= 12 \\
 3u &= 9 \\
 3(n-u) &= 3 \\
 vv &= 0.000026 \text{ (m/y)}^2 \\
 m\theta &= 0.002956 \text{ m/y}
 \end{aligned}$$



\*\*\*\*\*

#### HIZLARI BILINEN SABIT NOKTALAR

\*\*\*\*\*

| SN | NN | X(to) [m]    | Y(to) [m]    | Z(to) [m]    | to      | V <sub>x</sub> [m/y] | V <sub>y</sub> [m/y] | V <sub>z</sub> [m/y] | t       | dx [m]  | dy [m] | dz [m] | X(t) [m]     | Y(t) [m]     | Z(t) [m]     |
|----|----|--------------|--------------|--------------|---------|----------------------|----------------------|----------------------|---------|---------|--------|--------|--------------|--------------|--------------|
| 1  | D  | 3963183.6846 | 3150884.4822 | 3866913.9959 | 2005.00 | -0.0337              | 0.0023               | 0.0153               | 2007.50 | -0.0842 | 0.0057 | 0.0382 | 3963183.6004 | 3150884.4879 | 3866914.0341 |
| 2  | A  | 3954144.9596 | 3137945.8715 | 3886675.9273 | 2005.00 | -0.0349              | 0.0002               | 0.0131               | 2007.50 | -0.0872 | 0.0005 | 0.0327 | 3954144.8724 | 3137945.8720 | 3886675.9600 |
| 3  | C  | 3933238.8695 | 3188704.0588 | 3866569.1434 | 2005.00 | -0.0205              | 0.0115               | 0.0085               | 2007.50 | -0.0512 | 0.0287 | 0.0212 | 3933238.8183 | 3188704.0875 | 3866569.1646 |
| 4  | B  | 3935261.2895 | 3161544.6942 | 3886709.5682 | 2005.00 | -0.0191              | 0.0100               | 0.0078               | 2007.50 | -0.0477 | 0.0250 | 0.0195 | 3935261.2418 | 3161544.7192 | 3886709.5877 |

\*\*\*\*\*

#### OLCU NOKTALARI VE HIZLARI

\*\*\*\*\*

| SN | NN | X(to) [m]    | Y(to) [m]    | Z(to) [m]    | to      | V <sub>x</sub> [m/y] | V <sub>y</sub> [m/y] | V <sub>z</sub> [m/y] | t       | dx [m]  | dy [m] | dz [m] | X(t) [m]     | Y(t) [m]     | Z(t) [m]     |
|----|----|--------------|--------------|--------------|---------|----------------------|----------------------|----------------------|---------|---------|--------|--------|--------------|--------------|--------------|
| 1  | 1  | 3945822.9834 | 3151448.3755 | 3884209.8355 | 2005.00 | -0.0274              | 0.0051               | 0.0108               | 2007.50 | -0.0684 | 0.0127 | 0.0270 | 3945822.9834 | 3151448.3755 | 3884209.8355 |
| 2  | 6  | 3943349.0885 | 3164950.6884 | 3875256.7355 | 2005.00 | -0.0253              | 0.0073               | 0.0105               | 2007.50 | -0.0632 | 0.0182 | 0.0262 | 3943349.0253 | 3164950.7066 | 3875256.7617 |

Hız dönüşüm parametrelerinin hesaplanması.

| A                  | v_x    | Qx                   | a_x       |
|--------------------|--------|----------------------|-----------|
| =====              | =====  | =====                | =====     |
| 1.00 -12.29 -17.43 | -0.034 | 0.2500 0.0000 0.0000 | -0.027050 |
| 1.00 12.62 -21.80  | -0.035 | 0.0018 0.0003        | 0.000189  |
| 1.00 -12.88 30.80  | -0.021 | 0.0006               | 0.000346  |
| 1.00 12.54 8.42    | -0.019 | =====                | =====     |
| =====              | =====  |                      |           |
| A                  | v_y    | Qx                   | a_y       |
| =====              | =====  | =====                | =====     |
| 1.00 -12.29 -17.43 | 0.002  | 0.2500 0.0000 0.0000 | 0.006000  |
| 1.00 12.62 -21.80  | 0.000  | 0.0018 0.0003        | 0.000051  |
| 1.00 -12.88 30.80  | 0.012  | 0.0006               | 0.000229  |
| 1.00 12.54 8.42    | 0.010  | =====                | =====     |
| =====              | =====  |                      |           |
| A                  | v_z    | Qx                   | a_z       |
| =====              | =====  | =====                | =====     |
| 1.00 -12.29 -17.43 | 0.015  | 0.2500 0.0000 0.0000 | 0.011175  |
| 1.00 12.62 -21.80  | 0.013  | 0.0018 0.0003        | -0.000139 |
| 1.00 -12.88 30.80  | 0.009  | 0.0006               | -0.000152 |
| 1.00 12.54 8.42    | 0.008  | =====                | =====     |
| =====              | =====  |                      |           |

## 8. ZAMAN

### Evresel ve Yıldız Zamanı:

Bir yıldız yılı (sideral year), yerin yıldızlara göre **366.2564** kez dönüşü (yıldız günleri–sideral days) olarak tanımlanır. Yer bir yıldız yılında güneşe göre **365.2564** kez döner ve (ortalama) güneş günleri–( (mean) solar days) olarak adlandırılır. Yerin güneşe bir periyotluk dönüşü Evrensel (Güneş) Zamanı (Universal (solar) Time), yıldızlara göre ise Yıldız Zamanı (Sideral Time).

Bir zama sistemi bir aralık yada bir başlangıç anı (epok) belirleyerek tanımlanır. Güneş günü, güneşin yeryüzündeki bir meridyenden iki geçişi arasındaki zamandır. Yıldız zamanı, bahar noktasının yeryüzündeki meridyenden iki geçişi arasındaki zamandır. Yıldız epokğu; bahar noktası ile yersel meridyen arasındaki açı olarak belirlenir. Eğer epok Greenwich meridyeni olarak seçilirse, bu epok Greenwich Yıldız Zamanı (GST) olarak adlandırılır. Güneş ile yıldız epokğu arasında kesin bir matematik ilişki vardır. Yıldız zamanı, yersel ve göksel sistemler arasındaki ilişkiyi gerçekleştiren parametredir.

## 9. KAYNAKLAR

- Alfred KLEUSBERG, Peter J. G. TEUNISSEN (Eds.), (1998)**, GPS for Geodesy, Springer-Verlag, ISBN: 978-3-540-60785-4 (Print) 978-3-540-49447-8 (Online).
- Alfred LEICK (1995)**, GPS Satellite Surveying, Second Edition, John Wiley& Son, USA, ISBN:0-471-30626-6.
- Arslan DİLAVER (1997)**, Jeodezide Temel Koordinat Sistemleri, KTÜ, MMF, Ders Notları No:47.
- Bernard HOFMANN-WELLENHOF, Herbert LICHTENEGGER, and J. COLLINS (1997)**, GPS Theory and Practice, Fourth, revised edition, ISBN 3-211-82839-7, Springer-Verlag Wien New York.
- Bernhard HOFMANN-WELLENHOF, Gerhard KIENAST, Herbert LICHTENEGGER (1994)**, GPS in der Praxis, Springer Vienna, ISBN: 978-3-211-82609-6 (Print), 978-3-7091-9369-3 (Online).
- Bernard HOFMANN-WELLENHOF and Helmut MORITZ (2005)**, Physical Geodesy, SpringerWienNewYork, ISBN-10 3-211-23584-1.
- Edward J. Krakiwsky and D.E. Wells (1971)**, Coordinate Systems in Geodesy, University of New Brunswick, Surveying Engineering, Lecturer Notes No:16, Latest Printing 1998, [http://www.fgg.uni-lj.si/~mkuhar/Zalozba/Coord\\_systems\\_in\\_geodesy.pdf](http://www.fgg.uni-lj.si/~mkuhar/Zalozba/Coord_systems_in_geodesy.pdf)
- Gunter SEEBER (1993)**, Satellite Geodesy, Foundations, Methods and Applications, Walter de Gruyter, Berlin-New York, ISBN:1-11-012753-9.
- Guochang XU (2007)**, GPS Theory, Algorithms and Applications, Second Edition, Springer Berlin Heidelberg New York, ISBN 978-3-540-72714-9.
- Joseph L. AWANGE (2002)** Gröbner bases, multipolynomial resultants and the Gauss-Jacobi combinatorial algorithms -adjustment of nonlinear GPS/LPS observations-, PhD Thesis, Dissertation (D93), Geodätisches Institut der Universität Stuttgart, Germany.
- Onur GÜRKAN (1979)**, Astrojeodezik Ağların Deformasyonu ve Türkiye 1. Derece Triangülasyon Ağı, KTÜ Yer Bilimleri Fakültesi, KTÜ Yayın No:104, YBF yayın No:21, Trabzon.
- Şerif HEKİMOĞLU, (2006)**, Referans Koordinat Sistemleri, YTÜ, Ders Notları, [http://www.yildiz.edu.tr/~hekim/coordinate\\_systems.zip](http://www.yildiz.edu.tr/~hekim/coordinate_systems.zip)
- Christopher JEKELI (2012)**, Geometric Reference Systems in Geodesy, [http://kb.osu.edu/dspace/bitstream/handle/1811/51274/Geometric\\_Reference\\_Systems\\_2012.pdf](http://kb.osu.edu/dspace/bitstream/handle/1811/51274/Geometric_Reference_Systems_2012.pdf),
- R. E. DEAKIN and M. N. HUNTER (2013)**, Geometric Geodesy, Part A, [http://user.gs.rmit.edu.au/rod/files/publications/Geometric%20Geodesy%20A\(2013\).pdf](http://user.gs.rmit.edu.au/rod/files/publications/Geometric%20Geodesy%20A(2013).pdf)
- R. H. RAPP (1991)**, Geometric Geodesy, Part I, [http://kb.osu.edu/dspace/bitstream/handle/1811/24333/Rapp\\_Geom\\_Geod\\_Vol\\_I.pdf?sequence=1](http://kb.osu.edu/dspace/bitstream/handle/1811/24333/Rapp_Geom_Geod_Vol_I.pdf?sequence=1)
- R. H. RAPP (1993)**, Geometric Geodesy, Part II, [http://www.fgg.uni-lj.si/~mkuhar/Zalozba/Rapp\\_Geom\\_Geod\\_%20Vol\\_II.pdf](http://www.fgg.uni-lj.si/~mkuhar/Zalozba/Rapp_Geom_Geod_%20Vol_II.pdf)
- Yehoda Bock, (1998)**, Reference Systems, GPS for Geodesy, Teunissen, P. J. G. and Kleusberg A. (Eds.), pages:1-37, Springer-Verlag, ISBN: 3-540-63661-7.

**John Bangert, Wim Brouw, Anne-Marie Gontier, Catherine Hohenkerk, Wen-Jing Jin, Zinovy Malkin, Dennis McCarthy, Jeffrey Percival and Patrick Wallace (2010),** Standards Of Fundamental Astronomy, SOFA Tools for Earth Attitude, International Astronomical Union, Software version 4, Document revision 1.0. <http://www.iau-sofa.rl.ac.uk/>

**D.B. Thomson (1981),** Introduction to Geodetic Astronomy, Department of Geodesy and Geomatics Engineering, University of New Brunswick, Fredericton, Canada. <http://gge.unb.ca/Pubs/LN49.pdf>.

**P. Vaníček, (1974), Earth-Pole Wobble,** Department of Geodesy and Geomatics Engineering, University of New Brunswick, Fredericton, Canada. <http://gge.unb.ca/Pubs/LN25.pdf>

**Weikko A. HEISKANEN and Helmut MORITZ (1993),** Physical Geodesy, Reprint, Institute of Physical Geodesy, Technical University, Graz, Austria.

## URL

**IGS** (International GNSS Service), 19 June 2007, <http://igsceb.jpl.nasa.gov/>

**NGS** (National Geodetic Survey), 19. June 2007, <http://www.ngs.noaa.gov/>, [http://www.ngs.noaa.gov/PUBS\\_LIB/Geodesy4Layman/toc.htm](http://www.ngs.noaa.gov/PUBS_LIB/Geodesy4Layman/toc.htm), [http://www.ngs.noaa.gov/gps-toolbox/bc\\_velo.htm](http://www.ngs.noaa.gov/gps-toolbox/bc_velo.htm)

**IERS Conventions** (2010), IERS Technical Note No. 36 and Related Programs, <http://tai.bipm.org/iers/convupdt/convupdt.html>

**Celes Trak**, , <http://www.celestrak.com/>

**Celes Trak**, <http://celestrak.com/software/tskelso-sw.asp>

**Michael F. Henry**, The Orbit Tools Libraries, 10 October 2016, <http://www.zeptomoby.com/satellites/>

## GNU Yazılımlar

**SOFA** - Standards of Fundamentals Astronomy, <http://www.iausofa.org/>.

**NOVAS 3.1 C** - Naval Observatory Vector Astrometry Software, [http://aa.usno.navy.mil/software/novas/novas\\_c/novasc\\_info.php](http://aa.usno.navy.mil/software/novas/novas_c/novasc_info.php).

**Stellarium**, <http://www.stellarium.org/tr/> .

## EK-1 Lineer Cebir

### Matris İşlemleri

|  |  |
|--|--|
| $\underline{A}_{n,m}, \underline{B}_{m,n}, \underline{K}_{m,n}, \underline{I}_{n,n}$ | dikdörtgen matrisler ve birim matris               |
| $\underline{C}_{n,n}, \underline{D}_{m,m}, \underline{F}_{n,n}, \underline{H}_{n,n}$ | Cayley inversi alınabilen kare matrisler           |
| $\underline{C}^{-1}$ ve $\underline{C}^T : \underline{C}$                            | matrisinin tersi (inversi) ve transpozesi (evriği) |

$$\begin{aligned} \underline{K} &= \underline{A}^T \pm \underline{B} \\ \underline{C}^{-1} \underline{C} &= \underline{C} \underline{C}^{-1} = \underline{I}_{n \times n} & \underline{C} \underline{I} &= \underline{I} \underline{C} = \underline{C} & \underline{A} \underline{B} &= \underline{C} & \underline{B} \underline{A} &= \underline{D} \\ (\underline{AB})^T &= \underline{B}^T \underline{A}^T = \underline{C}^T & \underline{CF} &= \underline{H} & (\underline{CF})^{-1} &= \underline{F}^{-1} \underline{C}^{-1} = \underline{H}^{-1} \end{aligned}$$

### Genel Doğrusal Denklem Takımlarının Çözümü.

|   |  |
|---|--|
| $\underline{A}_{m,n} \underline{x}_n = \underline{b}_m$ | Genel Doğrusal Denklem Takımı                  |
| $m$ ve $n$  | Satır ve sütun sayısı                          |
| $\underline{A}_{m,n}$                                   | $m \times n$ boyutlu <i>katsayılar matrisi</i> |
| $\underline{x}_n$                                       | $n$ boyutlu <i>bilinmeyenler vektörü</i>       |
| $\underline{b}_m$                                       | $m$ boyutlu <i>sabit terimler vektörü</i>      |

olmak üzere; genel denklem çözüm üç şekilde gerçekleştirilir.

**1)  $m = n$**  ise  $\det(\underline{A}) \neq 0$  olmak koşulu ile **Tek Anlamalı Çözüm** aşağıdaki gibi bulunur.

$$\underline{x}_n = \underline{A}_{n,n}^{-1} \underline{b}_n \quad \text{Bilinmeyenlerin çözümü}$$

**2)  $m < n$**  ise tek anlamalı çözüm için **Lagrange Dönüşümü** nden yararlanılır.

$$\begin{aligned} \underline{x}_n &= \underline{A}_{n,m}^T \underline{y}_m & \text{Yardımcı bilinmeyenler (korelatlar)} \\ (\underline{A} \underline{A}^T)_{m,m} \underline{y}_m &= \underline{b}_m & \text{Yardımcı bilinmeyenler ile denklem takımı} \\ \underline{y}_m &= (\underline{A} \underline{A}^T)_{m,m}^{-1} \underline{b}_m & \text{Yardımcı bilinmeyenlerin çözümü} \\ \underline{x}_n &= \underline{A}_{n,m}^T \underline{y}_m = \left[ \underline{A}^T (\underline{A} \underline{A}^T)^{-1} \right]_{n,m} \underline{b}_m & \text{Bilinmeyenlerin çözümü} \\ \underline{Q}_{n,n} &= \underline{A}_{n,m}^T (\underline{A} \underline{A}^T)_{m,m}^{-1} \underline{A}_{m,n} & \text{Bilinmeyenlerin ters ağırlık matrisi} \end{aligned}$$

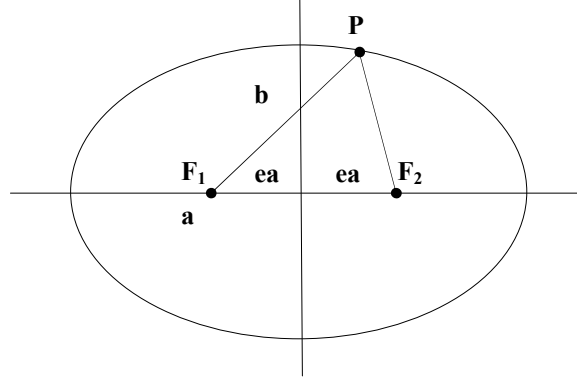
**3)  $m > n$**  ise tek anlamalı çözüm için **Gauss Dönüşümü** nden yararlanılır.

$$\begin{aligned} \underline{x}_n &= (\underline{A}^T \underline{A})_{n,n}^{-1} (\underline{A}^T \underline{b})_n = \left[ (\underline{A}^T \underline{A})^{-1} \underline{A}^T \right]_{n,m} \underline{b}_m & \text{Bilinmeyenlerin çözümü} \\ \underline{Q}_{n,n} &= (\underline{A}^T \underline{A})_{n,n}^{-1} & \text{Bilinmeyenlerin ters ağırlık matrisi} \end{aligned}$$



## EK-2. Elipsoit Geometrisi

İki odağa uzaklıkları toplamı eşit olan noktalar kümesinin oluşturduğu geometrik şekle elips denir.

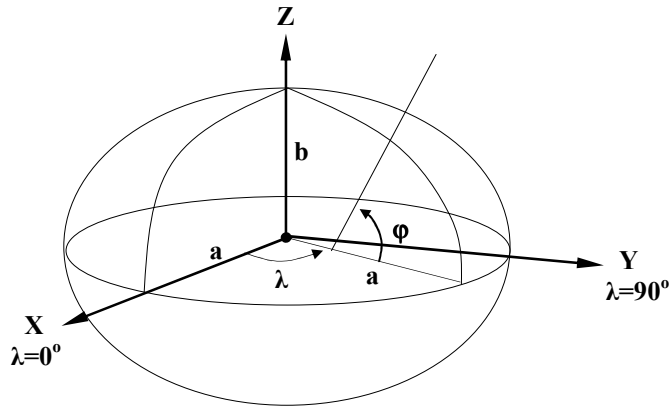


|                      |   |
|----------------------|---|
| a                    | Büyük yarı eksen (semi-major axis)                                    |
| b                    | küçük yarı eksen (semi-minor axis)                                    |
| $f=(a-b)/a$          | Basıklık (flattening)   |
| $e^2=(a^2-b^2)/a^2$  | Birinci dışmerkezlik (first eccentricity)                             |
| $e'^2=(a^2-b^2)/b^2$ | İkinci dışmerkezlik (second eccentricity)                             |
| $F_1P+F_2P=2a$       | P noktasının odaklara ( $F_1$ ve $F_2$ ) uzaklıklarının toplamı=sabit |

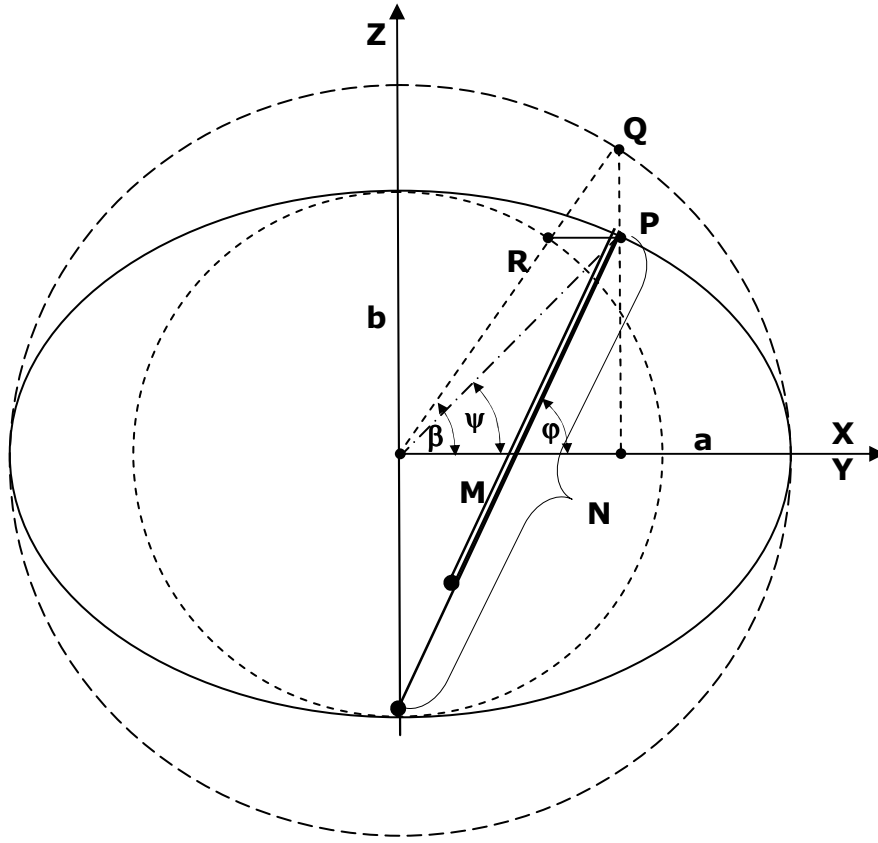
**Tablo-1** Dünyada yaygın olarak kullanılan Dönel Elipsoit parametreleri

| Elipsoit    | a (m)         | b (m)         | Açıklama  |
|-------------|---------------|---------------|---|
| Hayford     | 6378388       | 6356911.94613 | ED50<br>Europe Datum 1950, Uluslar arası elipsoit   |
| GRS80       | 6378137       | 6356752.31414 | GRS80 (NAD83)<br>Geodetic Referans System 1980, ABD |
| WGS84       | 6378137       | 6356752.31425 | WGS84<br>World Geodetic System 1984, GPS            |
| Bessel      | 6377397.15508 | 6356078.96290 | Almanyada Kullanılır                                |
| Krassowsky  | 6378245       | 6356863.01877 | Doğu Bloku Ülkelerinde Kullanılır                   |
| Clarke 1866 | 6378206.4     | 6356583.80012 | NAD27<br>North America Datum 1927, Eski ABD         |

Bir elipsin küçük eksenini etrafında döndürülmesi sonucu elde edilen geometrik şekle *dönel elipsoit* denir.



$$\underline{x} = \begin{bmatrix} x \\ y \\ z \end{bmatrix} \quad \underline{S}_E = \begin{bmatrix} 1/a^2 & 0 & 0 \\ 0 & 1/a^2 & 0 \\ 0 & 0 & 1/b^2 \end{bmatrix}$$



Dönel Elipsoidin denklemi.

$$\underline{x}^T \underline{S}_E \underline{x} = \frac{x^2 + y^2}{a^2} + \frac{z^2}{b^2} = 1$$

|               |   |
|---------------|---|
| $\psi$        | Merkezi enlem                           |
| $\phi$        | Jeodezik enlem                          |
| $\beta$       | İndirgenmiş enlem                       |
| P             | Elipsoit üzerindeki nokta               |
| Q,R           | P noktasının dairelere projeksiyonu     |
| M             | Meridyen yönündeki eğrilik yarı çapı    |
| N             | Meridyene dik yöndeki eğrilik yarıçapı  |
| $R_G$         | Gauss eğrilik yarıçapı                  |
| $N \cos \phi$ | $\phi$ enlemindeki küçük daire yarıçapı |

$$\text{tg} \beta = b/a \text{ tg} \phi = a/b \text{ tg} \psi$$

$$N = a / (1 - e^2 \sin^2 \phi)^{1/2}$$

$$= a^2 / (a^2 \cos^2 \phi + b^2 \sin^2 \phi)^{1/2}$$

$$M = a(1-e^2) / (1-e^2 \sin^2 \phi)^{3/2}$$

$$R_G = (M N)^{1/2}$$

### Ek-3. Yansıma ve Dönüklük Matrisleri

**Ortogonal Dönüşüm:** X ve Y sütun vektörler ve A dönüşüm matrisi olmak üzere

$$\underline{y} = \underline{A} \underline{x}$$

bağıntısına doğrusal dönüşüm denir. İki vector aynı uzunluk iseler, dönüşüm ve dönüşüm matrisi her ikisi birden orthogonal olarak adlandırılır.

$$\underline{y}^T \underline{y} = \underline{x}^T \underline{A}^T \underline{A} \underline{x} = u$$

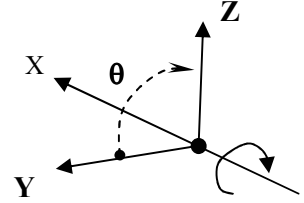
olabilmesi için  $\underline{A}^T \underline{A} = \underline{I}$  olmalıdır. Ortogonal matrislerde

$$\underline{A}^T \underline{A} = \underline{A}^{-1} \underline{A} = \underline{I}, \quad \underline{A}^T = \underline{A}^{-1} \quad \det(\underline{A}) = \pm 1$$

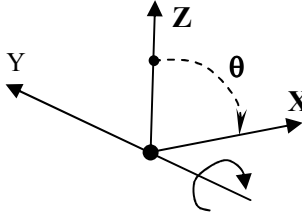
olur. İki çeşit orthogonal dönüşüm vardır; dönüklük ve yansıma. Dönüklük matrislerinde  $\det(\underline{A}) = 1$  ve yansıma matrislerinde  $\det(\underline{A}) = -1$  dir.

**Dönüklükler:** Sağ el koordinat sistemine göre yazılmıştır. Dönüklük matrislerinde değişme özelliği yoktur. Dönüklüklerin uygulanış sırası önemlidir.

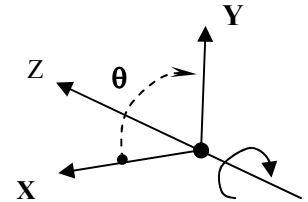
$$R_1(\theta) = \begin{bmatrix} 1 & 0 & 0 \\ 0 & \cos \theta & \sin \theta \\ 0 & -\sin \theta & \cos \theta \end{bmatrix} \quad \text{Dönüşüm } \mathbf{2.(Y)} \text{ Eksenden } \mathbf{3.(Z)} \text{ eksene}$$



$$R_2(\theta) = \begin{bmatrix} \cos \theta & 0 & -\sin \theta \\ 0 & 1 & 0 \\ \sin \theta & 0 & \cos \theta \end{bmatrix} \quad \text{Dönüşüm } \mathbf{3.(Z)} \text{ Eksenden } \mathbf{1.(X)} \text{ eksene}$$



$$R_3(\theta) = \begin{bmatrix} \cos \theta & \sin \theta & 0 \\ -\sin \theta & \cos \theta & 0 \\ 0 & 0 & 1 \end{bmatrix} \quad \text{Dönüşüm } \mathbf{1.(X)} \text{ Eksenden } \mathbf{2.(Y)} \text{ eksene}$$



$$R(\alpha, \beta, \gamma) = R_1(\alpha) R_2(\beta) R_3(\gamma) \quad \text{yada} \quad R(\alpha, \beta, \gamma)^{-1} = R_3(\gamma)^{-1} R_2(\beta)^{-1} R_1(\alpha)^{-1}$$

$$R_k(\theta)^{-1} = R_k(\theta)^T = R_k(-\theta) \quad R_k(\theta) R_k(\varepsilon) = R_k(\theta + \varepsilon)$$

**Yansımalar:** Yansıma matrislerinde değişme özelliği vardır.

$$P_1 = \begin{bmatrix} -1 & 0 & 0 \\ 0 & 1 & 0 \\ 0 & 0 & 1 \end{bmatrix} \quad P_2 = \begin{bmatrix} 1 & 0 & 0 \\ 0 & -1 & 0 \\ 0 & 0 & 1 \end{bmatrix} \quad P_3 = \begin{bmatrix} 1 & 0 & 0 \\ 0 & 1 & 0 \\ 0 & 0 & -1 \end{bmatrix}$$

$$P_1 P_2 = P_2 P_1 \quad \text{ve} \quad P_k^{-1} = P_k \quad \text{dir.}$$

## Ek-4. Bazı Dönüşüm Bağlıtlarının C++ Programları

```

#include <cmath>
using namespace std;
#define ro_D (180./M_PI)
#define ro_G (200./M_PI)
///
double JD_(double Y, double M, double D, double h, double m, double s){//day
    double JD ;
    if(M <=2.){Y--;M+=12.;}
    JD=(double)((int)(365.25*Y)+(int)(30.6001*(M+1))+D+(h+m/60.+s/3600.)/24.+1720981.5);
    return JD;
}
///
double GST_1900( double Y, double M, double D, double h, double m, double s){//deg
    double JD1900, JD, L, T, ST_dt, GST, GST0, dt ;
    JD1900= 2415020.0 ; // 00 January 1900, 00h
    JD = JD_(Y, M, D, h, m, s); // JD for (Y,M,D,h,m,s)
    T = (JD-JD1900)/36525.0 ; // century
    L = 365.24219879-6.14e-6*T ; // days
    ST_dt = (1.0+1.0/L)/240.0 ; // deg/sec
    GST0 = (99.69098329+36000.76893*T+3.87080e-4*T*T); // deg
    dt = 3600.0*h + 60.0*m + s ; // sec
    GST = GST0 + ST_dt * dt ; // deg
    GST = fmod(GST,360.); // deg
    return GST;
}
///
double arctan(double X, double Y ){// (Radyan)
    return ( fmod( atan2(Y,X)+2.*M_PI , 2.*M_PI ) ;
}
///
//... B Enleminde Meridyen Doğrultusundaki Egrilik Yaricapi
double M_(double a, double b, double B ){// B (radyan)
    return (a*(1.-(a*a-b*b)/a/a)/pow(1.-(a*a-b*b)/a/a*sin(B)*sin(B),1.5) ;
}
///
//... B Enleminde Meridyene Dik Doğrultudaki Egrilik Yaricapi
double N_(double a, double b, double B ){// B (radyan)
    return (a/sqrt(1.-(a*a-b*b)/a/a*sin(B)*sin(B)) ;
}
//
// B enlemindeki Gauss Egrilik Yaricapi
double Rgauss(double a, double b, double B ){// B (radyan)
    return sqrt( N_(a,b,B)*M__(a,b,B)) ;
}
//
// Her tür nokta için geçerli olan iteratif bağlantılar
void XYZ_Blh(double a,double b, double X, double Y, double Z,
             double &B, double &L, double &h){
    double e =(a*a-b*b)/a/a, p=sqrt(X*X+Y*Y), Bo, N ;
    B = atan( Z/p/(1.-e)) ;
    do{
        Bo = B ;
        N = a/sqrt(1.-e*sin(Bo)*sin(Bo)) ;
        h = p/cos(Bo)-N ;
        B = atan(Z/p/(1.-e*N/(N+h))) ;
    }while ( fabs(B-Bo) >= 1.0e-14 ) ;
    N = a/sqrt(1.-e*sin(B)*sin(B)) ;
    h = p/cos(B) - N ;
    B = atan(Z/p/(1.-e*N/(N+h))) ;
    L = arctan(X , Y) ;
}

```

```

//
// Yeryüzündeki herhangi bir nokta için yeterli olan direkt bağıntılar
void XYZ_BLh1(double a,double b, double X, double Y, double Z,
             double &B, double &L, double &h){
    double e=1.-b*b/a/a , e1=a*a/b/b-1. , p=sqrt(X*X+Y*Y) , t=arctan(p*b,Z*a) ;
    B = atan((Z+e1*b*pow(sin(t),3.))/( p-e*a*pow(cos(t),3.))) ;
    L = arctan(X,Y) ;
    h = p/cos(B)-N_(a,b,B) ;
}

//
void BLh_XYZ(double a,double b, double B, double L, double h,
             double &X, double &Y, double &Z ){
    double N = N_(a,b,B);
    X = (N+h) * cos(B) * cos(L);
    Y = (N+h) * cos(B) * sin(L);
    Z = (b*b/a/a*N+h) * sin(B);
}

//
double DilimOrta(int DRC, double L){// DRC = 3 ya da 6 , L (radyan)
    double L0 ;
    L *= ro_D;
    switch(DRC){
        case 6://... 6.derece UTM projeksiyonunda dilim orta meridyeni hesabi
            L0=((int) (L/6.)) *6.+3.;if(fabs(L-L0)>3.0) L0+=6.; break;
        default:
            L0=((int) (L/3.)) *3. ;if(fabs(L-L0)>1.5) L0+=3.; break;
    }
    return (L0/ro_D) ;
}

//
void BL_xy(double a,double b, double L0, double B, double L,
           double &x, double &y ){
    double dL=L-L0, t=tan(B), bn=(a-b)/(a+b),
    nu=(a*a-b*b)/b/b*cos(B)*cos(B), N=(a*a)/b/sqrt(1.+nu) ,
    b1 =(a+b)/2.*(1.+bn*bn/4.+pow(bn,4.)/64.),
    b2 = -3./2.*bn + 9./16.*pow(bn,3.)-3./32.*pow(bn,5.),
    b3 = 15./16.*bn*bn - 15./32.*pow(bn,4.),
    b4 = -35./48.*pow(bn,3.) + 105./256.*pow(bn,5.),
    b5 = 315./512.*pow(bn,4.);
    x = b1*(B+b2*sin(2.*B)+b3*sin(4.*B)+b4*sin(6.*B)+b5*sin(8.*B))
    + t*N*(pow(dL*cos(B),2.)/2.
    + pow(dL*cos(B),4.)*(5.-t*t+ 9.*nu+4.*nu*nu)/24.
    + pow(dL*cos(B),6.)*(61.-58.*t*t+pow(t,4.)+270.*nu-330.*t*t*nu)/720.
    + pow(dL*cos(B),8.)*(1385.-3111.*t*t+543.*pow(t,4.)-pow(t,6.))/40320.);
    y = N*(dL*cos(B)
    + pow(dL*cos(B),3.)*(1.-t*t+nu)/6.
    + pow(dL*cos(B),5.)*(5.-18.*t*t+pow(t,4.)+14.*nu-58.*t*t*nu)/120.
    + pow(dL*cos(B),7.)*(61.-479.*t*t+179.*pow(t,4.)-pow(t,6.))/5040.);
}

//
void xy_BL(double a,double b,double L0,
           double x, double y,
           double &B, double &L ){
    double
    bn =(a-b)/(a+b) ,
    b1 =(a+b)/2.*(1.+ bn*bn/4. + pow(bn,4.)/64.) ,
    b2 = 3./2.*bn-27./32.*pow(bn,3.)+269./512.*pow(bn,5.) ,
    b3 = 21./16.*bn*bn-55./32.*pow(bn,4.) ,
    b4 = 151./96.*pow(bn,3.)+417./128.*pow(bn,5.) ,
    b5 = 1097./512.*pow(bn,4.) ,
    B0=x/b1+b2*sin(2.*x/b1)+b3*sin(4.*x/b1)+b4*sin(6.*x/b1)+b5*sin(8.*x/b1) ,
    t=tan(B0), nu=(a*a-b*b)*pow(cos(B0)/b,2.), N=a*a/b/sqrt(1.+nu) ;
    B = B0
    + t/2.*pow(y/N,2.)*(-1.-nu)
    + t/24.*pow(y/N,4.)*(5.+3.*t*t+6.*nu-6.*t*t*nu-3.*nu*nu-9.*t*t*nu*nu)

```

```

+ t/720.*pow(y/N,6.)*(-61.-90.*t*t-45.*pow(t,4.)
- 107.*nu+162.*t*t*nu+45.*pow(t,4.)*nu)
+ t/40320.*pow(y/N,8.)*(1385.+3633.*t*t+4095.*pow(t,4.)+1575.*pow(t,6.)) ;
L = L0
+ y/N/cos(B0)
+ pow(y/N,3.)/6./cos(B0)*(-1.-2.*t*t-nu)
+ pow(y/N,5.)/120./cos(B0)*(5.+28.*t*t+24.*pow(t,4.)+6.*nu+8.*t*t*nu)
+ pow(y/N,7.)/5040./cos(B0)*(-61.-662.*t*t-1320.*pow(t,4.)-720.*pow(t,6.));
}

```

## Ek-5. Bazı Dönüşüm Bağlıtlarının Python Programları

$rD = 180/\pi$

```
#
def JD_(Y,A,G,S,D,s):
    if A<=2:
        Y -= 1
        A +=12
    h = S + D/60. + s/3600.
    jd = float( int(365.25*Y) + int(30.6001*(A+1.)) + G + h/24.0 + 1720981.5 )
    return jd

#
""" Resource: http://aa.usno.navy.mil/faq/docs/GAST.php """
def GAST_(JD):# [UT1]
    JD00 = JD_( 2000, 1, 1, 12, 0, 0 ) # 2000 epoğunun jülyen günü
    D = JD - JD00 # 2000'den beri gün sayısı
    D0 = int(D)-0.5 # 2000'den beri gün başlangıcı
    H = (D - D0)*24. # Gün içi saat
    T = D/36525. # 2000'den jülyen yılı
    GMST = 6.697374558+0.06570982441908*D0+1.00273790935*H+0.000026*T**2 #[saat]
    Ω = (125.04 - 0.052954 *D) / rD # [der] -> [rad]
    L = (280.47 + 0.98565 *D) / rD # [der] -> [rad]
    ε = (23.4393 - 0.0000004*D) / rD # [der] -> [rad]
    Δψ = -0.000319*sin(Ω) - 0.000024*sin(2*L) # [saat] Boylamdaki Nutasyon
    eqeq = Δψ * cos(ε) # [saat] Ekinoks Denklemi
    GAST = GMST + eqeq # [saat]
    GAST, GMST = GAST%24, GMST%24
    return GAST # [saat]
```

